



جمهورية العراق  
وزارة التعليم العالي والبحث العلمي  
جامعة القادسية – كلية التربية  
قسم علوم الحياة

## توصيف بكتيري وجزئي للانواع البكتيرية المحللة للمركبات الهيدروكاربونية في ترب محافظة القادسية

رسالة مقدمة الى عمادة كلية التربية – جامعة القادسية  
وهي جزء من متطلبات نيل شهادة الماجستير  
في علوم الحياة / أحياء مجهرية

من قبل

بيداء حسين جاسم

بكلوريوس علوم حياة / كلية التربية / جامعة القادسية 2016

أشرف

أ.م. علي عبد الرحيم الناشي

بِسْمِ اللَّهِ الرَّحْمَنِ الرَّحِيمِ

( وَسَخَّرَ لَكُمْ مَّا فِي السَّمَاوَاتِ وَمَا فِي الْأَرْضِ

جَمِيعًا مِّنْهُ إِنَّ فِي ذَلِكَ لَآيَاتٍ لِّقَوْمٍ يَتَفَكَّرُونَ )

صَدَقَ اللَّهُ الْعَلِيُّ الْعَظِيمُ

سورة الجاثية الآية (13)

## الإهداء

أهدي ثمرة جهدي المتواضع الى :

قُوتي ونبراسي وركن سَعادتي ... والدي العزيز

بسمة الحياة وسرّ الوجود ... والدتي الغالية

من اشدّد بهم أزري ... أخوتي وأخواتي

كلّ من ساندني وتمنّى لي الخير .

بيداء ...

## شكر وتقدير

بسم الله الرحمن الرحيم ((لئن شكرتم لأزيدنكم)) فله الشكر كما ينبغي لجلال وجهه وعظيم سلطانه، والحمد لله رب العالمين الذي هداني وأعانني وقدرني على إنجاز هذا البحث وصلى الله على سيدنا محمد خاتم النبيين وعلى آله الطيبين الطاهرين .

يطيب لي وانا أنهى كتابة رسالتي هذه ان أتقدم بجزيل شكري وعظيم امتناني الى أستاذي الفاضل علي عبدالرحيم الناشي لاقتراحه موضوع الرسالة ولما قدمه لي من نصح ومتابعة ودعم طوال مدة الدراسة فجزاه الله عني خير الجزاء.

كما اتقدم بجزيل الشكر والعرفان الى رئاسة جامعة القادسية ، وعمادة كلية التربية، ورئاسة قسم علوم الحياة متمثلة بشخصها الدكتور أحمد جاسم النائلي، والى اعضاء الهيئة التدريسية واخص بالذكر منهم الدكتور حيدر عبد الواحد والدكتورة أزهار نوري.

ومن الواجب ان أثنى بشكري وتقديري الى الدكتورة جنان ناظم / كلية الطب البيطري والى الزملاء رائد رزاق ، وسيف لطيف الذين لم يبخلوا علي في مد يد العون والمساعدة أثناء إجراء بحثي ، فوفقهم الله لما يحبّه ويرضاه .

ولايفوتني أن أشكر زملائي طلبة الدراسات العليا ولاسيما الأخوات زينب زيدان و زينب علاوي .

واختتم كلامي بأرق وأسمى كلمات الحبّ والعرفان الى أفراد أسرتي جميعاً على ما بذلوه من أجلي ومساندتهم لي طوال مدة كتابة الرسالة ... والله ولي التوفيق .

بيداء..

## إقرار المشرف

أشهد أنّ إعداد هذه الرسالة الموسومة بـ (توصيف بكتيري وجزيئي للأنواع البكتيرية المحللة للمركبات الهيدروكاربونية في ترب محافظة القادسية) قد جرى تحت إشرافي في قسم علوم الحياة / كلية التربية / جامعة القادسية ، وهي جزء من متطلبات نيل شهادة الماجستير في علوم الحياة / احياء مجهرية .



التوقيع :

المشرف : علي عبد الرحيم الناشي

اللقب العلمي : أستاذ مساعد

التاريخ : 30 / 9 / 2018

## قرار رئيس لجنة الدراسات العليا

بناء على التوصيات المقدمة من المشرف، أُرشِح هذه الرسالة للمناقشة



التوقيع :

الاسم : د. احمد جاسم حسن

اللقب العلمي : أستاذ مساعد

التاريخ : 30 / 9 / 2018



## إقرار المقوم اللغوي

أشهد أنّ هذه الرسالة الموسومة بـ : (توصيف بكتيري وجزئي للانواع البكتيرية المحللة للمركبات الهيدروكاربونية في ترب محافظة القادسية) تمت مراجعتها من الناحية اللغوية وتصحيح ما ورد فيها من اخطاء لغوية وتعبيرية ، وبذلك اصبحت الرسالة مؤهلة للمناقشة بقدر تعلّق الامر بسلامة الأسلوب وصحة التعبير .

التوقيع : 

الاسم : خالد عبد فزّاع

اللقب العلمي : أستاذ

التاريخ : 2018 / 10 / 25

## أقرار لجنة المناقشة

نشهد نحن اعضاء لجنة المناقشة الموقعين في ادناه بأننا أطلعنا على الرسالة الموسومة بـ :  
(توصيف بكتيري وجزئي للأنواع البكتيرية المحللة للمركبات الهيدروكربونية في ترب  
محافظة القادسية ) المقدمة من قبل طالبة الماجستير (بيداء حسين جاسم ) وناقشنا الطالبة في  
محتوياتها وفيما له علاقة بها ، بتاريخ 2019/1/17 فوجدناها جديرة بالقبول لنيل شهادة  
الماجستير في علوم الحياة / أحياء مجهرية بتقدير (امتياز)

رئيس اللجنة

عضو اللجنة

التوقيع :

التوقيع :

الاسم : أ.د دينا محمد رؤوف

الاسم : أ.د احلام كاظم نعيم

العنوان : جامعة القادسية / كلية التربية

العنوان : جامعة الكوفة/ كلية التربية للبنات

التاريخ : 2019 / 2 / 6

التاريخ : 2019 / 1 / 31

عضو اللجنة

عضو اللجنة والمشرف

التوقيع :

التوقيع :

الاسم : أ.م. د امال غازي مهدي

الاسم : أ.م علي عبد الرحيم الناشي

العنوان : جامعة القادسية / كلية العلوم

العنوان : جامعة القادسية / كلية التربية

التاريخ : 2019 / 1 / 29

التاريخ : 2019 / 1 / 29

مصادقة عمادة كلية التربية جامعة القادسية

التوقيع :

الاسم : خالد جواد العادلي

المنصب : عميد كلية التربية

اللقب العلمي : أستاذ دكتور

التاريخ : 2019 / 3 / 7

## Abstract الخلاصة

شملت الدراسة جمع 200 عينة من مصادر بيئية مختلفة شملت ترب كل من المولدات، محال تبديل الدهن، معمل مطاط الديوانية وبعض مياه الميازل القريبة من مصادر التلوث في محافظة الديوانية للمدة من 1-11-2017 الى 1-4-2018. هدفت الدراسة الى معرفة سيادة الانواع البكتيرية في الترب و المياه الملوثة بالمركبات الهيدروكاربونية ودراسة قابليتها على تحلل هذه المركبات و اجراء دراسة جزيئية لهذه الانواع.

شخصت 60 عزلة بكتيرية نامية في الترب والمياه الغنية بالمركبات الهيدروكاربونية. وتصدرت بكتريا *Escherichia coli* الانواع الاكثر شيوعاً بنسبة بلغت (38.33%) وسجلت اعلى نسبة لها في مياه البزل تليها بكتريا *Pseudomonas fluorescens* بنسبة (25%) سجلت أعلى نسبة عزل لها في تربة المولدة اما *Staphylococcus aureus* فقد جاءت بالمرتبة الثالثة اذ بلغت نسبة عزلاتها (16.66%) وتوالت بعدها جراثيم أخرى تميزت عزلاتها المحللة للهيدروكاربونات بنسب منخفضة وهي *Bacillus cereus*، *Klebsiella pneumonia*، *Acinetobacter baumannii* و *Proteus mirabilis* وبلغت هذه النسب (8.33%، 5%، 5%، 1.6%) على التوالي .

درست قابلية العزلات البكتيرية على تحلل الهيدروكاربونات النفطية ، وبينت النتائج تفوق عزلات *P. fluorescens* على غيرها من انواع البكتريا في قدرتها على تحلل الهيدروكاربونات اذ تميزت بكفاءة عالية في استحلاب النفط الخام واستعماله كمصدر للكربون والطاقة ثم جاءت بعدها *E. coli* و *S. aureus* على التوالي .

وكمؤشر لفعالية نمو العزلات على المصادر الهيدروكاربونية تم قياس كل من التوصيلية الكهربائية والكثافة الضوئية ، فقد لوحظ زيادة تدريجية في قيم التوصيلية الكهربائية ولجميع العزلات البكتيرية اثناء مدة الحضان وكانت اعلى قيم التوصيلية الكهربائية ولجميع العزلات في الاسبوع الثالث من مدة الحضان وسجلت بكتريا *P. fluorescens* المعزولة من تربة المولدات اعلى قيمة توصيلية كهربائية اذ بلغت 12.7 mc/cm في الاسبوع الثالث من الحضان ولكن انخفضت هذه القيمة في الاسبوع السادس لتصل الى 8.6 mc/cm جاءت بعدها بالمرتبة الثانية *E. coli* مسجلة قيمة توصيلية بلغت 11.7mc/cm ومن ثم *S. aureus* بقيمة بلغت 10.6mc/cm اما بقية البكتريا المعزولة فقد سجلت قيماً توصيلية مختلفة وهي (9.3، 9.3، 8.8) mc/cm وضمت بكتريا *Acinetobacter baumannii* ،



اما بالنسبة للكثافة الضوئية فقد اظهرت العزلات جميعها كثافات ضوئية مختلفة وكانت اعلى قيم الكثافة الضوئية ولجميع العزلات في الاسبوع الرابع مدة من الحضان سجلت بكتريا *P.fluorescens* المعزولة من تربة المولدات اعلى قيمة كثافة ضوئية بلغت 0.322 في الاسبوع الرابع من الحضان وأخذت هذه القيمة بالانخفاض لتصل الى 0.319 في الاسبوع السادس وجاءت بكتريا *E.coli* بالمرتبة الثانية 0.309 بعدها بالمرتبة الثالثة جاءت بكتريا *S.aureus* 0.301 بعدها توالى بقية البكتريا وهي *Bacillus proteus mirabilis*, *Acinetobacter baumannii*, *Klebsiella pneumoniae*, *cereus* قيم الكثافة الضوئية التي بلغت: 0.212، 0.209، 0.208، 0.206 على التوالي .

تم التحري جزيئياً عن جين (*C23O* gene) المشفر لإنتاج انزيم Catechol 2,3 dioxygenase المحلل للمركبات الهيدروكربونية بأستعمال تفاعل البلمرة المتسلسل وثبت تواجد الجين في 8 عزلات من *P.fluorescens* وبنسبة ( 53.33%) اما *E.coli* فقد تواجد الجين في 6 عزلات فيها بنسبة (26.08%) في حين تواجد الجين في عزلة واحدة فقط من عزلات بكتريا *S.aureus* وبنسبة (10%).

اظهرت نتائج تحليل التسلسل المتتابع لجين (*C23O*) في عزلات كل من *P.fluorescens* ، *S.aureus* ، *E.coli* بأستعمال تقنية التسلسل اعتماداً على ناتج 553bp للجين (*C23O*) نتيجة تفاعل PCR ان كلاً من بكتريا *P. fluorescens* و *E.coli* كانتا متماثلتين مع جين العزلة القياسية التي تحمل الرقم التسلسلي (KF010862.1) لـ *P. fluorescens* و (CP019778.1) لـ *E.coli* و بنسبة (100%) لكل منهما في حين كانت نسبة التطابق (99%) في *S.aureus* عند مقارنتها مع جين العزلة القياسية التي تحمل الرقم التسلسلي (CP023500.1) .

وبالتالي اثبتت هذه الدراسة ان هناك نواع بكتيرية لها القدرة على تحلل المركبات الهيدروكربونية وتمثلت بـ *P.fluorescens* , *E.coli* , *S.aureus* .

## المحتويات

رقم الصفحة	العنوان	التسلسل
أ	الخلاصة	
ت	قائمة المحتويات	
خ	قائمة الجداول	
د	قائمة الأشكال	
ذ	قائمة المختصرات	
ذ	قائمة الملاحق	
الفصل الاول		
1	Introduction	المقدمة .1
الفصل الثاني		
4	Literatures Review	2. أستعراض المراجع
4	chemical pollution	1.2 التلوث الكيميائي
5	The fate of the oil spill in aquatic environments	2.2 مصير تسرب النفط في البيئات المائية
6	Health and environmental damage caused by oil deposits	3.2 الاضرار البيئية والصحية التي تسببها الترسبات النفطية
8	Classification of petroleum hydrocarbons	4.2 تصنيف الهيدروكربونات النفطية
9	Crude Oil	5.2 النفط الخام
10	Bioremediation	6.2 المعالجة الحيوية
11	Types of bioremediation	1.6.2 انواع المعالجة الحيوية
12	Bioremediation methods	2.6.2 طرائق المعالجة الحيوية
13	Microorganisms used for hydrocarbons	7.2 الاحياء الدقيقة المستعملة للهيدروكربونات
16	Uptake hydrocarbon compounds	8.2 اخذ المركبات الهيدروكربونية
16	uptaked dissolved hydrocarbon	1.8.2 اخذ الهيدروكربونات الذائبة
16	Direct Contact Mechanisms	2.8.2 آلية التلامس المباشر
16	Emulsification Mechanisms	3.8.2 آلية الاستحلاب

18	Oxidation of hydrocarbons by microorganisms	اكسدة المركبات الهيدروكاربونية بفعل الاحياء المجهرية	9.2
19	Factors Affecting on biodegradation of petroleum hydrocarbons	العوامل المؤثرة في التفكك الحيوي للهيدروكاربونات النفطية	10.2
21	Catechol 2,3 dioxygenase	انزيم Catechol 2,3 dioxygenase ودوره في عملية التحلل الحيوي للهيدروكاربونات النفطية	11.2
الفصل الثالث			
25	Meterial and Methodes	المواد وطرائق العمل	.3
25	Instruments and Equipments	الاجهزة والمستلزمات	1.3
25	Instruments	الاجهزة	1.1.3
26	Equipments and Tools	المستلزمات والادوات المختبرية	2.1.3
27	Chemical and Biological Substance	المواد الكيميائية والحيوية	3.1.3
28	Culture Media	الايوساط الزرعية الجاهزة	4.1.3
29	The Stain and Reagents	الصبغات والكواشف	5.1.3
29	primer	البادئ	6.1.3
30	The Laboratory Kits	العُدد المختبرية	7.1.3
31	Methods	طرائق العمل	2.3
31	Sterilization	التعقيم	1.2.3
31	Preparation of Culture Media	تحضير الاوساط الزرعية	2.2.3
31	Blood Base Media	وسط الدم الاساس	1.2.2.3
31	Mineral Salts Liquid Medium	وسط الاملاح المعدنية السائل	2.2.2.3
32	Mineral Salts Solid	وسط الاملاح المعدنية الصلب	3.2.2.3
32	Urea Base Media	وسط اليوريا الاساس	4.2.2.3
32	Motility Media	وسط الحركة	5.2.2.3
32	Preparatiion of Reagents	تحضير الكواشف	3.2.3
32	Oxidase Reagent	كاشف الاوكسيديز	1.3.2.3
33	Catalase reagent	كاشف الكاتاليز	2.3.2.3
33	Methylred Reagents	كاشف المثيل الاحمر	3.3.2.3
33	Voges-Proskauer Rergents	كاشف فوكس بروسكور	4.3.2.3
33	Kovacs Reagent	كاشف كوفاكس	5.3.2.3

34	Preparation of Solution	تحضير المحاليل	4.2.3
34	Solution Normal Saline	المحلول الملحي الفسلجي	1.4.2.3
34	Tris base-Boric acid-EDTA (TBE )	دارئ	2.4.2.3
34	Ethidium bromid	محلول صبغة بروميد الاثيديوم	3.4.2.3
34	(Ethylene diamine tetra acetic acid)	محلول EDTA	4.4.2.3
34	Collection of Samples	جمع العينات	5.2.3
35	Cultivation of Samples	زرع العينات	6.2.3
35	Isolation and Identification	العزل والتشخيص	7.2.3
35	Cultural Diagnosis	التشخيص الزراعي	1.7.2.3
36	Microscopical Diagnosis	التشخيص المجهرى	2.7.2.3
36	Biochemical Test	الاختبارات الكيموحيوية	3.7.2.3
36	Oxidase Test	فحص الاوكسيدز	1.3.7.2.3
36	Catalase Test	فحص الكاتاليز	2.3.7.2.3
36	Methyl Red Test	اختبار المثيل الاحمر	3.3.7.2.3
37	Citrate Utilization Test	اختبار استهلاك السترات	4.3.7.2.3
37	Voges –Proskauer	اختبار فوكس بروسكور	5.3.7.2.3
37	Motility Test	فحص قابلية البكتريا على الحركة	6.3.7.2.3
37	Indol Test	فحص الاندول	7.3.7.2.3
38	Urease Test	اختبار انزيم اليوريز	8.3.7.2.3
38	Hemolysis Test	اختبار تحلل الدم	9.3.7.2.3
38	API20 identification system	تشخيص بنظام API20	4.7.2.4
38	Maintenance of Bacteria Isolates	حفظ العزلات البكتيرية	8.2.3
39	Test The Ability of Isolates to Degradation The Oil Hydrocarbons	اختبار قابلية العزلات البكتيرية على تفكيك الهيدروكربونات النفطية	9.2.3
40	Polymerase Chain Reaction(PCR)	تفاعل البلمرة المتسلسل	3.3
40	Whole DNA Extraction	استخلاص الدنا الكلي	1.3.3
41	Estimation Purity and Concentration of DNA	تقدير نقاوة وتركيز الدنا	2.3.3
42	PCR Master Mixture	تحضير مزيج سلسلة تفاعل البلمرة	3.3.3
43	Thermocycler PCR Program	برمجة جهاز الدورات الحرارية	4.3.3
44	Agarose Gel Electrophoresis	الترحيل الكهربائي الهلامي	5.3.3

45	catechol 2,3 dioxygenase sequencer method طريقة تحليل التسلسل التتابعي للجين المشفر لأنزيم catechol 2,3 dioxygenase	4.3
45	Statistical Analysis	التحليل الاحصائي 5.3
الفصل الرابع		
46	Results and Discussion	النتائج والمناقشة .4
46	Isolation and Diagnosis	العزل والتشخيص 1.4
55	قدرة العزلات البكتيرية على النمو على وسط الاملاح المعدنية الصلب والمضاف اليه النفط الخام كمصدر للكربون والطاقة	2.4
56	النمو على وسط الاملاح المعدنية السائل	3.4
60	Estimation of growth in term of electrical conductivity	تقدير النمو بدلالة التوصيلية الكهربائية 1.3.4
62	Estimation of growth in terms of optical density	تقدير النمو بدلالة الكثافة الضوئية 2.3.4
66	Catechol 2,3 dioxygenase Molecular Screening of Production C23O gene	التحري الجزيئي عن انتاج الجين المشفر لأنزيم Catechol 2,3 dioxygenase 4.4
70	Catechol 2,3 dioxygenase Sequencing technique of Catechol 2,3 dioxygenase (gen C23O)	تقنية تحليل التسلسل التتابعي للجين المشفر لأنزيم Catechol 2,3 dioxygenase 1.4.4
الاستنتاجات والتوصيات		
75	Conclusions	الاستنتاجات .5
76	Recommendations	التوصيات 1.5
المصادر		
77		المصادر العربية
78		المصادر الانكليزية
102	Appendices	الملاحق
A	Summary	الخلاصة الانكليزية

## قائمة الجداول

رقم الجدول	عنوان الجدول	الصفحة
1-2	اهم البكتيريا المحللة للنفط الخام والمعزولة من بيئات الماء والترربة	15
1-3	الاجهزة المختبرية المستعملة في الدراسة	25
2-3	المستلزمات والادوات المستعملة في الدراسة	26
3-3	المواد الكيماوية والحيوية المستعملة في الدراسة	27
4-3	الايوساط الزرعية الجاهزة المستعملة في الدراسة	28
5-3	الصبغات والكواشف المستعملة في الدراسة	29
6-3	البادئ المستعمل في الدراسة	30
7-3	العُدد المختبرية المستعملة في الدراسة	30
8-3	المكونات اللازمة للتفاعل PCR للجين المشفر لأنزيم Catechol 2,3 dioxygenase المستعمل في الدراسة	42
9-3	برنامج تفاعل البلمرة المتسلسل المستعمل لتضخيم الجين المشفر لأنزيم Catechol 2,3 dioxygenase	43
1-4	اعداد العزلات البكتيرية موزعة حسب مصدر العزل	47
2-4	عدد ونسب العزلات البكتيرية المشخصة وتواجدها في مناطق العزل	48
3-4	توزيع العزلات البكتيرية ونسبها حسب مناطق العزل	50
4-4	الاختبارات الكيموحيوية للعزلات البكتيرية المدروسة	52
5-4	معدل النمو بدلالة قياس التوصيلية الكهربائية للعزلات البكتيرية السالبة لصبغة كرام المختبرية في قدرتها على استهلاك الهيدروكربونات النفطية (mc/cm)	60
6-4	معدل النمو بدلالة قياس التوصيلية الكهربائية للعزلات البكتيرية الموجبة لصبغة كرام المختبرية في قدرتها على استهلاك الهيدروكربونات النفطية (mc/cm)	61
7-4	معدل النمو البكتيري بدلالة قياس الكثافة الضوئية للعزلات السالبة لصبغة كرام المختبرية في قدرتها على استهلاك الهيدروكربونات النفطية	63
8-4	معدل النمو البكتيري بدلالة قياس الكثافة الضوئية للعزلات الموجبة لصبغة كرام المختبرية في قدرتها على استهلاك الهيدروكربونات النفطية	64
9-4	اعداد ونسب الجين المشفر لأنزيم Catechol 2,3dioxygenase في العزلات البكتيرية المحللة للمركبات الهيدروكربونية	67

74	ارقام التسجيل للعزلات ونسبة التطابق الوراثي في العزلات المحلية والعزلات المسجلة في موقع بنك الجينات	10-4
----	---	------

## قائمة الاشكال

رقم الشكل	عنوان الشكل	الصفحة
1-2	مشاركة المستحلبات الحياتية في امتصاص الهيدروكربونات	17
2-2	تحلل مركب الكاينكول عبر مساري اورثو و ميتا (ortho and meta pathway)	23
1.4	نمو البكتريا المعزولة على اوساط غذائية مختلفة (A) بكتريا <i>Pseudomonas fluorescens</i> النامية على وسط اكارا السترومايد ، (B) بكتريا <i>Escherichia coli</i> النامية على وسط الايوسين مثل الازرق، (C) بكتريا <i>Staphylococcus aureus</i> النامية على وسط اكارا ملح المانيتول	53
2.4	تشخيص Api 20 للعزلات البكتيرية	54
3.4	استهلاك الهيدروكربونات النفطية من قبل العزلات البكتيرية على وسط الاملاح المعدنية الصلب	56
4.4	استهلاك النفط الخام من قبل العزلات البكتيرية على وسط الاملاح المعدنية السائل	59
5.4	الترحيل الكهربائي باستخدام هلام الاكاروز والذي يظهر نتائج فحص ال pcr الخاص للتحري عن الجين المشفر لأنزيم Catechol 2,3 dioxygenase في العزلة <i>Pseudomonas fluorescens</i> حيث يمثل M:Marker 1500-100 pb والارقام (13,12,11,10,8,7,3,2) تمثل العزلات الموجبة للجين بناتج طول 553pb	67
6.4	الترحيل الكهربائي باستخدام هلام الاكاروز والذي يظهر نتائج فحص ال pcr الخاص للتحري عن الجين المشفر لأنزيم Catechol 2,3 dioxygenase في الجرثومة <i>Escherichia coli</i> حيث يمثل M:Marker 1500-100 pb والارقام (23,22,20,12,8,7) تمثل العزلات الموجبة لجين Catechol 2,3 dioxygenase بناتج طول 553pb	68
7.4	الترحيل الكهربائي باستخدام هلام الاكاروز والذي يظهر نتائج فحص ال pcr الخاص للتحري عن الجين المشفر لأنزيم Catechol 2,3 dioxygenase في جرثومة <i>Staphylococcus aureus</i> حيث يمثل الرقم (8) العزلة الموجبة للجين المشفر لأنزيم Catechol 2,2 dioxygenase بناتج طوله 553pb.	68
8.4	نتائج تحليل التسلسل التتابعي لجين C230 في بكتريا <i>P.fluorescens</i> مقارنة مع الجين الاصلي لبكتريا ( <i>P.fluorescens</i> (KF010862.1).	71
9.4	نتائج تحليل التسلسل التتابعي لجين C230 في بكتريا <i>E.coli</i> مقارنة مع الجين	72

	الاصلي لبكتريا ( <i>E.coli</i> (CP019778.1) .	
73	نتائج تحليل التسلسل التتابعي لجين C230 في بكتريا <i>S.aureus</i> مقارنة مع الجين الاصلي لبكتريا ( <i>S.aureus</i> (CP023500.1) .	10.4

## قائمة المختصرات

المختصر	المصطلح الكامل
API 20	Analytical profile Index 20
OD	Optical Density
DNA	Deoxy Ribonucleic Acid
PCR	Polymerase Chain Reaction
EB	Elution Buffer
EDTA	Ethylene Diamin Tetra Acetic Acid
TBE	Tris-Borate –EDTA
U.V	Ultra Violet
BP	Base Pair
NCBI	National Community Biological Information
MEGA6	Molecular Evolutionary Genetics Analysis Version 6
IMVC	Indol Methel Red Vogrs-Proskaur Citrate
C230	Catechol 2,3 dioxygenase
NSO	Nitrogen Sulfur Oxygen
USEPA	United States Environmental Protection Agency

## قائمة الملاحق

الصفحة	عنوان الملحق	رقم الملحق
111	نتائج الاختبارات التشخيصية لبكتريا <i>S.aureus</i> , <i>E.coli</i> , <i>P.fluorescens</i> بأستعمال نظام API20	1
114	أستمارة تسجيل العزلات البكتيرية <i>S.aureus</i> , <i>E.coli</i> , <i>P.fluorescens</i> في بنك الجينات	2



الفصل الاول  
المقدمة

**Introduction**

## 1- المقدمة

## Introduction

تعد الهيدروكربونات النفطية مثل وقود الديزل والنفط الخام وزيوت التشحيم ونواتج التقطير النفطية من اكثر مصادر الطاقة والوقود استعمالاً في العالم وعلى نطاق واسع (Ganesh&Lin,2009) وتقدر الاحتياجات الكلية للطاقة من النفط الخام في العالم حوالي 32% (Ghaly& MacDonald 2002), ويدخل النفط الخام كماده اولية في كثير من الصناعات فضلا عن كونه المصدر الرئيس للدخل القومي للعراق و عدة دول (Albaiges , 1989) .

وقد ادى وجود انواع مختلفة من السيارات والالات والمولدات الكهربائية الى زيادة استعمال المواد الهيدروكربونية (Abioye et al.,2012) فمن اخطر المشاكل الحالية في العالم هي تلوث البيئة بالهيدروكربونات النفطية (Nikhil et al.,2013).

والبيئة العراقية من البيئات التي تتعرض للتلوث الهيدروكربوني من مصادر مختلفة اهمها مصافي النفط ومحطات توليد الطاقة الكهربائية التي تعمل بالنفط الاسود وينتج من تلوث التربة بالهيدروكربونات تغيير في العديد من الصفات الفيزيائية والكيميائية والحيوية للتربة مما يؤثر سلباً على الانتاج الزراعي فضلاً عن تأثيرها على التربة وقد يمتد هذا التأثير الى المياه الجوفية مما يوقف استعمالها كما تتسبب بأضرار كبيرة للبيئة المائية في الانهار والبحار والبحيرات عند وجودها فيها (Isinguzo &Bello,2005).

وتعد الهيدروكربونات النفطية واحده من أهم الملوثات البيئية لكونها سامة لمعظم الكائنات الحية الموجودة في البيئة و بالخاص الاروماتية منها وبسبب طبيعتها الذائبة في الدهون فلهذه المركبات دور في التلوث الكيميائي من خلال انتقالها خلال السلسلة الغذائية فضلا عن امتلاكها خصائص مسرطنة وخاصة التراكم الكيميائي (Zhuang et al.,2007).

ومن اجل حماية المحيط الحيوي من ضرر المركبات الهيدروكربونية اعتمدت الكثير من الطرائق الفيزيائية والكيميائية والحيوية اللازمة لازالة هذه الملوثات (فهد و ربيع ، 2010 ) اذ تضمنت التقنيات الكيميائية و الفيزيائية الحفر ونقل كمية كبيرة من المواد الملوثة خارج الموقع ومعالجتها مما يجعلها مكلفة ومن ثم تؤدي التكاليف المتزايدة اضافة الى الكفاءة المحدودة لهذه التكنولوجيا الى تطبيق تكنولوجيا بديلة تستغل قدرات الكائنات الحية الدقيقة في المعالجة الحيوية (Chaudhry et al.,2005)

فأفضل طرائق استعادة الترب والمياه الملوثة هي المعالجة الحيوية والتي تتضمن استعمال كائنات حية دقيقة تحلل الهيدروكربونات النفطية السامة واستعمالها كمصدر وحيد للكربون والطاقة مؤدية الى تحلل الملوثات بشكل كامل وبذلك تقل نسبة المواد ذات التأثير السام والمسرطن فضلا عن تقليل نسبة الكربون العضوي (Zhuang *et al.*, 2007) اضافة الى انخفاض كلفة المعالجة الحيوية ولا يصاحبها اضطراب بيئي وعدم الاتصال بين المشتغلين والنفايات (Declercq *et al.*, 2012).

وتتضمن طريقة المعالجة الحيوية اتجاهين احدهما يتمثل بزيادة نسبة التحلل التي تقوم بها الاحياء من خلال تهيئة ظروف بيئية ملائمة لنموها من حرارة ورقم هيدروجيني وتهوية وتطوير سلالات جرثومية محورة وراثيا ذات قدرات ايضية على تحليل هذه المركبات ومتكيفة على التواجد في المناطق الملوثة (Mazaheri Assadi & Tabataee, 2010) وترتبط نسبة حدوث التحلل البيولوجي بعوامل متعددة اهمها التركيب الكيميائي للملوثات ، الظروف البيئية المثلى التي تحفز فعالية التحلل الحيوي ، التفاعلات بين عدد الكائنات الحية ونوعها ، ديمومة انواع الهيدروكربونات النفطية في الترب الملوثة ومدى تيسرها للأحياء المجهرية (Márquez-Rocha *et al.*, 2001).

تمتاز الهيدروكربونات بأستجاباتها المختلفة للتحلل المايكروبي ويحتاج ذلك الى فترات زمنية مختلفة في حين ان بعض هذه المركبات لايتحلل على الاطلاق مثل الهيدروكربونات العطرية متعددة الحلقات عالية الوزن الجزيئي (Atlas & Bragg, 2009) ويتحدد التحلل الحيوي للهيدروكربونات النفطية بوجود مادة النفط الخام اضافة الى مدى التلامس الحاصل بين الأحياء المجهرية وسطح جزيئات النفط كون هذه المواد كارهة للماء وقليلة الفائدة للأحياء المجهرية (Márquez-Rocha *et al.*, 2001).

وتنتشر الاحياء المجهرية المحللة للنفط الخام في المناطق الملوثة وعلى نطاق واسع اذ تلعب دورا فعالا في ازالة التلوث من الترب والمياه الملوثة بصورة ملحوظة (Azaizeh *et al.*, 2011) اذ ان العديد من الاحياء المجهرية وصفت بقدرتها على تكسير الهيدروكربونات النفطية كالبكتريا والفطريات وبعض الطحالب (Das & Chandran, 2011). وتعد البكتريا من الاحياء المجهرية المؤهلة للمعالجة الحيوية للمخلفات النفطية اذ تعمل على تحطيم المواد العضوية والهيدروكربونية واستعمالها كمصدر وحيد للكربون والطاقة من خلال انتاجها مجموعة كبيرة من الانزيمات المحللة فضلا عن ادمصاصها للعديد من العناصر الثقيلة على جدارها الخلوي وانتشارها الواسع وقابلية نموها

السريع (Wolicka *et al.*,2009). ونظراً لكون البكتريا من الأحياء المجهرية المحللة للمركبات الهيدروكاربونية جاءت هذه الدراسة التي شملت الجوانب الآتية :

\*عزل وتشخيص أنواع بكتيرية من بيئات مختلفة ذات فعالية ايضية في تحليل المركبات المعقدة واستهلاكها واختبار الاكثر كفاءة في التحلل الحيوي.

\*دراسة كفاءة العزلات البكتيرية في تحليل الهيدروكاربونات النفطية الملوثة للتربة والمياه مختبرياً .

\*التحري عن جين (*C23O gene*) المشفر لأنزيم catechol 2,3 dioxygenase المسؤول عن تحليل المركبات الهيدروكاربونية .

\*دراسة تسلسلات القواعد النيتروجينية للسلاسل الحاملة للجين وتحديد العلاقة الوراثية بين تلك العزلات



الفصل الثاني  
أستعراض المراجع  
**Literature Review**

## 2 - استعراض المراجع

## Literature Review

## 1.2. التلوث الكيماوي: Chemical pollution :

يقصد بالتلوث اي تغيير يحدث في المكونات البيئية سواء كانت حية او غير حية مما يؤدي الى خلل في التوازن البيئي نتيجة عدم قدرة الانظمة البيئية على استيعاب هذا التغيير (الصابريني والحمد، 1994) ويطلق مصطلح التلوث الكيماوي على وجود بعض المواد الكيماوية التي صنعت لاغراض خاصة او تلك التي أقيت في المجاري المائية مع المخلفات الصناعية وهي من اخطر مصادر التلوث في هذا العصر اذ اسهمت المنشآت الصناعية المقامة على شواطئ الانهار او البحار او البحيرات بالتلوث العالي للمياه وذلك بسبب ما تلقيه من مخلفات ونواتج ثانويه في الماء (بدر، 2016).

ويعد النفط الخام ومشتقاته من اهم المواد العضوية التي تستعمل في مجال الصناعة في اغلب بلدان العالم وبالأخص الدول الصناعية ، وقد ظهرت مشكلة التلوث النفطي بصورة واضحة في نهاية القرن العشرين بسبب تطور الصناعة وعمليات نقل وتوزيع النفط الخام ومنتجاته حيث يصل الى المحيط الحيوي كميات كبيرة من النفط الخام ومشتقاته اضافة الى المخلفات الصناعية والتي تكون ناتجة من التسربات النفطية من اماكن الحفر والتنقيب واماكن الخزن فضلا عن عمليات التصريف غير المدروسة الناتجة من مخلفات المصانع ومصافي النفط ناهيك عن الحوادث العرضية والانسكابات النفطية مما يسبب تلوث التربة والمياه بالهايدروكاربونات النفطية اذ بلغت نسبة ما يصل من الملوثات النفطية سنويا الى البيئة حوالي 2-8 مليون طن في مختلف انحاء العالم (Sharma & Pathak, 2014)

وتعد المركبات الهايدروكاربونية احد مكونات النفط الخام حيث تصل نسبتها 50-98 % من محتوى النفط الخام الذي هو خليط معقد من الهايدروكاربونات التي ترتبط مع مركبات عضوية اضافة الى كميات قليلة من الاوكسجين والنتروجين والكبريت وكميات ضئيلة من المعادن (الجادر، 2006) .

يتسبب تلوث التربة بالنفط بأضرار خطيرة على النظام البيئي اذ يجعل التربة غير مناسبة لأغراض للزراعة والصناعة والسياحة وقد تزداد الخطورة عند وصول التلوث الى البيئة المائية (Wilson & Jones, 1993) ، وهناك مصادر للتلوث بالهايدروكاربونات لا دخل للانسان فيها مثل الهايدروكاربونات الناتجة من الكائنات الميتة والانشطة البركانية ونضح النفط الخام من البقع النفطية التي تكون قريبة من سطح الارض (Abdel-Shafy & Mansour, 2016).

وتعد الهيدروكربونات العطرية متعددة الحلقات Polycyclic Aromatic Hydrocarbon من أكثر المركبات الهيدروكربونية خطراً على البيئة إذ تلوث التربة والمياه كما يمكن أن تنتقل خلال السلسلة الغذائية وتتراكم في أعضاء جسم الحيوان (Armstrong et al., 2004) لابد من وضع مقاييس خاصة بقياس درجة التلوث يمكن بواسطتها معرفة مدى شدة الخطورة والتمكن من إيجاد حلول المناسبة لها وإن هذه الحلول أو المعالجات ينبغي أن تكون ذات كلفة قليلة وأقل آثار جانبية واستعملت العديد من طرائق المعالجة الكيميائية والفيزيائية والحيوية لازالة التلوث الهيدروكربوني وتعد المعالجة الحيوية من انسب الطرائق في الحد من الآثار السلبية للتلوث بالمركبات الهيدروكربونية (Calvo et al., 2009).

## 2.2. مصير تسرب النفط في البيئات المائية

### The fate of the oil spill in aquatic environments

بمجرد انسكاب النفط في البيئات المائية فإنه يبدأ بالانتشار فوق سطح الماء وتحدد كل من لزوجة النفط الخام وحجم البقعة النفطية السرعة التي ينتشر فيها النفط ، إذ ينتشر النفط منخفض اللزوجة بصورة أسرع من النفط عالي اللزوجة ويبدأ النفط بالانتشار على شكل بقعة نفطية مترابطة ولكن لا تلتصق إذ تبدأ بالتفكك بصورة سريعة (Yakimov et al., 2004) وتحلل الأنواع النفطية عالية اللزوجة إلى مجموعة من البقع التي تبدأ بالابتعاد عن بعضها ويتأثر انتشار هذه المجموع بكل من تيارات المياه وتيارات المد والجزر فضلاً عن الاضطرابات المائية والأمواج (Kock, 2011).

وتختلف الأنواع النفطية ذات المصادر المختلفة اختلافاً كبيراً في الخصائص الفيزيائية والكيميائية ، وتعتمد الخصائص الفيزيائية للنفط على التركيب الكيميائي إذ يعتمد الوزن النوعي واللزوجة على نسبة المكونات الاسفلتية والراتنجية والشموع (ITOPF, 2011)

وتتباين آثار تسرب النفط على البيئة المائية العذبة و المالحة وفقاً لمعدلات تدفق المياه وخصائص هذه البيئات فالمياه الراكدة أو بطيئة الحركة مثل المستنقعات أو البحيرات تكون فيها الآثار شديدة قياساً بالمياه المتحركة وذلك لأن النفط المسكوب فيها يبقى لفترات طويلة إذ تستغرق سنوات لاسترداد هذه البيئات حالتها الطبيعية ، أما عندما يتسرب النفط إلى نهر متحرك سيكون التأثير أقل حدة وذلك لأن تيار النهر يعمل كألية تنظيف طبيعية (Leahy & Colwell, 1990).

تعمل بعض انواع النفط على امتصاص الماء وبذلك تتحول الى مستحلب من النفط والماء مما يعمل على زيادة حجم المواد الملوثة ، ويتوقف معدل ذوبان النفط الخام على كل من انتشاره تركيبه ودرجة الحرارة فضلاً عن درجة تشتته في المياه (Cao et al.,2009) .

وتتميز المركبات الهيدروكاربونية الخفيفة بكونها ذات قابلية ذوبان محدودة في الماء في حين تكون المركبات الثقيلة منها غير قابلة للذوبان اصلاً في الماء وبذلك فإن الاذابة للمركبات الهيدروكاربونية لا تسهم في إزالة النفط من على سطح المياه ، وتعمل بعض الأنواع النفطية عالية اللزوجة على تكوين طبقة كثيفة من مركبات عالية الوزن الجزيئي والتي تشكل طبقة سطحية واقية وبذلك تصبح على هيئة رواسب ثابتة (Semple et al.,2003) .

للنفط الخام قدرة عالية على الانتشار والتفاعل بأشكال عديدة ليصل الى كل من الهواء والترربة والمياه ويتوقف ذلك على العوامل الفيزيائية كالانتشار اذ ينتشر بسرعة في المياه وينجرف بفعل الامواج الى مسافات واسعة مما يشكل خطراً كبيراً وتهديداً لتلوث المياه ، كما يتبخر بالحرارة العالية مما يعمل على تلوث الهواء الجوي كما له القابلية على التفكك والتشكل على هيئة مستحلب (خليط من الماء والنفط) (Venosa&Zhu,2003) ومن ثم لا يقتصر ضرر التلوث النفطي على جانب واحد فقط اذ يمتد ليشمل كافة اشكال حياة الانسان والكائنات الحية سواء كانت برية ام بحرية اضافة الى الطيور والنباتات (Zhu et al.,2009)

تكون اغلب الانواع النفطية ذات وزن نوعي منخفض اي انها تبقى طافية فوق سطح الماء الا في حالة تفاعلها مع مادة اكثر كثافة اذ تعمل على الالتصاق بها في حين تكون بعض الانواع ذات وزن نوعي قريب من الوزن النوعي لمياه البحر وقد يؤدي ذلك الى هبوطها الى قاع البحر وهنا يأتي دور البكتريا التي لها القابلية على تحلل الهيدروكاربونات النفطية وأستهلاكها كمصدر للطاقة اذ تفرز العديد من الانزيمات التي لها القابلية على افراز مواد مستحلبة تعمل على تقليل الشد السطحي (Singh & Ward 2004)

### 3.2.3. الاضرار البيئية والصحية التي تسببها الترسبات النفطية Health and environmental damage caused by oil deposits :

الترسبات النفطية هي مواد خطرة ذات سمية عالية ومسرطنة وتدخل الى البيئة نتيجة للنشاطات البشرية الخاطئة اذ ان طرائق معالجة هذه المواد وعمليات الخزن والنقل عندما تتم بصورة غير صحيحة



ستشير الفلق اذ ان اكثر مكونات هذه المواد تعد مسرطنة وسامة ومطفرة للخلايا (Ubani *et al.*, 2013)

وعند وجود الترسبات النفطية وتراكمها داخل الخزانات والانابيب الناقلة فإنها تؤثر بصورة سلبية على عمليات الانتاج النفطي والتصدير والتصفية اذ تعمل هذه الترسبات على تقليل القدرة الاستيعابية للخزن والنقل وبذلك تقل القدرة الانتاجية للنفط (Lima *et al.*,2011)

عند تفريغ الترسبات النفطية oil sudge في البيئة فإن المركبات الخفيفة سوف تتطاير في حين ان المركبات الثقيلة ستندمج مع الجسيمات الاخرى التي تتواجد في التربة وبذلك فإنها تكون محمية من اي هجوم من الميكروبات التي تتواجد في التربة وبذلك تصبح عملية القضاء عليها صعبة جدا اذ يحدد نوع التربة وخصائصها الكيميائية والفيزيائية تواجد وتأثير هذه الترسبات في البيئة (Ubani,2012) كما تتسبب الملوثات الناتجة من عملية تفريغ الترسبات النفطية التي تتولد اثناء العمليات الصناعية الى البيئة بالعديد من الأضرار البيئية الشديدة فهي تعد مصدراً خطراً يهدد جميع اشكال الحياة اذا لم يتم تصريفها والتخلص منها بصورة صحيحة ومناسبة (De Morais & Tornisiel,2009).

تتسبب الاندلاقات النفطية التي تنتج خلال الحوادث البيئية بأضرار كبيرة للبيئة كما يحصل عند تصريف كميات كبيرة من الترسبات الصناعية في وحدات تصفية معالجة النفط وبهذا سوف تتراكم وان الشكل غير الآمن في طريقة التصريف والتخلص من هذه الترسبات يتسبب بخطورة كبيرة (Mohan *et al.*,2011) ومن اكثر الطرائق الشائعة في التخلص وازالة هذه الترسبات هي طريقة التنظيف اليدوي اذ يدخل العامل الى داخل الخزان النفطي وبذلك تزال الترسبات النفطية بالعمل اليدوي ويمكن ازالة هذه الترسبات بطريقتين ،فأما ان توضع مضخات متمركزة داخل الخزان اذ تعمل على دفع الترسبات الى الخارج او ان يتم افراغها من الباب الخلفي للخزان وتمتاز هذه الطريقة بكون العامل يبقى في الخزان لفترات طويلة يعمل تحت تأثير هذه المواد السامة (Banat *et al.* ,1991).

تحتوي الترسبات النفطية والتي تم التخلص منها سواء عن طريق حرقها او على شكل مخلفات صناعية نفطية على عدة مركبات سامة وضارة كالرصاص ،كبريتيد الهيدروجين والبنزين ايضا ان بيئة الخزان تكون سريعة الاشتعال كما تتحرر عند الانتهاء من التنظيف وعمليات ازالة هذه الترسبات واثناء

تهوية الخزان العديد من الغازات والابخرة السامة والتي تكون ضارة بالنظام البيئي (Heath *et al* 2004).

للترسبات النفطية تأثير تراكمي في الجهاز العصبي المركزي للإنسان اذ تسبب ظهور العديد من الاعراض المرضية مثل الم في الرأس فقدان الذاكرة والدوار ،وبصورة عامة يتوقف تأثيرها على كل من شدة التعرض ومدته فقد يصل التأثير في الحالات الشديدة الى ان جسم الانسان يقوم بأنتاج مركبات الايبوكسيد والتي تملك خاصية مطفرة وتؤثر على كل من الجهاز المناعي وتكوين الاجنه اضافة الى الجلد والجسم والكلى والرئتين والكبد والطحال كما تتسبب ايضا بنقصان في الوزن (Ubani,2012) ومن المهم معرفته ايضا انه يصل تأثير مكونات المنتجات النفطية الى صحة الإنسان وبيئته والكائنات الحية الأخرى والتي تكون متواجدة في مواقع مجاورة او قريبة من وحدات الانتاج النفطي والمعالجة فالمركبات التي ترافق النفط الخام قد تعمل على تحفيز عمليات مختلفة توصف بأنها مضرّة بالنظام البيئي في هذه المناطق (Asia *et al* .,2006)

## 4.2. تصنيف الهيدروكربونات النفطية

### Classification of petroleum hydrocarbons

الهيدروكربونات النفطية توصف بأنها مركبات عضوية قابلة للاشتعال تتكون بصورة طبيعية في التشكيلات الجيولوجية تحت سطح الارض وتصنف على أساس تركيبها الجزيئي الى أربع مجاميع وهي :

#### 1-الالكانات Alkanes

وتسمى ايضا بالبارفينات paraffins او الهيدروكربونات المشبعة saturated hydrocarbonsصيغتها الكيميائية  $C_nH_{2n+2}$  وتتميز بسلاسل متفرعة وغير مقللة من ذرات الكربون مع ذرات الهيدروجين وتحتوي فقط على اواصر مفردة من كربون -كربون (C-C) بدون اي اصرة مزدوجة او ثلاثية بين ذرات الكربون .

**2- النفثينات Naphthenes**

وتسمى ايضا الالكانات الحلقية Cycloalkanes تركيبها الكيميائي  $C_nH_{2n}$  تتشابه مع الالكانات ولكنها تتميز بوجود حلقة واحدة أو أكثر من ذرات الكربون في تركيبها الكيميائي وهي مستقرة عموما وغير قابلة للذوبان نسبيا في الماء.

**3- الاروماتية (العطرية) Aromatics**

هي هايدروكربونات تحتوي على اواصر مزدوجة ومفردة بالتناوب فيما بين ذرات الكربون وتتميز بكونها اكثر مركبات النفط الخام سمية ولها العديد من الاثار السرطنة والمزمنة واشتق مصطلح العطرية بسبب كونها مركبات ذات رائحة جذابة ويتراوح عدد حلقاتها من واحد الى ست حلقات وتعرف المركبات الاروماتية التي تحتوي حلقتين او اكثر بالمركبات الاروماتية متعددة الحلقات polycyclic aromatic hydrocarbons

**4-الالكينات Alkenes**

وتسمى ايضا اولفينات olefins او isoparaffins يصيغتها الكيميائية  $C_nH_{2n-2}$  وتتميز بسلاسل متفرعة او غير مقله من ذرات الكربون باستثناء وجود الاواصر المزدوجة التي تربط بين ذرات الكربون وغالبا ماترسم المركبات الاروماتية بصورة مشابهه ل cyclic alkenes ولكنها تختلف في تركيبها وخصائصها ولا تتواجد الالكينات عموما في النفط الخام ولكنها شائعة الوجود في المنتجات المكررة كالبنزين مثلا. (Xiuhua,2002)

**5.2. النفط الخام Crude Oil:**

ان معرفة خصائص النفط الخام وتركيبه تساعد في اختيار الاستراتيجية المناسبة للتخلص من الآثار الناجمة عن التلوث النفطي، يتكون النفط الخام من مزيج من الهيدروكربونات المعقدة والتي تتراوح نسبتها فيه من 50-98%، وتشمل المركبات الهيدروكربونية المشبعة Saturated hydrocarbon الالكانات الاعتيادية، n- alkane الالكانات المتفرعة Branched alkane والالكانات الحلقية Cyclic alkane والمركبات الهيدروكربونية الاروماتية Aromatic hydrocarbon المركبات الاروماتية أحادية الحلقة Monocyclic aromatic والمركبات الاروماتية متعددة الحلقات Polycyclic aromatic hydrocarbon اضافة الى احتوائه على مركبات

غير هايدروكاربونية تدعى بالمركبات القطبية NSO نتروجين، كبريت ،او كسجين وبنسب قليلة تصل الى اقل من 10% كما يحتوي مركبات اسفلتية Asphaltene ترتبط معها المعادن النزرة مثل الكاديوم Cd، والنيكل Ni ،والفناديوم V، والكوبلت Co ( Okolo,2005 )

ويصنف النفط الخام اعتمادا على الكثافة النوعية الى نطف خام ثقيل وخفيف فالنفط الخفيف تكون كثافته النوعية حوالي 0,8 أو أقل ويكون المحتوى الاساسي له مركبات هايدروكاربونية اضافة الى احتوائه على نسب قليلة من الكبريت والشمع ومركبات اسفلتية اما النفط الخام الثقيل فتصل كثافته النوعية حوالي 1

كما يمكن تصنيفه ايضا اعتمادا على تركيبه الكيميائي الى ثلاثة أنواع تتمثل بالنفط البرافيني الذي يحتوي على كميات كبيرة من شمع البرافين ولا يحتوي على الاسفلت مثل نطف خام كركوك والنوع المختلط وذلك بسبب اختوائه على الشمع (البرافين) و الاسفلتين معا مثل نطف الشرق الاوسط والنوع الثالث هو النوع الاسفلتي والذي يتكون من الاسفلت ولايحتوي على البرافين (API,2001).

## 6.2.المعالجة الحيوية Bioremediation:

تعرف المادة المتحللة حيويًا بأنها المادة العضوية التي يمكن تحللها بفعل البكتيريا لتنتج اشكالاً اخرى تكون اكثر ثباتا اضافة الى كونها غير مؤذية للبيئة (الجبوري، 2005) فالمعالجة الحيوية هي طريقة تستعمل لتحطيم او ازالة الملوثات البيئية بأستعمال كائنات حية دقيقة (Sarah & Laroe, 2010) وتعد المعالجة الحيوية من أنسب الطرائق التي يتم اللجوء اليها في التخلص من الهيدروكاربونات النفطية اذ تمتاز بكفاءة عالية اضافة الى بساطتها فهي لا تحتاج الى ايدي عاملة وصديقة للبيئة لاتتضمن أي آثار جانبية ( Thapa et al , 2012 ) وتعمل المعالجة الحيوية على احداث تغيير كيميائي في الملوثات بأستعمال انواع مختلفة من الاحياء الدقيقة اذ تستعمل هذه الاحياء المركبات الهيدروكاربونية كمصدر غذائي فتؤدي الى تكسر هذه المركبات ونتاج المزيد من الطاقة (عنانزة، 2002،

ومعظم الملوثات البيئية للمجتمع الحديث تقع ضمن المركبات العضوية كالهيدروكاربونات والمواد الحيوانية والنباتية وغيرها من المواد التي تنشأ من الكائنات الحية والعديد منها غير عضوية مثل النترات والفوسفات والسيانيد والمعادن الثقيلة، وتتميز هذه الملوثات بتأثيرها المسرطن او السمي للإنسان والحيوان هذا بالاضافة الى ماتسببة من تشوهات خلقية (Yelebe et al ., 2015) و يطلق على فعل

الانزيمات على هذه المواد مصطلح التحلل الحيوي biodegradation و تشير المعالجة الحيوية الى الاستعمال الامثل لعمليات التحلل الحيوي لازلة الملوثات السامة التي وجدت طريقها الى البيئة وهي تعد بديلاً فعالاً من حيث الكلفة والازالة الكاملة للملوثات مقارنة بالوسائل الفيزيائية التي لا تتضمن معالجة التربة واستعادة وضعها السابق (Roy et al.,2014).

ويعد النفط الخام مادة ذات حركة محدوده ويلتصق على مكونات التربة بصورة قوية وبهذا فإن الملوثات النفطية تبقى عالقة في الاقدام الستة العليا من التربة وتلامس جذور النباتات بصورة مباشرة ولهذا لا بد من توفير معالجة حيوية فعالة للملوثات النفطية (Schwab & Banks,2000)

ويتطلب حدوث المعالجة الحيوية ان تتواجد الاحياء المجهرية المحللة في المكان المناسب اضافة الى العوامل البيئية التي تشجع حدوث التحلل الحيوي ومن اهم الاحياء المجهرية هي البكتريا والفطريات والتي تمتلك قدرات فسيولوجية وايضية تمكنها من تحطيم الملوثات وتعمل هذه الاحياء المجهرية في حالة وجود مصادر الكربون على انتاج الانزيمات والتي تعد مسؤولة عن مهاجمة الجزيئات الهيدروكربونية وتشارك العديد من الانزيمات المختلفة والمسارات الايضية في عملية تحلل الهيدروكربونات المحتوية على النفط لكن في حالة عدم وجود الانزيم المناسب فان ذلك يؤدي الى اعاقاة عملية مهاجمة هذه الجزيئات او سيعمل كحاجز لاستكمال تحلل الهيدروكربونات (Haritash & Kaushik,2009)

## 1.6.2. انواع المعالجة الحيوية : Types of bioremediation

يمكن ان تقسم المعالجة الحيوية الى نوعين اساسيين :

### 1-التوهين الطبيعي Natural Attenuation

الذي يمكن تطبيقه دون تدخل بشري عندما تكون الظروف الطبيعية مناسبة وفقاً لتعريف وكالة حماية البيئة في الولايات المتحدة الامريكية USEPA يشير الى مجموعة من العمليات الفيزيائية والكيميائية والحيوية لازالة الملوثات السمية (Jussila ,2006)

### 2-المعالجة الحيوية المهندسة Engineered Bioremediation

عن طريق اضافة مواد تحفز نمو الكائنات الحية الدقيقة وتمتاز المعالجة الحيوية المهندسة بكونها أسرع من التوهين الطبيعي بسبب امكانية تحفيز التحلل المايكروبي عن طريق التحكم في كمية التلوث

،الاوكسجين ،المغذيات ،الرطوبة ، الاس الهيدروجيني ، ودرجة الحرارة وما الى ذلك (Yerushalmi et al.,2003).

## 2.6.2. طرائق المعالجة الحيوية : Bioremediation methods

### 1-المعالجة الحيوية داخل الموقع In-site Remediation

يتم تحديد التقنية التي تستعمل في المعالجة الحيوية ان كانت داخل الموقع او خارجة اعتمادا على تركيز التلوث وموقعه ،ففي هذه المعالجة يتم الاعتماد على الاحياء المجهرية المتواجدة اصلا في الموقع الملوث فقط عن طريق تحفيز هذه الاحياء او تضاف الى الموقع الملوث احياء مجهرية تتميز بقدرات عالية في تكسير المركبات الهايدروكاربونية كذلك فإن استعمال هذه الطريقة يعتمد على نوع الميكروبات الداخلية التي تتواجد في المناطق الملوثة ويعتمد نشاط هذه الميكروبات على كمية الاوكسجين المتوفر في الموقع اذ ان انخفاض نسبة الأوكسجين يقلل من نسبة التحلل الحيوي لذلك ترش كميات من الاوكسجين للحفاظ على نسبته وبسبب التكلفة العالية فقد استعيض ببيروكسيد الهيدروجين بتركيز 30%بدلا من الاوكسجين اذ ان كل لتر من هذه المادة يمكن ان يوفر 100 جزيئة من الاوكسجين (Fengerman &Nagabhushanam ,2005)

### 2- المعالجة الحيوية خارج الموقع Ex-situ Remediation

وهي طريقة متخصصة تستعمل عندما يكون مستوى التلوث متوسطاً او كبيراً اذ ان لها قابلية عالية في تحليل الهايدروكاربونات في المناطق الملوثة ولكن يجب ان يؤخذ بالحسبان ان يتم تعديل الظروف البيئية من حرارة ومغذيات ودالة حامضية وغيرها لتناسب ظروف النمو للأحياء المجهرية ومن ثم يتم نقل الملوثات من الموقع الاصلي الى المكان الذي يتم فيه إجراء المعالجة اذ يتم اختيار مكان جيد التهوية والحرارة وفيه تخطط هذه الملوثات مع مواد عضوية محتوية على احياء مجهرية ذات قابلية على تحليل مثل هكذا ملوثات وبذلك يتم تحليل هذه المواد الملوثة ،قد تتم المعالجة في حاويات كبيرة تحتوي بداخلها على أحياء مجهرية او أنزيماتها وتستعمل هذه الطريقة عندما يراد إزالة الملوثات السامة والتي تتواجد في التربة أو الفضلات الصلبة (Harms et al .,2011)

## 7.2. الأحياء الدقيقة المستعملة في تحلل الهيدروكربونات

**Microorganisms used in hydrocarbons degradation**

تمتاز الأحياء المجهرية المحللة للهيدروكربونات النفطية بكونها شائعة الوجود سواء كانت في البيئة المائية أو البرية ويؤدي اختلاف الطرائق التي تتبع في فحص وجود وتعداد هذه الأحياء إلى صعوبة في معرفة الأعداد الحقيقية لهذه الأحياء (Atlas, 1981)

وتتواجد في التربة أنواع مختلفة من الأحياء المجهرية كالبكتريا والفطريات وغيرها من الأحياء وعلى الرغم من أن هذه الميكروبات لا تشغل سوى 5% من مساحة التربة إلا أنها مسؤولة عن أكثر من 80-90% من جميع العمليات التي تحدث في التربة مثل تحويل المواد العضوية وتدوير المغذيات وصيانة بيئة التربة إضافة إلى أنه أكثر من 90% من تدفق الطاقة في التربة تمر من خلال عمليات التحلل المايكروبي (Ulrich & Becker, 2006)

فمن خلال عمليات التحلل ودوران المغذيات تقوم الأحياء المجهرية في التربة بالتحكم في وظائف النظام البيئي. وبما أن الكائنات الدقيقة في التربة تكون مسؤولة عن الغالبية العظمى من العمليات الكيميائية الحيوية التي تحصل في التربة فإن أداء التربة يعتمد بشكل كبير على انشطتها إضافة إلى ذلك يوفر تركيب المجتمع المايكروبي معلومات حيوية عن نوعية التربة وتغير استعمالها وصحة النظام البيئي وذلك لاستجابتها للتغيرات بسرعة كبيرة (Doran & Zeiss, 2000).

وتكون الهيدروكربونات النفطية في البداية صعبة التحلل وذات فائدة قليلة للأحياء المجهرية ويحدد وجود الأحياء المجهرية ومدى التصاقها على سطح المركبات الهيدروكربونية مدى ذوبانية هذه المركبات والتخلص منها فالتلامس المباشر بين هذه الأحياء والمركبات هو أمر ضروري لحدوث عملية التحلل الحيوي في المنطقة الملوثة بالنفط الخام (Jaccobucci et al., 2001)

ويتضح من عدد كبير من الدراسات أن التغيرات في التوزيع والزيادة السكانية للأحياء الدقيقة المستهلكة للهيدروكربونات يمكن أن يحصل عند تعرض البيئة للهيدروكربونات النفطية (Atlas, 1981) وأجريت أول دراسة حول استغلال الأحياء الدقيقة المركبات الهيدروكربونية في عام 1895 من قبل العالم Miyoshi إذ لاحظ إمكانية العفن *Botrytis cinera* في استغلال شمع البرافين وفيما بعد عزلت العديد من الأنواع البكتيرية والخمائر والاعفان والتي لها القدرة على استغلال النفط الخام

ومنتجاته كمصدر للطاقة (الكعبي، 2010) اذ تمتاز العديد من الاحياء المجهرية بأن لها القدرة على استغلال هذه الهيدروكربونات كمصدر وحيد للكربون والطاقة وذلك من اجل القيام بأنشطتها المختلفة وتتنوع هذه الاحياء تقريبا على نطاق واسع في الطبيعة (Jyothi *et al.*, 2012) فالقدرة على تحلل الهيدروكربونات النفطية لا تقتصر على اعداد قليلة من الاجناس الميكروبية اذ تشمل مجاميع متنوعة من البكتريا والفطريات اضافة الى الطحالب التي تتوزع على نطاق واسع في البحار والمياه العذبة والتربة (Sharma & Pathak, 2014) من المعروف ايضا ان اعداداً كبيرة من البكتريا قادرة على تحطيم الهيدروكربونات معظمها معزولة من ترب ملوثة او من الرواسب (Haritash & Kaushik, 2009)

وقد اثبتت كل من الدراسات المختبرية والميدانية ان الكثير من المجتمعات الميكروبية تحت سطحية قادرة على استقلاب الملوثات (Mao *et al.*, 2015) وتعمل الاحياء المجهرية على تحويل المركبات الهيدروكربونية الى CO<sub>2</sub> وماء وأحماض عضوية ومواد كحولية وان معظم هذه النواتج يتطاير اما البعض منها فيذوب في الماء الذي يعمل بدوره على تخفيفها وايقاف انتشارها في العمود المائي وبذلك يقل التلوث البترولي ان لم ينته بعد مدة وجيزة (حوالي 3 اشهر) في المناطق الملوثة وبالاخص اذ لم يتواجد تلوث بترولي جديد في المنطقة اذ تعمل هذه الكائنات على مهاجمة البقع النفطية وتكسرها فلا يبقى منها سوى كرات القار والتي لا تنجح في تكسيرها في البداية اذ تحتاج الى فترات اطول اضافة الى عوامل اخرى تساعد في عملية هدم وتكسير كرات القار (الكعبي، 2010)

ويعتمد استعمال الميكروبات للمركبات الهيدروكربونية على كل من طبيعته الكيميائية لهذه المركبات داخل خليط النفط وعلى المحددات البيئية (Adeline *et al.*, 2009) وتدخل الهيدروكربونات الى البيئة من خلال التخلص من النفايات و الانسكابات العرضية اضافة الى مبيدات الافات والخسائر اثناء النقل والتخزين والاستعمال وتعد البكتريا من اكثر الاحياء المجهرية قدرة على تحطيم المركبات الهيدروكربونية أو إزالة السمية من الملوثات العضوية فهي فعالة اقتصاديا وصديقة للبيئة (Das & Chandran, 2011)

وبشكل عام فإن الاحياء الدقيقة المستهلكة للهيدروكربونات في النظم البيئية غير الملوثة تكون أقل من 0.1% من المجتمع المايكروبي ولكن هذا العدد يمكن ان يرتفع ليصل الى 100% في النظم البيئية الملوثة بالنفط (الكعبي، 2010) اذ يعتقد ان درجة الارتفاع تعكس مدى تعرض النظام البيئي للملوثات الهيدروكربونية. ويوضح الجدول (1-2) بعض اهم البكتريا المحللة للنفط الخام المعزولة من



بيئات الماء والتربة ، وهناك بعض أجناس البكتيريا التي تستعمل الهيدروكربونات كمصدر للكربون والطاقة مثل *Pseudomonas ,Achromobacter ,Arthrobacter ,Micrococcus ,Nocardia* وغيرها من الاجناس (Ogidi & Njoku, 2017) وتعمل ملوثات التربة على تغيير الخواص الفيزيائية والكيميائية لهيكل التربة مثل الاس الهيدروجيني للتربة والمواد العضوية الكلية والتوصيلية الكهربائية ونتيجة لذلك تظهر للمجتمعات للميكروبية استجابة عند التعرض للملوثات (Sutton *et al.*,2013)

جدول (1-2) يبين بعض اهم البكتيريا المحللة للنفط الخام والمعزولة من بيئات الماء والتربة

اسم البكتيريا	المصدر
<i>Pseudomonas, Escherichia coli</i>	(Emtiazi <i>et al.</i> , 2005)
<i>Bacillus</i>	(Gupte & Sonawdekar, 2015)
<i>Acinatobacter</i>	(Onur, 2015)
<i>Alcaligenes, Corynebacterium, Pseudomonas</i>	(Akeredolu & Akinnibosun, 2017)
<i>Actinomyces</i>	(Shahaby <i>et al.</i> , 2015)
<i>Staphylococcus</i>	(Nweke & Okpokwasili, 2003)
<i>Stenotrophomonas</i>	(Cunha, 2002)
<i>Acromobacter, Micrococcus</i>	(Saddoun, 2003)
<i>Vibrio, Aeromonas</i>	(Ulukanli & Digrak, 2002)
<i>Klebsiella,</i>	(Nweke & Okpokwasili, 2003)
<i>Alcaligenes, Rhodococcus, Streptomyces, Achromobacter</i>	(Andria, 2008)
<i>Actinocorallia, Rhizobium, Klebsiella, Pseudomonas</i>	(Al-Bahry <i>et al.</i> , 2016)
<i>Pasteurella, Flavimonas, Leclerica,</i>	(AlJanabi, 2008)
<i>Proteus, Chryseomonas, E.coli, Pseudomonas</i>	(Akpe <i>et al.</i> , 2015)
<i>Serratia, Enterobacter, E.coli</i>	(Al-Mayaly, 2010)

## 8.2. أخذ المركبات الهيدروكاربونية **Uptake hydrocarbon compounds**:

تقوم الاحياء المجهرية بأخذ المركبات الهيدروكاربونية وتوصيلها الى مناطق معينه بداخل الخلية ليتم تمثيلها والحصول على الطاقة وهذا يتم اعتمادا على عوامل عديدة منها نوع المركبات الهيدروكاربونية وطبيعتها الكيميائية و الفيزيائية والكائن المستهلك لهذه المركبات ( Wang *et al.*,2001) وهناك ثلاثة اساليب مقترحة لآلية اخذ هذه المركبات وهي:

### 1.8.2. أخذ الهيدروكاربونات الذائبة **uptaked dissolved hydrocarbon** :

وفي هذا الاسلوب يتم الاعتماد فقط على الهيدروكاربونات الذائبة في الماء والتي تكون مقتصرة على الالكانات ذات السلاسل القصيرة وجد انه عند تنمية بعض الاحياء المجهرية في وسط يحتوي على مزيج من الالكانات التي تكون ذات اوزان جزيئية مختلفة فأنها تستهلك الالكانات ذات الوزن الجزيئي الواطئ بصورة اسرع وهذا يعود الى قدرة المركبات ذات الاوزان الجزيئية الواطئة على الذوبان بصورة اسرع ومن ثم سهولة اخذها من قبل الخلية (Zhang & Miller,1995).

### 2.8.2. آلية التلامس المباشر **Direct Contact Mechanisms**

في هذه الآلية تعمل خلايا الاحياء المجهرية المستهلكة للمركبات الهيدروكاربونية على اخذ هذه المركبات والتي تكون بتماس مباشر مع سطوح هذه الخلايا اذ تقوم بأحتجازها لتنتقلها فيما بعد عبر غشائها الخلوي ( Choi *et al.*,1999) .

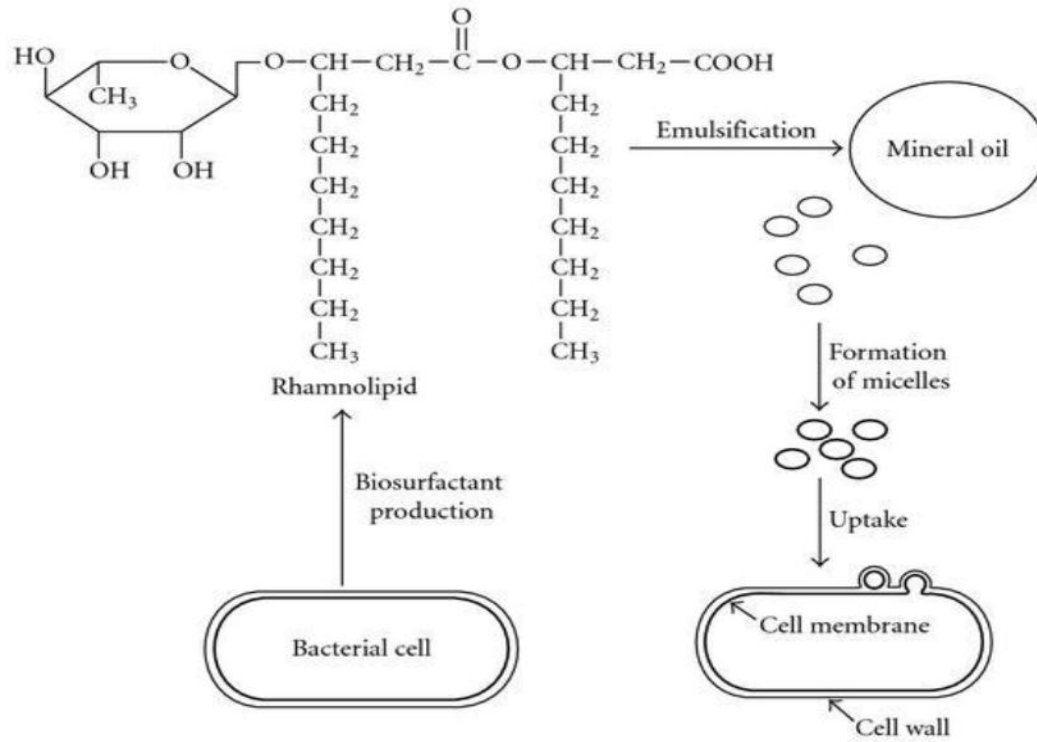
### 3.8.2. آلية الاستحلاب **Emulsification Mechanisms**

الاستحلاب هو وجود سائلين لا يذوبان في بعضهما بل يتشتت احدهما في الاخر وتعتمد درجة استقرارية المستحلب على طبيعة الخلط ، وتلاحظ هذه الظاهرة عند تنمية بعض انواع الاحياء المجهرية في وسط حاوي على الهيدروكاربونات فالمستحلبات الحياتية هي مركبات تفرز الى خارج الخلية او يتم انتاجها على سطح الخلايا وتكون بطبيعتها الكيميائية دهنية – سكرية glycolipid او دهنية – مفسفرة phospholipid وتحتوي على جزء كاره للماء وجزء محب للماء ( Abdurrahim *et al.*,2009) .

وتنتج الاحياء المجهرية هذه المركبات لتسهيل أخذ المركبات العضوية التي تتصف بكونها قليلة الذوبان في الماء فتعمل هذه المستحلبات على زيادة الانتشار المائي لهذه المركبات ومن ثم زيادة ذائبيتها وجاهزيتها الحيوية ( Jaysree *et al.*,2011) .

وتوجد آليتان تعمل المستحلبات الحياتية من خلالهما على زيادة تفكك المركبات قليلة الذوبان في الماء في الآلية الأولى تعمل هذه المستحلبات على زيادة المساحة السطحية للمهاجمة المايكروبية وذلك من خلال عملها على إذابة المركب الكاره للماء في داخل جزيئات صغيرة تدعى *Micelle* وبذلك تكون هذه المركبات جاهزة للأخذ من قبل الخلايا ، اما في الآلية الأخرى فتعمل المركبات المستحلبة على جعل سطوح الخلايا أكثر كراهية للماء ونتيجة لذلك يزداد الاتصال المباشر بين الخلايا والمركبات قليلة الذوبان بالماء (Rachedi *et al.*,2005) ويوضح الشكل (1-2) الآلية التي تساهم فيها المستحلبات الحياتية في امتصاص الهيدروكربونات .

وتعد الالكانات من أكثر المركبات الهيدروكربونية تحللاً تليها الالكانات المتفرعة ،المركبات الهيدروكربونية الأروماتية الأحادية ،الالكانات الحلقية ، وأخيراً الهيدروكربونات الأروماتية متعددة النوى (van Hamme *et al.*,2003).



شكل (1-2) مشاركة المستحلبات الحياتية في امتصاص الهيدروكربونات (Das & Chandran,2011)

## 9.2. أكسدة المركبات الهيدروكاربونية بفعل الاحياء المجهرية

### Oxidation of hydrocarbons by microorganisms

تعتمد عملية التفكك الحياتي biodegradation و الأكسدة للمركبات الهيدروكاربونية على مجموعة عوامل منها نوع الكائن المجهرى وتركيب المصدر الهيدروكاربوني وقابليته على الأكسدة اضافة الى طبيعة الانزيمات المحللة للمركبات الهيدروكاربونية (Zang *et al.*,2005) يتوسط عملية التحطيم الحياتي نظام انزيمي متخصص ففي عملية الأكسدة يوجد نوعان من التفاعلات الانزيمية ويشترك فيها نوعان من الانزيمات هما Dioxygenase, Monoxgyenase فالانزيم الاول يسهم بذرة اوكسجين واحدة الى التفاعل في حين تختزل الذرة الثانية من الاوكسجين الى ماء اما الانزيم الثاني فيسهم بذرتي اوكسجين في وسط التفاعل وتعتمد هذه التفاعلات على انزيمات الاحياء المجهرية المؤثرة ، طبيعة نواتج التفاعلات الانزيمية المتحررة ، وطبيعة المادة المجهزة للوسط (Stringfellow,2001)

وتتضمن عملية الأكسدة اكسدة الهيدروكاربونات الاليفاتية اذ يعد النفط الخام المصدر الاساسي للمركبات الاليفاتية المشبعة وغير المشبعة وتعد الالكانات الطبيعية من أبسط المركبات القابلة للتحلل في الخليط الهيدروكاربوني النفطي بفعل الاحياء المجهرية (Karthikeyan *et al.*,1999)

اشار Rojo (2009) الى ان الالكانات الحلقية تمثل جزءا صغيرا من النفط الخام وهي مقاومة نسبيا للتفكك الحياتي ويتعقد التمثيل الحياتي لهذه المركبات في حالة عدم وجود مجموعة المثل النهائية ضمن الحلقة.

ويمكن ان تصنف أكسدة الالكانات الى نوعين من الأكسدة هما الأكسدة الطرفية Terminal oxidation وفي هذه الطريقة تؤكسد المركبات الاليفاتية بواسطة مجموعة من الانزيمات يطلق عليها Monoxygenas system وفيها يتم أكسدة ذرة الكاريون الطرفية لانتاج كحول اولي الذي يتحول الى الدهايد حامض دهني بفعل انزيمات الديهايدروجينيز ومن ثم يؤكسد الى الحامض الدهني الناتج من مسار اكسدة بيتا B-oxidation الى مركب اسيتل كو اي Acetyl Co A ( Ron&Rosenberg , 2002)

اما النوع الثاني فهي الأكسدة تحت الطرفية Subterminal oxidation وهي اكثر انواع الأكسدة شيوعا في الاحياء المجهرية اذ تعمل على كل من الالكانات الواطئة C3- C6 وطويلة السلسلة

وتحصل اكسدة اولية للمركبات الاليفاتية ينتج عنها كحول ثانوي ومن ثم يحصل سحب ذرة هيدروجين dehydrogenation اذ يتكون مركب كيتون المثيل وينتج حوامض ثنائية الكربوكسيل والتي تدخل مسار اكسدة بيتا ليكون الناتج Acetyly Co A. ( Rojo,2009) .

اما بالنسبة لأكسدة المركبات الهيدروكاربونية الاروماتية فتكون أكثر تعقيدا من أكسدة المركبات الاليفاتية لاحتياجها الطاقة لكسر الحلقة الاروماتية كذلك تختلف الانزيمات التي تشترك في هذه العملية عن الانزيمات المشتركة في اكسدة المركبات الاليفاتية ، وفيها تتفكك مجموعة متنوعة من المركبات الاروماتية الى مركبات وسطية تشمل protocatechuate ,catechol (Gulloto *et al.*,2008) اذ تتضمن عملية الاكسدة اضافة مجموعة الهيدروكسيل اولا hydroxylation لتكوين مركب ثنائي الهيدروجين وكسر الحلقة مكونة cis-muconate او hydroxymuconic-semialdehyde وفي حالة وجود مجموعة الكيل في الحلقة الاروماتية فأنها تؤكسد اولا ومن ثم تدخل النواتج النهائية protocatechuate ,catechol ,gentisate الى احد المسارات الاتية وهي اورثو ، ميتا ، بارا ليتم اكمال عملية التفكك الحياتي (Malkawi *et al.*,2009) .

## 10.2.العوامل المؤثرة في التفكك الحيوي للهيدروكاربونات النفطية

### Factors Affecting on biodegradation of petroleum hydrocarbons

#### 1.الاكسجين: Oxygen

يعد الاوكسجين الجزيئي من العوامل المهمة في انظمة التفكك الحياتي اذ يتم استهلاكه من الاحياء في عملية التنفس اضافة الى عملة كمستقبل للالكترونات ومشاركته في التفاعلات المحفزة للأنزيمات، وتعمل التراكيز القليلة من الاوكسجين على الحد من عملية التفكك الحياتي لذلك لابد من تزويد الاحياء المجهرية بكميات كافية منه (Atlas &Creniglia,1995)و تعمل انزيمات oxygenase system وبوجود الاوكسجين الذري على المهاجمة الاولية للعديد من الجزيئات المتواجدة في الهيدروكاربونات النفطية ،وتتناسب سرعة التفكك الحيوي طرديا مع كمية الاوكسجين اذ تتباطأ عملية التفكك عند قلة الاوكسجين حتى تصبح بطيئة جدا في الظروف اللاهوائية وبذلك يعد الاوكسجين عاملا رئيساً يحدد سرعة التفكك الحياتي للنفط وعند غياب الاوكسجين يعمل كل من الكبريت او النتروجين كمستقبل الكتروني وذلك للأكسدة الجزيئية للمركبات الوسطية للهيدروكاربونات (Vidali, 2001)

**2.الملوحة: Salinity**

وهي أحد العوامل المهمة في عملية التفكك الحيوي إذ يزداد نشاط الاحياء المجهرية عند التراكيز الواطنة من الملوحة وبالعكس تسبب الملوحة العالية اختزال معدل التفكك الحيوي (Minai-Tehrani, 2009) وبذلك تكون العلاقة عكسية بين تمثيل الهيدروكربونات والملوحة. وتنخفض ذائبية المركبات الاروماتية متعددة الحلقات مثل الباييرين عند زيادة الملوحة لزيادة ادمصاص هذه المركبات من قبل الترسيبات الطينية (Margesin & Schinner, 2001) كذلك وجد ان للملوحة تأثيراً واضحاً على فعالية المستحلبات الحياتية (Ilori et al., 2005)

**3.درجة الحرارة : Temperature**

يحصل التفكك الحيوي للهيدروكربونات في مدى واسع من درجات الحرارة ففي بيئات المياه العذبة يحدث التفكك الحيوي في مدى حراري يتراوح بين (20-30)م وفي بيئات المياه البحرية بين (15-20)م<sup>°</sup> اما بيئات التربة فيتراوح بين (30-40)م<sup>°</sup> (Venosa & Zhu, 2003)

لاحظ Märkl و Feitkenhauer (2003) انه كلما انخفضت درجة الحرارة يكون معدل التفكك الحيوي بطيئاً ويزداد التفكك كلما زادت درجة الحرارة اذ وجد انه عند زيادة درجة الحرارة من (20-35)م<sup>°</sup> يزداد معها تفكك النفثالين بمقدار عشر مرات. وتؤثر درجة الحرارة على الحالة الفيزيائية للهيدروكربونات ففي درجات الحرارة المنخفضة تتحول الهيدروكربونات من حالة سائلة الى حالة شمعية صلبة كذلك الهيدروكربونات الذائبة تنخفض ذائبيتها وتترسب ، وهذه التغيرات في الحالة الفيزيائية لهذه المركبات تقلل من جاهزيتها الحياتية ومن ثم تقلل من تفككها الحيوي كما تؤثر درجة الحرارة على فعالية المستحلبات الحيوية (Ilori et al., 2005)

**4.المستحلبات الحياتية: Emulsifiers**

تتفاعل المستحلبات الحياتية المنتجة من قبل الأحياء المجهرية مع المركبات الهيدروكربونية فتزيد من ذائبيتها وجاهزيتها الحياتية ومن ثم تسهيل عملية التفكك\_الحياتي (Varjani & Upasani, 2017)

وتوصل Johnsen وجماعته (2005) الى ان التفكك الحيوي للمركبات الاروماتية متعددة الحلقات الذي تنتجه بكتريا *Pseudomonas aeruginosa* النامية على الفينانثرين والنفثالين هو

مستحلب حياتي يزيد من ذائبية هذه المركبات واستحلابها وأخذها من قبل الخلايا . ويلعب التركيب الكيميائي للمستحلب الحياتي دوراً واضحاً في التفكك الحيوي إذ وجد ان هناك علاقة قوية بين كل من تركيب المستحلب الحياتي ومعدل التفكك الحيوي للهاييدروكاربونات (Cybulski *et al.*,2003).

### 5.المغذيات: Nutrients

للعناصر المغذية دور مهم في نمو وبناء الانزيمات المستعملة من قبل الاحياء المجهرية في عملية تكسير الهايدروكاربونات وتستهلك الاحياء المجهرية الكربون كمصدر للطاقة وتحصل عليه من الملوثات النفطية التي تضاف باستمرار الى البيئة ولكن هذه الكائنات لا تكفي بالكربون فقط انما تحتاج الى عناصر مغذية اخرى ،ومن اهم العناصر التي تحتاجها وبتراكيز عالية الفسفور والنتروجين اما الحديد والكبريت والمغنسيوم والصوديوم والكالسيوم وعناصر اخرى فتحتاجها بكميات قليلة (Atlas 1984)، اوضحت مصادر متعددة ان زيادة مستويات النتروجين يتسبب بآثار سلبية على تحلل المواد الهايدروكاربونية وبالاخص على المركبات العطرية (Okolo, 2005) فالزيادة المفرطة في تركيز المواد المغذية قد تعمل على تثبيط عملية التحلل الحيوي (Chaillan *et al.*,2006).

### 6.الأس الهيدروجيني pH

الأس الهيدروجيني الامثل لتفكك الهايدروكاربونات في التربة يتراوح بين (6-8) اما في المياه الطبيعية فيتراوح بين (7-8.5) ويزداد التفكك الحيوي للهاييدروكاربونات اعتماداً على فعالية المستحلبات الحياتية (Ilori *et al.*,2005).

### 11.2 انزيم Catechol 2,3 dioxygenase ودوره في عملية التحلل الحيوي

#### للهاييدروكاربونات النفطية :

تتوزع المركبات الهايدروكاربونية في الطبيعة على نطاق واسع وعادة ما تكون الشاغل الرئيس ومحط الاهتمام وذلك بسبب سميتها للكائنات الحية فضلا عن ثباتها البيئي وعلى الرغم من ذلك يمكن استعمالها من قبل العديد من الانواع البكتيرية على اعتبارها مصدر للكربون والطاقة ، وبسبب قدرة هذه الأحياء على النمو في وجود هذه المركبات فيمكن استخدامها كوسائل مختلفة في المعالجة الحيوية (Hupert –Kocurek *et al.*,2014)

العديد من المركبات الهيدروكاربونية الاروماتية مثل BTEX (بنزين ، تولوين ، اثيل بنزين ، زايلين ) هي مركبات رئيسة للنفط الخام ويمكن ان تتحلل هذه المركبات الى مركبات اقل سمية ، وذلك من خلال عدة خطوات وبمسارات مختلفة فالتحلل الحيوي باستعمال الأحياء المجهرية هي طريقة شائعة لتحليل الهيدروكاربونات في البيئات الملوثة اذ تمّ عزل العديد من الأحياء المجهرية من مواقع ملوثة بالنفط الخام ( تربة ، ماء ) أظهرت قدرة واضحة في تحلل هذه المركبات (Hamzah *et al.*,2013)

وتعمل الأحياء المجهرية على استهلاك المركبات الهيدروكاربونية عن طريق نظام انزيمي متخصص ، وفي أغلب الأحيان تتم عملية تشفير هذه الانزيمات داخل البلازميدات أو قد تكون على الكروموسومات فعندئذ يتم حملها على الترانسبوزونات Transposons او قد تكون محاطة بتعاقبات الادخال Insertion sequences (Ibrahim ,2003)

نظراً لأهمية انزيمات dioxygenase في عملية التحلل الحيوي فقد اكتسبت الكثير من الاهتمام ، ويمكن تصنيف هذه الانزيمات الى مجموعتين وفقاً لطريقة انفصال الحلقة الاروماتية الى Intradiol enzyme والتي تعمل على شقّ الحلقة الاروماتية بين مجموعتي الهيدروكسيل مثل Catechol 1,2 dioxygenase و Extadiol enzyme الذي يعمل على شقّ الحلقة الاروماتية بين ذرّة كاربون لمجموعة هيدروكسيل hydroxylated carbon وذرّة كاربون أخرى مجاورة لمجموعة غير هيدروكسيلية non hydroxylated carbon (Malkawi *et al.*,2009)

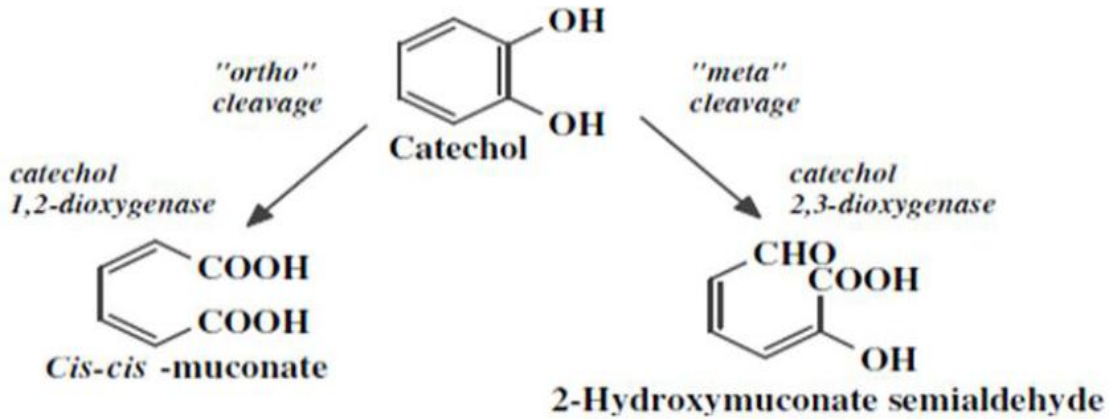
ويتواجد انزيم catechol 2,3 dioxygenase (C23O) في مدى واسع من الأنواع البكتيرية سواء كانت موجبة او سالبة لصبغة كرام ، ويكون المدى الحراري الأمثل لإفراز هذا الانزيم هو 30-50م° خلال عملية التحلل الحيوي لذلك فإنّ الطبيعة المحبة للحرارة لإنزيمات البكتريا يمكن ان تضيف مزيداً من المزايا لأستعمالها في المعالجة الحيوية للمناطق الملوثة بالنفط خلال موسم الجفاف اما بالنسبة للرقم الهيدروجيني فيكون من 6-8 (Olukunle *et al.*,2015)

ويتكون التحلل الهوائي لمسارات الهيدروكاربونات من ثلاث خطوات ، ففي الخطوة الاولى يتم إدخال مجموعتين من الهيدروكسيل والتي يتم تحفيزها بواسطة انزيمات dioxygenase وذلك لإنتاج مركبات أروماتية ثنائية الهيدروكسيل والتي عادة ماتكون كايبتول Catechol الذي بدوره يكون أساساً للخطوة الثانية من الهدم عن طريق انشطار الحلقة الاروماتية بواسطة Catechol 1,2 dioxygenase و Catechol 2,3dioxygenase (Dokic *et al.*,2012) اما في الخطوة الاخيرة فنتحول نواتج



انشطار الحلقة الاروماتية الى مركبات اليفاتية صغيرة يتم استقلابها الى Carbondioxide خلال دورة الاحماض ثلاثية الكربوكسيل (TCA cycle) (Williams & Tricarboxylic acid cycle (TCA cycle) Sayers,1994)

أشار Hamzah وTavakoli (2017) الى ان المركبات الاروماتية تضم العديد من المركبات أهمها ثنائي الفينيل ، النفثالين ، التولوين و البنزوات التي تعمل الاحياء المجهرية الى تحويلها الى مركب وسطي هو كايكول Catecho بعملية التحلل الميكروبي microbial degradation ويخضع الكايكول المتكون كمركب وسطي في هذه العملية الى الانشطار بفعل انزيمات Catechol 1,2 intradiol enzyme ، اذ تعمل انزيمات Catechol 2,3 dioxygenase وdioxygenase على شطر اصرة C-C في الموقع 1,2 (ortho) position من الكايكول لينتج cis,cis-muconic acid الذي بدوره يتحلل اكثر بواسطة مسار  $\beta$ -keto adipate pathway ، في حين تعمل انزيمات extradiol enzyme (catechol 2,3 dioxygenase) على تحويل الكايكول الى 2-hydroxymuconic semialdehyde عن طريق كسر الاصرة C-C في الموقع 2,3 (meta) position وهو جزء من مسار  $\alpha$ -keto adipate pathway كما في الشكل (2-2)



شكل (2-2) تحلل مركب الكايكول عبر مساري اورثو و ميتا (ortho and meta pathway) (Zeyaulah et al.,2009).

ولتجنب تراكم المركبات الوسطية السامة فقد طورت البكتريا العديد من الاستراتيجيات مثل التعبير عن catechol 2,3 dioxygenase (expression C23O) وإعادة التنشيط reactivating وتعطيل تثبيط C23O والتكرار الجيني gene duplications الذي يزيد من استهلاك الكايتكول او يعمل على الانتاج المتوازن للإنزيمات المسؤولة عن انتاج الكايتكول وتحلله (George & Hay,2012)

# الفصل الثالث

## المواد وطرائق العمل

## Materials and Methods

**Materials and Methods**

**3-المواد وطرائق العمل**

**1.3 الأجهزة والمستلزمات Instrument and Equipments**

**1.1.3 الأجهزة المستعملة Instruments**

**جدول (1.3) الاجهزة المختبرية المستعملة قيد الدراسة**

الشركة المصنعة	اسم الجهاز	التسلسل
Cyan (China)	Vortex Mixer	1 المازج الدوامي
Gallen kampe (England)	Spectrophotometre	2 المطياف الضوئي
Concord (Lebanon)	Refrigerator	3 ثلاجة (براد)
ABI (USA)	Thermal Cycler	4 جهاز PCR
UV Products (USA)	Ultraviolet trans illuminator	5 جهاز الاشعة فوق البنفسجية
Bio-Rad (Italy)	Gel electrophoresis apparatus	6 جهاز الترحيل الكهربائي
Biogroup (UK)	DNA-RNA Spectrophotometer	7 جهاز القطرة النانوية
Optimal( Japan)	Eppendorf bench centrifuge	8 جهاز النذب المركزي
GFI (Germany)	Distillor	9 جهاز تقطير
Martini( USA)	pH- meter	10 جهاز قياس الاس الهيدروجيني
Memmert (Germany)	Incubater	11 حاضنة
Gallen kampe (England)	Shaking Incubater	12 حاضنة هزازة
Marubeni (Japan)	Water bath	13 حمام مائي
	Hot plate	14 صفيحة تسخين
Memmert (Germany)	Oven	15 فرن كهربائي
Marubeni	Hood	16 كابينة تعقيم

Sony (Japan)	Digital Camera	كاميرا رقمية	17
Olympus (Japan)	Compound Light Microscope	مجهر ضوئي مركب	18
Marubeni (Japan)	Autoclave	مؤصدة	19
Sartorius( USA)	Sensitive Balance	ميزان حساس	20

### 2.1.3 المستلزمات والأدوات المختبرية Equipment and Tools

استعملت المستلزمات والأدوات الآتية كما موضحة بالجدول ( 3- 2 )

جدول (2-3) المستلزمات والأدوات المستعملة في الدراسة

الشركة المصنعة	الادوات المستعملة	ت	
AFMA (Jordan)	Glass cylinder	اسطوانات زجاجية	1
	Plastic petri dishes	اطباق بلاستيكية	2
Bioneer (Korea)	Plastic test tubes	انابيب بلاستيكية دقيقة	3
AFMA (Jordan)	Glass flasks	دوارق زجاجية بأحجام مختلفة	4
Slibrand (China)	Slides	شرائح زجاجية	5
KD SURGICALS (India)	Loop full	عروة ناقل	6
Slamed (German)	Micro pipettes	ماصات دقيقة	7
	Filter paper	مرشحات دقيقة	8
AFMA (Jordan)	Disposable swabs	مسحات معقمة	9

## 3.1.3 المواد الكيميائية والحيوية Chemical and Biological Substance

جدول (3-3) المواد الكيميائية والحيوية المستعملة في الدراسة

الشركة المصنعة	المادة الكيميائية	ت
BDH (England)	Agarose	1 اكاروز
	$\alpha$ -Naphthol	2 الفا نفثول
Sigma (USA)	Ethidium –Bromide	3 بروميد الاثيديوم
BDH (England)	H2O2	4 بيروكسيد الهيدروجين
	Tris –HCL	5 ترس حامض الهيدروكلوريك
	Tris –base	6 ترس قاعدي
Merk (Germany)	Boric acid	7 حامض البوريك
Bioneer (Korea)	DNA ladder (100-1500)	8 سلم الحمض النووي القياسي
BDH (England)	K2HPO4	9 فوسفات ثنائية البوتاسيوم
	Na2SO4.7H2O	10 كبريتات الصوديوم المائية
	MgSO4.7H2O	11 كبريتات المغنسيوم المائية
	Absolute Ethanol 99%	12 كحول ايثيلي مطلق
Promega (USA)	Isopropyl alcohol	13 كحول الايزوبروبيل
BDH (England)	NH4CL	14 كلوريد الامونيوم
Promega (USA)	NaCl	15 كلوريد الصوديوم
BDH (England)	Glycerol	16 كليسول
	Di ionized water	17 ماء منزوع الايونات
	Red Methyl	18 المثيل الاحمر
	TBE	19 محلول الترحيل

	Agar	مسحوق الاكار	20
حقول البصرة	Crude oil	نפט خام	21
Promega (USA)	KOH	هيدروكسيد البوتاسيوم	22
Fluke (Germany)	NaOH	هيدروكسيد الصوديوم	23
BDH (England)	Urea	يوريا	24

### 4.1.3 الأوساط الزرعية الجاهزة Culture Media

جدول (3-4) الأوساط الزرعية الجاهزة المستعملة في الدراسة

الشركة المصنعة	اسم الوسط	ت
Oxoid (England)	Nutrient agar	1 الاكار المغذي
	Blood agar	2 أكار الدم
Himedia (India)	Citrimide agar	3 أكار السترومايد
	Mannitol salt agar	4 أكار ملح المانيتول
Oxoid (England)	Nutrient broth	5 المرق المغذي
	MacConkey agar	6 الماكونكي
Himedia (India)	Eosin methylene blue	7 ايبوسين مثيلين الازرق
Oxoid (England)	Brain heart infusion broth	8 نقيع القلب الدماغ السائل
	Simmon citrate agar	9 وسط سايمون ستريت

Himedia (India)	Pepton water medium	وسط ماء البيبتون	10
-----------------	---------------------	------------------	----

### 5.1.3 الصبغات والكواشف Stains and Reagents

جدول (3-5) الصبغات والكواشف المستعملة في الدراسة

الشركة المصنعة	اسم الصبغة او الكاشف	ت
Bioneer (Korea)	Loading dye	صبغة التحميل
Sigma (England)	Safranine stain	صبغة السفرانين
BDH (England)	Methyl red	صبغة المثيل الاحمر
Biobasic (Canada)	ethidium bromide Dye	صبغة بروميد الاثيديوم
BDH (England)	Oxidase reagent	كاشف الاوكسيديز
SDI (Iraq)	Hydrogen peroxide	كاشف بيروكسيد الهيدروجين
India	Kovacs Reagent	كاشف كوفاكس
Syrbio (France)	Gram stain solution	محاليل صبغة كرام

### 6.3.1 البادئ primer

تم استخدام بادئ خاص بجين انزيم catechol 2,3 dioxygenase الذي يشفر لتحلل الهيدروكاربونات النفطية وذلك باستعمال موقع NCBI –Genbank وبرنامج تصميم البادئات primer3plus وتم تجهيز هذا البادئ عن طريق شركة Bioneer في كوريا كما في الجدول (3-6)

كانت درجة الحرارة للبادئ الامامي ( $T_m=56.3\text{ C}^\circ$ ) اما البادئ العكسي ( $T_m=56.3\text{ C}^\circ$ ) اعتماداً على برنامج Optimase Protocol Writer. اما بالنسبة لـ Code الجين الاصلي المأخوذ منه البادئ فهو AJ544924.2 *Pseudomonas* sp. 1YB2 C23O gene for Catechol 2,3 dioxygenase ,strain 1YB2



جدول(3-6) البادئ المستعمل في الدراسة

المصدر	البادئ	التسلسلات		نتائج التضخيم
مصمم في هذه الدراسة	Catechol 2,3 dioxygenase	F*	CGAACGATTCATGACCGTGC	553bp
		R	TTCCAGGTCATGAGCAGCAG	

R: Rever البادئ العكسي : F: Forword البادئ الأمامي

7.3.1 العدد المختبرية The Laboratory Kits

جدول(3-7) العدد المختبرية المستعملة في الدراسة

الشركة (المنشأ)	العدد	ت
BioMerieux (France)	عدة تشخيص API 20 System الذي يضم اشربة الفحص فضلاً عن API Suspension Medium, Incubation Box, Mineral Oil وكذلك يضم الكواشف الاتية VP2, VP1, James, TDA	1
Geneaid (Thailand)	عدة أستخلاص DNA الجينومي DNA Genomic Extraction Kit وتضم المحاليل التالية لأجراء الفحص GT Buffer 30 ml, GB Buffer 40 ml, W1 Buffer 45ml, Wash Buffer 100 ml, Elution Buffer 30 ml, GD Colum 100 pcs, 2ml collection tubes 100 pcs	2
Bioneer (Korea)	عدة مزيج تفاعل البلمرة المتسلسل PCR Accupower® PCR PreMix وتشمل مكوناتها _dNTPs (dATP ,dCTP ,dGTP ,dTTP) each :250 µM _Taq DNA polymerase 1U _Tris-HCl (pH 9.0) 10 µM _KCl 30 µM _MgCl <sub>2</sub> 1.5 µM _Loading dye	3

**2.3 طرائق العمل Methods****1.2.3 التعقيم Sterilization**

عقمت جميع الأدوات الزجاجية المستعملة والتي تحتاج الى تعقيم جاف باستعمال الفرن الكهربائي عند درجة حرارة 180م لمدة ساعتين في حين عقمت جميع الاوساط الزرعية والمحاليل التي استعملت في هذه الدراسة والتي تحتاج الى تعقيم رطب بالمؤصدة (Autoclave) عند درجة حرارة 121م وضغط 15باوند/انج<sup>2</sup> ولمدة 15دقيقة اما بالنسبة للمحاليل التي تتأثر بالحرارة فعقمت باستعمال مرشحات غشائية millipore filters (قطر الفتحة الواحدة 0.22 ملي مايكرون) (Greenwood *et al.*, 2012)

**2.2.3 تحضير الاوساط الزرعية Preparation of Culture Media**

حضرت الاوساط الزرعية الجاهزة الموضحة في الجدول (3-4) وفقا لتعليمات الشركة الخاصة بكل وسط وضبط الاس الهيدروجيني لها وعقمت بحسب نوع الوسط الزراعي بالمؤصدة عند درجة حرارة 121م ولمدة 15دقيقة بعدها حضنت هذه الاوساط بعد الانتهاء من صبها في أطباق أو أنابيب وذلك بحسب متطلبات التجربة عند درجة حرارة 37م ولمدة 24ساعة للتأكد من عدم وجود اي تلوث بعدها تم حفظها في الثلاجة عند درجة حرارة 4 م لحين استعمالها.  
فيما حضرت الاوساط التركيبية كما يأتي :-

**1.2.2.3 وسط اكار الدم Blood Agar Medium**

حضر وسط الدم الاساس وفقا لتعليمات الشركة المصنعة وذلك بإذابة 37.5غم من الوسط في 1 لتر من الماء المقطر ومن ثم عقم بالمؤصدة ثم ترك ليبرد الى درجة حرارة 45-50م وبعد ذلك اضيف اليه الدم بنسبة 5% ومزج بلطف ومن ثم صب في الاطباق وترك حتى يتصلب وحفظ في الثلاجة بدرجة 4 م لحين استعماله (Cheesbrough, 2006).

**2.2.2.3 وسط الاملاح المعدنية السائل Mineral Salts Liquid Medium**

استعمل هذا الوسط كوسط انتقائي لعزل البكتريا المفككة للهاييدروكاربونات النفطية واختبار مقدرتها في استهلاك النفط الخام باعتباره مصدرا وحيدا للكربون و الطاقة وحضر هذا الوسط بأذابة كل من 4غم من NH<sub>4</sub>CL، 0.2غم من MgSO<sub>4</sub>.7H<sub>2</sub>O، 0.1غم من NaCl، 1.8غم من K<sub>2</sub>HPO<sub>4</sub>

0.01، غم من  $\text{NaSO}_4 \cdot 7\text{H}_2\text{O}$  ، في لتر من الماء المقطر وعدل الاس الهيدروجيني الى 7.2 بعدها عقم بالمؤصدة ومن ثم اضيف نفط خام بنسبة 1 % (Jyothi *et al.*,2012).

### 3.2.2.3 وسط الاملاح المعدنية الصلب Mineral Salts Solid Medium

استعمل هذا الوسط لعزل وتنمية البكتريا المحللة للهيدروكاربونات النفطية واختبار قدرتها على استهلاك النفط الخام باعتباره مصدراً وحيداً للكربون والطاقة ، وذلك باستعمال وسط الاملاح المعدنية السائل المحضر وفقاً للفقرة (2.2.2.3) والمضاف له الاكار بنسبة 2 % بعد ذلك عقم بجهاز المؤصدة بدرجة 121 م ولمدة 15 دقيقة (Jyothi *et al.*,2012).

### 4.2.2.3 وسط اكار اليوريا Urea Agar Media

حضر هذا الوسط بأذابة 2.5 غم من وسط اليوريا في 95ملييلتر من الماء المقطر ثم عقم بالمؤصدة بعدها برد الى درجة حرارة 45 م واضيف إليه 5ملييلتر من محلول اليوريا المعقم بواسطة مرشحات دقيقة وصبّ فيما بعد بصورة مائلة (slant) بأنابيب معقمة وذات اغطية محكمة وحفظ في درجة حرارة 4 م لحين استعماله .استعمل هذا الوسط في التحري عن قابلية البكتريا في إنتاج انزيم اليوريز (Forbes *et al.*, 2007).

### 5.2.2.3 وسط اكار الحركة Motility Agar Media

حُضر وسط المرق المغذي (Nutrient broth) بحسب تعليمات الشركة المصنعة وأضيف عليه 0.5% أكار ليعطي وسطاً شبه صلب ثم عقم بالمؤصدة ، وترك ليبرد وقبل أن يتجمد وزع في انابيب نظيفة ومعقمة (Macfaddin, 2000) .

### 3.2.3 تحضير الكواشف Preparation of Reagents

#### 1.3.2.3 كاشف الاوكسيداز Oxidase Reagent

حضر بأذابة 1غم من كاشف  $\text{N,N,N,N-Tetra methyle -p- phenylene diamine}$  في 100ملييلتر من الماء المقطر ووضع الكاشف في قنينة معقمة واستعمل هذا الكاشف في التحري عن قدرة البكتريا على إنتاج انزيم الاوكسيداز (Macfaddin, 2000) .

**2.3.2.3 كاشف الكاتاليز Catalase reagent**

حضر بإضافة 21 مللتر من مادة بيروكسيد الهيدروجين H<sub>2</sub>O<sub>2</sub> بتركيز 70% الى 50 مللتر من الماء المقطر ومن ثم اكمل الحجم الى 100 مللتر للحصول على تركيز نهائي 3% بعدها حفظ الكاشف في قنينة معقمة ،استعمل في معرفة قدرة البكتريا على انتاج انزيم الكاتاليز (Macfaddin,2000).

**3.3.2.3 كاشف المثيل الاحمر Methyred Reagents**

حضر بإذابة 0.1 غم من صبغة احمر المثيل Azo methyl red في 300 مللتر من الكحول الايثيلي بتركيز 95% بعدها اضيف اليه 200 مللتر من الماء المقطر ثم حفظ الكاشف في قنينة معقمة بدرجة 4م ويستعمل للتحري عن قدرة البكتريا على تخمير سكر الكلوكوز (Brown,2007).

**4.3.2.3 كاشف فوكس بروسكور Voges-Proskauer Rergents**

يتألف هذا الكاشف من محلولين هما:

**المحلول الاول :** هيدروكسيد البوتاسيوم KOH 40% والذي حضر بإذابة 40 غم من هيدروكسيد البوتاسيوم في 100 مليلتر من الماء المقطر

**المحلول الثاني :** الفا نفتول 5% والذي تم تحضيره بإذابة 5 غم من الفا نفتول في 100 مليلتر من الكحول الايثيلي (Forbes et al .,2007)

**5.3.2.3 كاشف كوفاكس Kovacs Reagent**

استعمل في اختبار الاندول ،اذ حضر بإذابة 5 غم من مادة para-dimethyl aminobenzaldehyde في 75 مليلتر من كحول الايزوبروبيل وذلك باستعمال حمام مائي بعدها اكمل الحجم الى 100 مليلتر من HCL ليصبح الكاشف ذا لون اصفر شاحب ، ومن ثم حفظ الكاشف بقنينة معقمة في الثلاجة (Harley &Prescott,1996).

**4.2.3 تحضير المحاليل Preparation of Solution****1.4.2.3 المحلول الملحي الفسلجي Normal Saline Solution**

استعمل هذا المحلول في تخفيف العالق البكتيري، وحضر بإذابة 0.85 غم من كلوريد الصوديوم في 90 مل من الماء المقطر ومن ثم اكمل الحجم الى 100 مل بالماء المقطر بعدها عقم بالمؤصدة ثم حفظ في الثلاجة في درجة 4 م° لحين الاستعمال (Macfaddin,2000).

**2.4.2.3 دارئ ( TBE ) Tris base-Boric acid-EDTA**

حضر بإذابة 54 غم من Tris base و 27.5 غم من حامض البوريك Boric acid في 20 مل من محلول EDTA تركيزه 0.5 مولاري ثم يضاف 900 مل من الماء المقطر ليكمل الحجم الى 1 لتر وضبط pH الى 8 وعقم بالمؤصدة وحفظ في الثلاجة بدرجة 4 م° لحين استعماله في الترحيل الكهربائي (Sambrook & Russel,2001).

**3.4.2.3 محلول صبغة بروميد الاثيديوم Ethidium bromide**

حضر بأذابة 0.05 غم من صبغة بروميد الاثيديوم في 9 مل من الماء المقطر بعدها اكمل الحجم الى 10 مل بالماء المقطر للحصول على تركيز نهائي 5 ملغم /مل ومن ثم حفظ المحلول بدرجة حرارة 4 م° بالظلام لحين الأستعمال (Sambrook & Russel,2001).

**4.4.2.3 محلول EDTA (Ethylene diamine tetra acetic acid)**

حضر المحلول بأذابة 18.6 غم من مادة EDTA في 100 مل من الماء المقطر وعدل الأس الهيدروجيني الى 8 باستعمال مادة هيدروكسيد الصوديوم NaOH وعقم بالمؤصدة (Bhalerao *et al*.,2010).

**5.2.3 جمع العينات Collection of Samples**

جمعت خلال الدراسة 200 عينة من مصادر مختلفة في مدينة الديوانية شملت تربة نصب المولدات ، تربة محال تبديل الدهن ، تربة معمل المطاط ، بعض مياه الميازل توزعت بواقع 50 عينة لكل محطة جمع ، جمعت عينات التربة في أكياس بلاستيكية معقمة وبوزن 1 كغم لكل محطة ، اما عينات ماء البزل فجمعت في قنّان زجاجية معقمة وبحجم 1 لتر لكل عينة ، ونقلت العينات بأسرع وقت

الى مختبر بحوث الأحياء المجهرية في قسم علوم الحياة ، كلية التربية جامعة القادسية واجريت عليها الاختبارات المطلوبة في اليوم نفسه .

### 6.2.3 زرع العينات Cultivation of Samples

اختلفت آلية الزرع بحسب طبيعة ومصدر العينات ، بالنسبة لعينات التربة لقمح 1 غم من التربة في 50 مل من وسط الاملاح المعدنية السائل Minimal Salt Medium والمحضر على وفق الفقرة (2.2.2.3) والحاوي على 1% نפט خام Crude Oil كمصدر وحيد للكربون والطاقة اما عينات الماء فقد لقمح 1 مل من العينة في 50 مل من وسط الاملاح المعدنية وحضنت الدوارق في حاضنة هزازة Shaking incubator بسرعة 180 دورة في الدقيقة وبدرجة حرارة 37 م لمدة 7 ايام بعدها نشر 0.1 مل من وسط الاملاح المعدنية الذي زرعت فيه العينات وأظهر نمواً جرثومياً على اطباق من وسطي Blood agar و Macconkey agar وذلك بعد ان تم اجراء سلسلة من التخفيف المناسبة باستعمال المحلول الفسلجي (ثمانية تخفيف ) اذ نقل 1 مل من المزروع البكتيري الى انبوبة تحتوي 9 مل من المحلول الملحي الفسلجي بعدها ينقل 1 مل من اول تخفيف الى الانبوبة الثانية وهكذا وصولاً الى التخفيف الثامن .ومن ثمَّ حضنت الاطباق بدرجة 37 م ° ولمدة 24 ساعة وفيما بعد تم انتقاء المستعمرات المختلفة مظهرها وخططت على أطباق من الوسط نفسه (Liu *et al* .,2011).

### 7.2.3 العزل والتشخيص Isolation and Identification

أعيد زرع العزلات البكتيرية الغير مشخصة على كل من وسط اكار الماكونكي MacConkey agar ، وسط الايوسين أزرق المثلين Eosin methylene blue ، والوسط الانتخابي لبكتريا السيدوموناس Citrimide agar ، ووسط اكار ملح المانيتول Mannitol Salt agar ، ووسط الدم Blood agar بطريقة التخطيط وحضنت الاطباق لمدة 24 ساعة بدرجة حرارة 37 م.

### 1.7.2.3 التشخيص الزراعي Cultural Diagnosis

درست الصفات المظهرية للمستعمرات البكتيرية المعزولة بعد أن تم تنميتها على أوساط زرعيه مختلفة وتضمنت دراسة كل من الشكل والحجم والحافات والارتفاعات للمستعمرات .

### 2.7.2.3 التشخيص المجهرى Microscopical Diagnosis

اخذت مستعمرة مفردة نقية نامية على وسط الاكار المغذي Nutrient agar بواسطة عروة ناقل معقم وتم وضعها على شريحة زجاجية مع بضع قطرات من الماء المعقم ومن ثم فرشت الخلايا وتركت حتى تجف وثبتت بأمرارها على اللهب ثلاث مرات وبصورة سريعة وصبغت بصبغة كرام وفحصت تحت العدسة الزيتية لملاحظة الشكل والترتيب الخلوي وطبيعة تفاعل البكتريا مع الصبغة (Brown,2007).

### 3.7.2.3 الاختبارات الكيموحيوية Biochemical Test

اجريت هذه الاختبارات على وفق الطريقة التي اوردها (Goldman & Lorrence,2009)

#### 1.3.7.2.3 فحص الاوكسيدز Oxidase Test

نقلت مستعمرة مفردة نامية بعمر 18 ساعة من على وسط الاكار المغذي ووضعت على ورقة ترشيح بعدها اضيفت اليها قطرة من كاشف الاوكسيدز فعند تكون لوناً بنفسجياً خلال 5-10 ثواني فهو دليل على ايجابية الفحص اما عدم ظهور اللون البنفسجي او ظهوره بمرحلة متأخرة فيدل على سلبية الاختبار .

#### 2.3.7.2.3 فحص الكاتاليز Catalase Test

نقل جزء من مستعمرة منماة لمدة 24 ساعة بواسطة عود خشبي معقم الى شريحة زجاجية نظيفة بعدها اضيفت اليه قطرة من محلول كاشف بيروكسيد الهيدروجين  $H_2O_2$  3 % فظهور فقاعات غازية هو دليل على ايجابية الفحص ، استعمل هذا الفحص للتحري عن قابلية العزلة على انتاج انزيم الكاتاليز الذي يعمل على تحفيز تحرر الهيدروجين من بيروكسيد الهيدروجين .

#### 3.3.7.2.3 اختبار المثيل الاحمر Methyl Red Test

استعمل هذا الاختبار للتحري عن قابلية البكتريا على انتاج كميات كبيرة من حامض الفورميك او اللاكتيك نتيجة لأيض الكلوكوز اذ لقيح وسط (MR-VP) بمستعمرات البكتريا وحضنت مدة 18-24 وبدرجة حرارة 37 م وبعد ذلك اضيف الى الوسط 5 قطرات من كاشف المثيل الاحمر فعند تغير لون الوسط الى الأحمر فهذا دليل على ايجابية الفحص .

**4.3.7.2.3 اختبار استهلاك السترات Citrate Utilization Test**

استعمل هذا الاختبار للتحري عن قدرة العزلة البكتيرية على استهلاك السترات كمصدر للكربون والطاقة وعلى استهلاك أملاح الأمونيوم كمصدر للنتروجين ،اذ لقت الانابيب المحتوية على وسط سيمون ستريت بالعزلة البكتيرية وحضنت في درجة حرارة 37م° ولمدة 24 ساعة عند تحول لون الوسط من الاخضر الى الازرق فهو دليل على النتيجة الموجبة .

**5.3.7.2.3 اختبار فوكس بروسكور Voges –Proskauer**

لقح الوسط (MR-VP medium) بالعزلة البكتيرية وحضن بعدها بدرجة حرارة 37م° ولمدة 24 ساعة بعدها اضيف 4 % من المحلول الاول هيدروكسيد البوتاسيوم KOH و 5 % من المحلول الثاني الفانفتول الى الوسط مع الرجّ فتغير لون الوسط خلال 5-15 دقائق الى اللون الاحمر دليل على ايجابية الفحص اما تكون اللون الاصفر فيدل على سلبية الكشف ويجرى هذا الفحص لمعرفة قابلية العزلة البكتيرية على تكوين الاسيتون نتيجة لتخمير السكريات .

**6.3.7.2.3 فحص قابلية البكتريا على الحركة Motility Test**

لقح وسط الحركة بالبكتريا على شكل طعنة (stab ) ومن ثم حضن لمدة 18-24 ساعة وبدرجة حرارة 37 م° ان انتشار النمو حول مكان الطعنة يكون دليلاً على حركة البكتريا اما اذا اقتصر النمو في مكان الطعنة فقط فهذا يعني ان البكتريا غير متحركة .

**7.3.7.2.3 فحص الاندول Indol Test**

اجري هذا الفحص من خلال تنمية البكتريا في وسط ماء البيتون وحضنت لمدة 18-24 ساعة وبدرجة 37 م° بعدها اضيف 1-2 قطرة من كاشف Kovacs Indol فظهور حلقة وردية او حمراء فهذا دليل على وجود انزيم Tryptophanase ، اما ظهور حلقة صفراء فهذا يعني ان هذا النوع من البكتريا لاتفرز الانزيم المذكور ، الغرض من هذا الاختبار هو التحري عن البكتريا التي تفرز انزيم Tryptophanase الذي يعمل على تحليل الحامض الاميني التربتوفان Tryptophan الى حامض البايروفيك Pyruvic acid والامونيا NH3 والاندول.



**8.3.7.2.3 اختبار انزيم اليوريز Urease Test**

زرعت العزلة البكتيرية على وسط اليوريا المائل وحضنت عند درجة حرارة 37 م° ولمدة 24 ساعة فعند تغير لون الوسط من الاصفر الى الوردي فهذا يدل على ان العزلة البكتيرية تنتج انزيم اليوريز الذي يعمل على تحليل اليوريا الى امونيا NH<sub>3</sub> وغاز ثاني اوكسيد الكربون CO<sub>2</sub> وماء H<sub>2</sub>O ويرجع تحول لون الوسط من الاصفر إلى الوردي نتيجة لوجود الامونيا NH<sub>3</sub> .

**9.3.7.2.3 اختبار تحلل الدم Hemolysis Test**

اجري هذا الاختبار من خلال تلقیح وسط الدم الصلب Blood agar بمستعمرة فتية بعمر 18-24 ساعة بعدها حضنت الاطباق عند درجة حرارة 37 م° لمدة 24 ساعة فظهور مناطق شفافة حول المستعمرات هو دليل على قابلية البكتريا على تحلل الدم (Greenwood et al.,2012).

**4.7.2.3 تشخيص بنظام API20**

أجري اختبار Analytical Profile Index وهو نظام تشخيص دقيق في تصنيف البكتريا اجري للتأكد من دقة تشخيص العزلات البكتيرية ، يتضمن هذا النظام شريطاً يضم عشرين انبوباً دقيقاً تحتوي بداخلها مواد اساس منزوع منها الماء تستعمل حجرات للتفاعل وتتم إضافة الزيت لبعض الحفر لتوفير الظروف اللاهوائية ويتم حضن الشريط عند درجة حرارة 37م° لمدة 24 ساعة وبعد إضافة الكواشف الى انابيب معينة ، تعطي نتائج الفحص رقماً مكوناً من سبعة اعداد من خلاله نستطيع تعيين نتائج التصنيف بالاعتماد على جدول قياسي (Benson,2002).

**8.2.3 حفظ العزلات البكتيرية Maintenance of Bacteria Isolates****A- الحفظ قصير الامد Short Term Maintenance**

حفظت العزلات البكتيرية المشخصة وذلك بتلقیح وسط الاكار المغذي وحضنه في درجة 37م° ولمدة 24 ساعة بعدها حفظت في درجة حرارة 4 م° وجددت اعادة زراعة العزلات بشكل دوري شهرياً وذلك لتجديد حيويتها ولتجنب حدوث التلوث (Thomas,2007).

**B- الحفظ طويل الامد Long Term Maintenance**

لحفظ العزلات البكتيرية لفترة طويلة تم استعمال وسط نقيع القلب والدماغ السائل Brain heart infusion broth وأضيف اليه 15 % من الكليسرول Glycerol بعد ذلك لقت الانابيب المحتوية على 5 مل من الوسط بالمزروع البكتيري ومن ثم احيطت سدادة الانابيب بواسطة شريط شمعي لاصق (parafilm) وحفظت بدرجة -20 م° (Stukus,1997).

**9.2.3 اختبار قابلية العزلات البكتيرية على تفكيك الهيدروكربونات النفطية****Testing The Ability of Isolates for Degradation of Oil Hydrocarbons**

تمّ الاعتماد على متغيرات عديدة لتمييز قدرة العزلات البكتيرية على تفكيك الهيدروكربونات النفطية وذلك من خلال قياس كل من الكثافة الضوئية والتوصيلية الكهربائية (Sepahi *et al* .,2008) اذ تضمنت هذه الطريقة :

**اولاً: تحضير اللقاح البكتيري Preparation of Bacterial Inoculums**

نقلت 2-3 مستعمرات نامية على طبق الاكار المغذي الى انبوبة معقمة محتوية على 5مل من محلول ملحي فسلجي ثم رجّت الأنبوبة جيداً للحصول على عالق بكتيري متجانس ، بعدها اخذ 2 مل من هذا العالق الجرثومي و لقع به كل ورق من الدوارق التي تحتوي 150 مل من وسط الاملاح المعدنية و نطف خام بنسبة 1 % باعتباراه مصدراً وحيداً للكربون والطاقة .

**ثانياً: قابلية العزلات الجرثومية على تفكيك الهيدروكربونات النفطية في الوسط السائل**

استعملت دوارق سعة 250 مل ووزع فيها وسط الاملاح المعدنية بمقدار 150 مل بعدها اضيف النفط الخام بنسبة 1 % كمصدر وحيد للكربون والطاقة وضبط الاس الهيدروجيني للوسط عند 7.2 ومن ثم لقع كل ورق بالعالق البكتيري (2 مل) وبثلاثة مكررات لكل عزلة اما نموذج السيطرة فتم تحضيره باستعمال وسط الاملاح مع إضافة النفط الخام من دون اضافة اللقاح البكتيري اليه ، ثم حضنت الدوارق في الحاضنة الهزازة shaking incubator بسرعة 120 دورة في الدقيقة وبدرجة حرارة 37 م° لمدة ستة اسابيع وسجلت القراءات اسبوعياً لراشح المزرعة البكتيرية وتضمنت القياسات كل من

-تقدير الكثافة الضوئية **Estimate the Optical Density** باستعمال جهاز المطياف الضوئي لقياس النمو بدلالة الكثافة الضوئية وعلى طول موجي مقداره (600nm).

وقياس التوصيلية الكهربائية **Electrical Conductivity** اعتماداً على قياس التغيرات الحاصلة في التوصيلية الكهربائية للوسط الملقح بالبكتريا بوحدات mc/cm (Sepahi et al.,2008)

ثالثاً: درست قابلية العزلات البكتيرية في تفكيك المركبات الهيدروكاربونية النفطية في الوسط الصلب واستهلاكها كمصدر وحيد للكربون والطاقة ، اذ لقت أطباق وسط الأملاح المعدنية الصلب المضاف اليها 1 % نפט خام الذي تم تحضيره في الفقرة ( 3.2.2.3 ) بلقاح العزلات الجرثومية المشخصة وحضنت الأطباق لمدة سبعة أيام بدرجة حرارة 37 م° .

### 3.3 تفاعل البلمرة المتسلسل (PCR) Polymerase Chain Reaction

اجري هذا التفاعل للكشف عن جين Catechol 2,3 dioxygenase gene الذي له دور مهم في تحلل المركبات الهيدروكاربونية الاروماتية باستعمال بادئ جين المستعمل في الدراسة Catechol 2,3 dioxygenase gene والمصمم ببرنامج تصميم البادئات .

### 1.3.3 استخراج الدنا الكلي Extraction of DNA

استخلص الدنا الكلي لكل من بكتريا *P.fluorescens*, *S.aureus*, *E.coli* وذلك باستعمال عدة استخلاص Wizard Genomic Extraction Kit المنتجة من قبل شركة (Geneaid- Thailand) وذلك لاستعمالها في تفاعل البلمرة المتسلسل طبقاً للتعليمات المرفقة مع عدة الاستخلاص .

1-نقل 1 مليلتر من المزروع البكتري الذي تمّ تنميته بعمر 24 ساعة على وسط Brain Heart Infusion Broth الى انابيب ابندروف سعة 1.5 مل بعدها رسبت الخلايا البكتيرية بجهاز الطرد المركزي بسرعة 14000-16000 دورة / دقيقة ولمدة دقيقة كاملة ومن ثم سحب العالق بواسطة ماصّة وترك الراسب .

2-اضيف 200 مايكرو لتر من دارىء GT ومزجت المحتويات بصورة جيدة بواسطة مازج لمدة خمس ثوانٍ.

3-حضن المزيج بدرجة حرارة الغرفة لمدة 10 دقائق مع التقليب المستمر للانايبب خلال مدة الحضن وذلك لضمان التحلل الكامل للخلايا في المزيج ومن ثم ترك المزيج ليبرد .

- 4- اضيف 200 مايكرو لتر من دارى GB ومزجت المحتويات جيداً لمدة 10 ثوانٍ بواسطة المازج ومن ثم حضنت الانابيب بدرجة 70 م بحمام مائي لمدة 10 دقائق وترج الانابيب ثلاث مرات في اثناء مدة الحضانة ( كل 3دقائق ) حتى يصبح المحلول رائقاً.
- 5- اضيف 200 مايكرو لتر من الايثانول المطلق Absolute ethanol 99% ثم خلط المزيج بقوة .
- 6- تم وضع عامود GD filter colum في انبوبة الجمع Collection tube سعته 2مل ونقل له جميع الخليط .
- 7- نبذت الانابيب مركزياً بسرعة 14000-16000 دورة / دقيقة لمدة دقيقتين بعد ذلك تم نقل المحتويات الى انابيب جمع جديدة (اهملت انابيب الجمع ونقلت الفلاتر الى انابيب جمع جديدة ).
- 8- اضيف 400 مايكرو لتر من دارى W1 الى عمود GD.
- 9- طردت الانابيب مركزياً بسرعة 16000 دورة /دقيقة لمدة 30 ثانية بعدها وضع GD في انابيب جمع ( تهمل انابيب الجمع وتنقل الى انابيب جديدة ).
- 10- اضيف 600 مايكرو لتر من دارى Wash buffer الى عمود GD للتخلص من الدهون داخل العمود ثم وضعت الانابيب في جهاز الطرد المركزي بسرعة 16000 دروة / دقيقة لمدة 30 ثانية .
- 11- تم التخلص من الراسب ومن ثم اعيد الى جهاز الطرد المركزي لمدة 3 دقائق بسرعة 16000 دورة /دقيقة وذلك لتجفيف العمود .
- 12- تم نقل الاعمدة الحاوية على الحامض النووي الى انابيب ابندروف معقمة ومن ثم اضيف 100 مايكرو لتر من دارى الازابة Elution Buffer المسخن مسبقاً يضاف الى مركز الانبوبة وترك لمدة 5 دقائق لكي يتشرب ثم طردت مركزياً بسرعة 16000 دورة /دقيقة لمدة 30 ثانية .
- 13- يحفظ بعد ذلك بدرجة - 20 م لحين إجراء فحص تفاعل سلسلة انزيم البلمرة.

### 2.3.3 تقدير نقاوة وتركيز الدنا Estimation Purity and Concentration of DNA

استعمل جهاز المطياف الضوئي DNA-RNA spectrophotometer لقياس تركيز ونقاوة الحامض النووي DNA اذ تم اضافة 1 مايكرو لتر من DNA المستخلص الى الجهاز لتقدير التركيز بالنانوكرام /مايكرو لتر (ng/μl) اما بالنسبة للنقاوة فقدرت من خلال الامتصاصية (OD) عند الطولين

الموجيين 260 / 280 نانومتر ، والغرض من هذا القياس هو تحديد فيما اذا كانت العينة ملوثة بالحمض النووي الرايبوسومي RNA او البروتينات ، وان الامتصاصية المقبولة على الطولين الموجيين 260 / 280 لتركيز DNA النقي تكون 1.8-2 نانومتر كما في الخطوات الآتية :

- 1- تشغيل جهاز مطياف القطرة النانوية ومن ثم اختيار برنامج قياس الحامض النووي نوع DNA.
- 2- تصفير ركيزة المقياس وذلك من خلال سحب 2 مايكرو لتر من Free Nuclease Water باستعمال مايكروبايبيت معقمة ، وتوضع على سطح ركيزة المقياس و اجراء التصفير ثم تنظف الركيزة باستعمال ورق نشاف .
- 3- أخذ 1 مايكرو لتر من DNA المستخلص لكل عينة ووضع على ركيزة المقياس ومن ثم يشغل الجهاز وتقرأ النتيجة ثم تنظف الركيزة لقياس العينة التالية (Sambrook&Russel,2001).

### 3.3.3 تحضير مزيج سلسلة تفاعل البلمرة PCR Master Mixture

حُضر مزيج الـ PCR بحسب تعليمات الشركة المصنعة وذلك باستعمال العدة Accupower® PCR PreMix المذكورة في جدول العدد المختبرية (7-3) وكالاتي :

1-حضر مزيج تفاعل الـ PCR في الانابيب الموجودة في العدة القياسية والتي تضم جميع المكونات اللازمة لإجراء التفاعل اضافة الى مكونات الجدول (8-3)

جدول (8-3) المكونات اللازمة للتفاعل PCR للجين المشفر لأنزيم Catechol 2,3 dioxygenase المستعمل في الدراسة

PCR Master Mix	Volume (µL)	Concentration
DNA template	2.5	5-50ng/µl
Forward primer	1	10pmol
Reveres primer	1	10pmol
Taq DNA Polymerase	1	1U
dNTPs	2	250 µM
PCR water	12.5	1x
Total volume	20	—

2-تمزج جميع مكونات انابيب التفاعل لمدة ٥ توائاً بواسطة جهاز الطرد المركزي.

3-توضع انابيب التفاعل في جهاز المضخم الحراري (PCR Thermo cycler) وذلك لإجراء عملية تضخيم ال DNA (DNA Implification) تبعاً للظروف المثلى للدورات الحرارية للتفاعل لبكتريا *S.aureus*, *E.coli*, *P.fluorescens* والتي تتمثل بعمليات فصل الشريط DNA Denaturation ومن ثم ارتباط البادئات مع الشريط المنفصل Annealing وتطويل السلسلة Extension DNA

### 4.3.3 برمجة جهاز الدورات الحرارية Thermocycler PCR Programing

استعمل جهاز Thermocycler PCR لإجراء تفاعل البلمرة المتسلسل باستعمال برنامج Optimase Protocol Writer وتمت برمجة الجهاز كما في الجدول (9-3)

جدول (9-3) برنامج تفاعل البلمرة المتسلسل المستعمل لتضخيم الجين المشفر لأنزيم Catechol 2,3 dioxygenase

PCR step	Temperature (C°)	Time	Repeat
Initial Denaturation	95	2min	1
Denaturation	95	30Sec	30Cycle
Annealing	59.3	30Sec	
Extension	72	60Sec	
Final extension	72	5min	1
Hold	4	over night	—

**5.3.3 الترحيل الكهربائي الهلامي Agarose Gel Electrophoresis**

حضر هلام الاكاروز بحسب طريقة Lee وجماعته (2012) وكالاتي :

1-حضر الاكاروز بتركيز 1 % لترحيل نواتج ال PCR فيما حضر بتركيز 0.8 % لترحيل الدنا وذلك باستعمال دوارق زجاجية مقاومة للحرارة Erlenmeyer flask ثم أضيف المحلول المنظم ( TBE buffer) بتركيز (0.5X) الى هلام الاكاروز ومزج جيداً وذلك من خلال تدوير الدورق.

2-ذوب الاكاروز مع المحلول المنظم بالتسخين في الصفيحة الحرارية الهزازة الممغنطة لمدة 30 دقيقة بعدها يخرج الدورق من الصفيحة ثم يهزّ حتى تمزج محتوياته جيداً وتكرّر هذه العملية لحين ذوبان الاكاروز بشكل كامل .

3- ترك الهلام ليبرد بدرجة حرارة الغرفة ثم أضيفت صبغة بروميد الاثيديوم (Ethidium Bromide) الى المزيج ليصبح التركيز النهائي في هلام الاكاروز 0.5 مايكروكرام / مليلتر.

4- صب الهلام في القالب Tray وذلك بعد غلق حافتي القالب ووضع المشط Comb المكون للحفر في حافة القالب ثم يترك ليتصلب بدرجة حرارة الغرفة لمدة 30 دقيقة بعد التصلب يتم إزالة المشط وتفتح فتحتا القالب ويوضع الهلام في حوض الترحيل الكهربائي.

5- اضيفت صبغة التحميل الى نماذج DNA المراد فصلها وذلك بواقع إضافة جزء واحد من هذه الصبغة الى كل خمسة أجزاء من DNA ، اذ تعمل هذه الصبغة على جعل حزم DNA مرئية كما تنقل ال DNA في حفر الهلام .

6- استعمل سلم القياس DNA Ladder ( Sizer TM-100 DNA Marker Solution ) بحجم (100-1500) زوج قاعدي وذلك لقياس حجم ال DNA المضمخ .

7- اضيف محلول TBE buffer بتركيز 0.5X الى هلام الاكاروز وبعد ذلك يتم غلق غطاء الترحيل الكهربائي ثم توصل اقطاب حوض الترحيل بمجهز الطاقة بعدها يشغل جهاز الترحيل باستعمال تيار 100 فولت لمدة ساعة كاملة.

8- بعد انتهاء عملية الترحيل يتم فحص هلام الاكاروز الذي يحتوي على ناتج PCR وذلك باستعمال مصدر الاشعة فوق البنفسجية U.V Light Source لتحديد الحزم وقياس الأوزان الجزيئية عند مقارنتها بالقيم القياسية للدنا القياسي DNA Marker.

### 4.3 طريقة تحليل التسلسل التتابعي للجين المشفر لأنزيم catechol 2,3 dioxygenase

#### catechol 2,3 dioxygenase sequencer method

تمّ إجراء طريقة تسلسل الحمض النووي وذلك للتحري عن وجود علاقة وراثية للجين المشفر لأنزيم catechol 2,3 dioxygenase في عزلات جرثومة *Escherichia coli* و *Staphylococcus aureus* و *Pseudomonas fluorescens* وذلك من خلال مقارنتها مع السلالات المسجلة عالميا في موقع NCBI-Genbank . إذ تم إجراء الاختبار وذلك بعد الحصول على نتائج تفاعل PCR للجين المشفر لأنزيم catechol 2,3 dioxygenase في العزلات الثلاثة وتم ارسال نتائج تفاعل PCR الى شركة Macrogen في كوريا الجنوبية وذلك لإجراء تسلسل الحمض النووي باستعمال جهاز AB DNA sequencing system . بعد الحصول على تسلسل قواعد الجين تم تحليلها باستعمال موقع NCBI-BLAST identity وفي النهاية تم تسجيل العزلات في موقع بنك الجينات NCBI-Genbank Submission ، وكان رقم التسجيل لل *E.coli* هو MH645352 و *P.fluorescens* هو MH645354 و *S.aureus* هو MH645353.

#### 5.3 التحليل الاحصائي Statistical Analysis

تم تحليل كافة نتائج الدراسة الحالية باستعمال البرنامج الاحصائي Statistical Package Chi-square test ( of Social Sciences ) SPSS الاصدار 23 وجرى تطبيق اختبار مربع كاي واختبار تحليل التباين الثنائي Two way ANOVA مع حساب اقل فرق معنوي LSD كما جرى اعتماد فترة الثقة Confidence interval مساويا الى 95% وقيمة مستوى الاحتمالية أقل من 0.05 ( Al-Ukaelii & Al-Shaeb ,1998). (P<0.05)



الفصل الرابع  
النتائج والمناقشة

Results and Discussion

## Results and Discussion

## 4- النتائج والمناقشة

### Isolation and Diagnosis

### 1.4 العزل والتشخيص

جمعت خلال الدراسة (200) عينة من مصادر بيئية مختلفة تضمنت ( تربة مولدة، تربة محال تبديل الدهن ، تربة معمل مطاط الديوانية و مياه المبالز ) توزعت بواقع (50) عينة لكل منطقة جمع

وقد اظهرت نتائج النمو البكتيري بعد اجراء سلسلة من التخفيف على العالق البكتيري بعد ذلك نميت على وسطي الدم و الماكونكي ان (60) عينة بنسبة (30%) أظهرت نمواً موجباً للزرع البكتيري في حين أن (140) عينة بنسبة (70%) كانت سالبة اذ لم تظهر نمواً جرثومياً.

كانت منطقة العزل التي مصدر عيناتها مياه البزل هي الاعلى نسبة في عدد العزلات البكتيرية اذ بلغت (20) (33.33%) عزلة تليها تربة المولدة (16) (27%) عزلة ومن ثم تأتي تبايعاً تربة معمل المطاط الديوانية وتربة محال تبديل الدهن التي بلغت (14) (23.3%) و(10) (17%) عزلة على التوالي واطهرت النتائج الاحصائية عدم وجود اختلاف معنوي بين مناطق العزل بأعداد العزلات البكتيرية المشخصة منها عند مستوى احتمالية 0.05 كما في جدول (1-4) .

وان الهدف من استعمال احياء مجهرية معزولة من مواقع ملوثة مسبقاً بالمركبات الهيدروكاربونية انها تمتلك مستوى تكيف عالٍ لاستهلاك هكذا مركبات وبالتالي فهي تحفز عملية التحلل الحيوي للهيدروكاربونات النفطية اذ ان تواجد الاحياء المجهرية المحللة للمركبات الهيدروكاربونية في الانظمة البيئية الغير ملوثة تشكل نسبة 0.1 % تقريباً من المجتمع المايكروبي في حين تشكل نسبة 100% من المجتمع المايكروبي في حالة الانظمة البيئية الملوثة مسبقاً بالهيدروكاربونات النفطية وبالتالي فإن تكيف الاحياء المحللة للنفط إضافة الى تثبيط النفط للأحياء غير المحللة له يفسر ارتفاع نسبة الاحياء المحللة للهيدروكاربونات النفطية في هكذا مواقع (الكعبي، 2010) .

جدول (1-4) اعداد العزلات البكتيرية موزعة حسب مصدر العزل

النسبة المئوية %	عدد العزلات	مناطق العزل
33.33	20	مياه البزل
26.66	16	تربة المولدة
23.3	14	تربة معمل المطاط
16.66	10	تربة محال تبديل الدهن
100	60	المجموع
4.622*		X <sup>2</sup>
0.202		P value

\* لا توجد اختلافات معنوية بدلالة احصائية ( $p < 0.05$ )

تميزت عزلات كل من بكتريا *E.coli* , *P.fluorescens* , *S.aureus* بتواجدها في جميع محطات الدراسة و كانت عزلات *E.coli* هي الأعلى تواجداً اذ بلغ عدد عزلاتها 23 (38 %) تليها *P.fluorescenas* 15 (25 %) في حين سجلت *S.aureus* 10 (16.66 %) لكن انحصرت تواجد عزلات *Bacillus cereus* على العينات التي مصدرها تربة كل من المولدات ومحال تبديل الدهن ومعمل المطاط وبنسبة تواجد 5 (8.33 %) في حين انحصرت تواجد عزلات *Acinetobacter baumannii* على العينات التي مصدرها تربة كل من المولدة ومعمل المطاط وبنسبة 3 (5 %) اما كل من بكتريا *Klebsiella pneumoniae* و *Proteus mirabilis* فأنحصرت تواجدهما فقط في العينات التي مصدرها مياه البزل اذ سجلنا النسبة 3 (5 %) و 1 (1.6 %) على التوالي لذلك تركزت هذه الدراسة على الانواع البكتيرية *E.coli* , *P.fluorescens* , *S.aureus* كونها اظهرت تحلاً تاماً للنفط الخام وكانت الانواع الاكثر تكرراً في جميع العينات البيئية وأظهرت النتائج الاحصائية وجود اختلاف معنوي بين اعداد العزلات البكتيرية المشخصة وتواجدها عند مستوى احتمالية 0.05 كما في الجدول (2-4) وجاءت نتائج العزل هذه قريبة مع نتائج البوغازي (2015) في عدد عزلات *P.fluorescens* فقد كانت عزلاتها 12 عزلة في حين اختلفت معها في عدد عزلات *S.aureus* الذي بلغت (3) عزلات و *Bacillus* (19) عزلة، كما كانت قريبة ايضاً من نتائج العبيدي (2004) فكانت عزلة واحدة لكل من

في حين اختلفت معها في عدد عزلات *Bacillus* و *Acinetobacter* و *P.fluorescens* و *S.aureus* إذ بلغ عدد عزلتهما (2) و (7) على التوالي .

جدول (4-2) عدد ونسب العزلات البكتيرية المشخصة وتواجدها في مناطق العزل

النسبة المئوية %	عدد العزلات	مناطق الجمع	البكتريا
38.33	23	مياه البزل ، تربة المولدرات و تربة معمل مطاط الديوانية وتربة محال الدهن	<i>Escherichia coli</i>
25	15	مياه البزل ، تربة المولدرات و تربة معمل مطاط الديوانية وتربة محال الدهن	<i>Pseudomonas fluorescens</i>
16.66	10	مياه البزل ، تربة المولدرات و تربة معمل مطاط الديوانية وتربة محال الدهن	<i>Staphylococcus aureus</i>
8.33	5	تربة المولدرات وتربة معمل مطاط الديوانية وتربة محال الدهن	<i>Bacillus cereus</i>
5	3	مياه البزل	<i>Klebsiella pneumoniae</i>
5	3	تربة المولدرات وتربة معمل مطاط الديوانية	<i>Acinetobacter baumannii</i>
1.6	1	مياه البزل	<i>Proteus mirabilis</i>
	60		المجموع
		52.228*	X <sup>2</sup>
		0	P value

\* توجد اختلافات معنوية بدلالة احصائية (  $p < 0.05$  )

وأظهرت نتائج التشخيص ان العزلات كانت معظمها تعود الى البكتريا السالبة لصبغة كرام إذ شكلت نسبة (75%) في حين كانت عدد العزلات الموجبة لصبغة كرام (25%) وتتفق هذه الدراسة مع الكثير من الدراسات التي توصل اليها الباحثون في ان البكتريا السالبة لصبغة كرام تكون هي الاكثر سيادة في تحلل الهيدروكربونات النفطية(العبيدي 2004; 2003, Nweke&Okpokwasili) يمكن تفسير السيادة للأنواع السالبة لصبغة كرام انها تحتوي على غلاف خارجي outer membrane الذي يقوم بحمايتها من المؤثرات الخارجية عن طريق تقليل النفاذية لأنواع مختلفة من الجزيئات كما يحتوي هذا الغلاف على الدهون التي تساعد في الحصول على اكبر قدر ممكن من المركبات الهيدروكربونية

من البيئة المتواحدة فيها فضلاً عن امتلاكها نظام انزيمي فعال في استهلاك المواد المعقدة (Budziniski *et al.*,2000).

ويبين الجدول (3-4) توزيع العزلات البكتيرية ونسبها بحسب مصدر العزل اذ كانت العزلات التي مصدرها مياه البزل هي الاعلى اذ بلغت 20 عزلة في حين بقية مصادر العزل بلغ عدد عزلاتها (16 , 14 , 10) لتر كل من المولدة ، معمل المطاط ، محال تبديل الدهن على التوالي. وقد سجلت بكتريا *E.coli* اعلى نسبة في العينات التي مصدرها مياه البزل اذ بلغ عدد عزلاتها 11(55%) ، في حين شكلت كل من *E.coli* و *P.fluorescens* اعلى النسب للعينات التي مصدرها تربة المولدة اذ بلغت النسبة 5 (31.25%) لكل منهما . وقد حافظت هاتان الجرثومتان أيضاً على اعلى النسب للعزلات التي مصدرها تربة معمل المطاط وكانت النسبة 4 (28.57%) لكل منهما. اما العزلات التي مصدرها تربة محال تبديل الدهن فأحتلت بكتريا *P.fluorescens* النسبة الاعلى مسجلة 4 (40%) عزلة.

وأظهرت النتائج الاحصائية لجدول (3-4) وجود فرق معنوي في عدد عزلات منطقة البزل اذ كان هناك تفوق واضح لعدد عزلات بكتريا *E.coli* على العزلات الاخرى اما بالنسبة لمناطق العزل الاخرى تربة المولدة وتربة محال تبديل الدهن وتربة معمل المطاط فلا توجد فروق معنوية في اعداد العزلات البكتيرية وقد يرجع هذا الى ان الظروف البيئية المعرضة لها تلك المناطق قد تتشابه تقريباً اذ تعيش هذه العزلات على مصادر طاقة متشابهة قد تكون البنزين او الكاز او الدهون الناتجة من المحركات .

جدول (3-4) توزيع العزلات البكتيرية ونسبها بحسب مناطق العزل

P value	X <sup>2</sup>	النسبة المئوية %	العدد	البكتريا المعزولة	العدد الكلي للعزلات	منطقة العزل
0	20*	55	11	<i>Escherichia coli</i>	20	مياه البزل
		15	3	<i>Staphylococcus aureus</i>		
		10	2	<i>Pseudomonas fluorescens</i>		
		15	3	<i>Klebsiella pneumoniae</i>		
		5	1	<i>Proteus mirabilis</i>		
0.377	4.219**	31.25	5	<i>Pseudomonas fluorescens</i>	16	تربة المولدة
		31.25	5	<i>Escherichia coli</i>		
		12.5	2	<i>Staphylococcus aureus</i>		
		12.5	2	<i>Bacillus cereus</i>		
		12.5	2	<i>Acinetobacter baumannii</i>		
0.552	3.036**	28.57	4	<i>Pseudomonas fluorescens</i>	14	تربة معمل مطاط الديوانية
		28.57	4	<i>Escherichia coli</i>		
		21.42	3	<i>Staphylococcus .aureu</i>		
		14.28	2	<i>Bacillus cereus</i>		
		7.14	1	<i>Acinetobacter baumannii</i>		
0.446	2.667**	40	4	<i>Pseudomonas fluorescens</i>	10	تربة محال تبديل الدهن
		30	3	<i>Escherichia coli</i>		
		20	2	<i>Staphylococcus.aureus</i>		
		10	1	<i>Bacillus cereus</i>		
			60		60	المجموع

\* توجد اختلافات معنوية بدلالة احصائية ( $p < 0.05$ )

\*\* لا توجد اختلافات معنوية بدلالة احصائية ( $p < 0.05$ )

تم تشخيص العزلات البكتيرية اعتماداً على الفحوصات المظهرية والمجهريّة فضلاً عن الاختبارات الكيموحيوية جدول (4-4) و شكل (1-4)

ففي التشخيص الابتدائي اعتمد في هذه الدراسة على الصفات الزرعية للمستعمرات ، اذ تم زرع العينات في البداية على وسط الماكونكي الصلب اذ ظهرت عليه مستعمرات بكتريا *E.coli* صغيرة دائرية الشكل مرتفعة ذات حافة ملساء جافة ذات لون وردي نتيجة لتخمرها لسكر اللاكتوز (*Setia et al., 2009*) فيما تميزت مستعمراتها على وسط الايوسين مثل الازرق بلون براق اخضر معدني ، ايضاً ظهرت البكتريا متحركة اذ تميزت بمناطق نمو منتشر حول منطقة الطعن وعند تصبيغها بصبغة كرام ظهرت خلاياها على شكل عصيات قصيرة سالبة لصبغة كرام (Chees , 2012) اما الاختبارات الكيموحيوية فكانت موجبة لاختبار الكاتليز واحمر المثيل و انتاج حلقة الاندول وسالبة لاختبار الاوكسديز واليوريز والفوكس بروسكور واستهلاك السترات (Reddy , 2010)

اما بكتريا *P.fluorescens* فقد ظهرت مستعمراتها على وسط الماكونكي بمظهر شاحب كونها غير مخمرة لسكر اللاكتوز وتميزت بحافات مسطحة ، فيما ظهرت على وسط اكار السترومايد الذي يعد وسطاً انتخائياً لجنس *Pseudomonas* بلون أخضر مصفر نتيجة افرازها صبغة الـ *pyocyanin* في حين ظهرت خلاياها تحت المجهر على شكل عصيات سالبة لصبغة كرام متحركة حول منطقة الطعن وبالنسبة للاختبارات الكيموحيوية فقد كانت موجبة لاختبارات الاوكسديز والكاتليز واليوريز واستهلاك السترات وسالبة لاختبارات المثيل الاحمر والفوكس بروسكور (Macfaddin , 2000)

فيما ظهرت مستعمرات *S. aureus* دائرية نسبياً ومرتفعة قليلاً صفراء الى ذهبية على وسط اكار الدم وتحيط بها منطقة شفافة لكونها ذات قدرة على التحلل الكامل للدم من نوع بيتا  $\beta$  وذات لون اصفر ذهبي على وسط اكار ملح المانيتول ، وتميزت خلاياها تحت المجهر بأنها متجمعة على هيئة عناقيد غير منتظمة موجبة لصبغة كرام وغير متحركة (Bennett & Lancett, 2001) اما بالنسبة للاختبارات الكيموحيوية فكانت موجبة لاختبارات الكاتليز واليوريز والمثيل الأحمر وفوكس بروسكور وسالبة لكل من الاوكسديز والاندول و انتاج السترات.

كذلك شُخصت بكتريا *Proteus mirabilis* اعتماداً على ظاهرة الانثيال (Swarming) على وسط اكار الدم وكانت مستعمراتها ذات لون أصفر شاحب على وسط الماكونكي ، لعدم تخمرها

لسكر اللاكتوز ( De Soyza et al .,2013 ) اما *Klebsiella pneumonia* فقد تميزت على وسط الماكونكي بمستعمرات كبيرة الحجم دائرية حافاتها منتظمة وردية اللون ذات قوام مخاطي و يرجع ذلك الى امتلاكها للمحفظة ( Magesh et al ., 2011 ) في حين كان شكل مستعمرة *Bacillus cereus* منبسطة جافاً ذات لون أبيض على وسط اكار الدم وكانت خلاياها محللة للدم موجبة لصبغة كرام ذات شكل عصوي ( Nitschke & Pastore,2006 ) اما *Acinetobacter baumannii* فتميزت بمستعمرات محدبة مخاطية ذات لون ابيض كريمي ،غير محللة للدم ، اما خلاياها فكانت سالبة لصبغة كرام ذات شكل عصوي ( Antunes et al.,2014 ) .

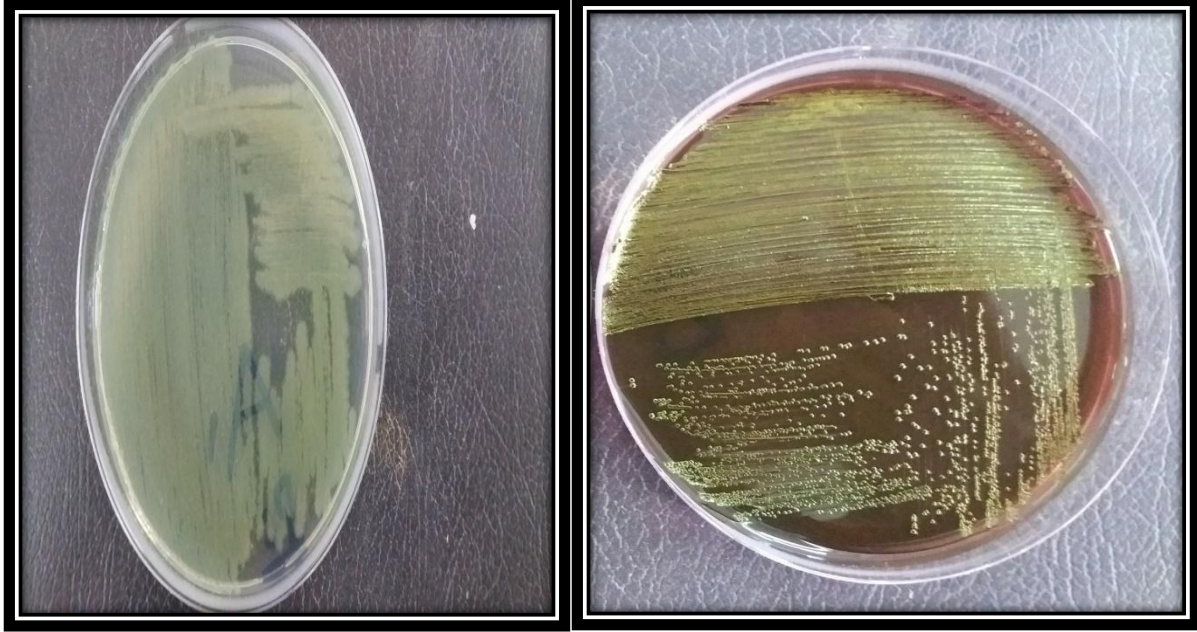
جدول(4-4) الاختبارات الكيموحيوية للعضلات البكتيرية المدروسة

اختبارات IMVC				اليورين	الحركة	الكاتليز	الاوكتديز	صبغة كرام	الاختبارات
I	MR	VP	C						العضلات
+	+	-	-	-	+	+	-	-	<i>Escherichia coli</i>
-	-	-	+	+	+	+	+	-	<i>Pseudomonas fluorescens</i>
-	+	+	-	+	-	+	-	+	<i>Staphylococcus Aureus</i>
-	-	+	+	-	-	+	-	-	<i>Klebsiella pneumonia</i>
-	+	-	+	+	+	+	-	-	<i>Proteus mirabilis</i>
-	-	+	+	-	+	+	-	+	<i>Bacillus cereus</i>
-	-	-	+	-	-	+	-	-	<i>Acinetobacter Baumannii</i>

+ : نتيجة موجبة للفحص

\_ : نتيجة سالبة للفحص





( B )

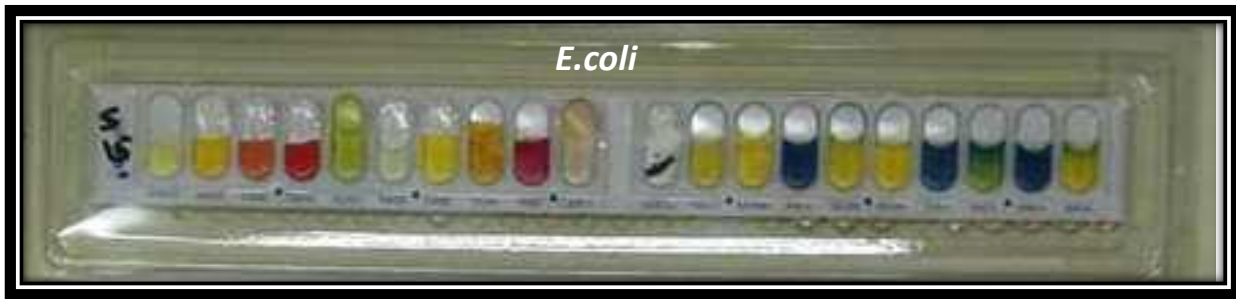
( A )



(C)

شكل (1-4) نمو البكتريا المعزولة على أوساط غذائية مختلفة : (A) بكتريا *Escherichia coli* النامية على وسط الايوسين مثل الأزرق ، (B) بكتريا *Pseudomonas fluorescens* النامية على وسط اكار السترومايد ، (C) بكتريا *Staphylococcus aureus* النامية على وسط اكار ملح المانيتول

استعمل نظام Analytic Profile Index 20 ( API 20) لتأكيد تشخيص العزلات البكتيرية ولإكمال الاختبارات الكيموحيوية المهمة ، فقد استعمل ( Api 20 E) لتشخيص كل من *Staphylococcus aureus* ,*Escherichia coli* ,*Pseudomonas fluorescens* اما بالنسبة *Staphylococcus aureus* فقد استعمل نظام ( Api 20 staph.) الخاص بتشخيص الانواع لهذا الجنس ، واكد العديد من الباحثين على اهمية استعمال هذا النظام التشخيصي لما يتميز به من سرعة ودقة في الكشف عن النوع البكتيري فضلاً عن التقليل من عملية التلوث المزرعي (Turton *et al.*,2008)



شكل (2-4) تشخيص Api 20 للعزلات البكتيرية

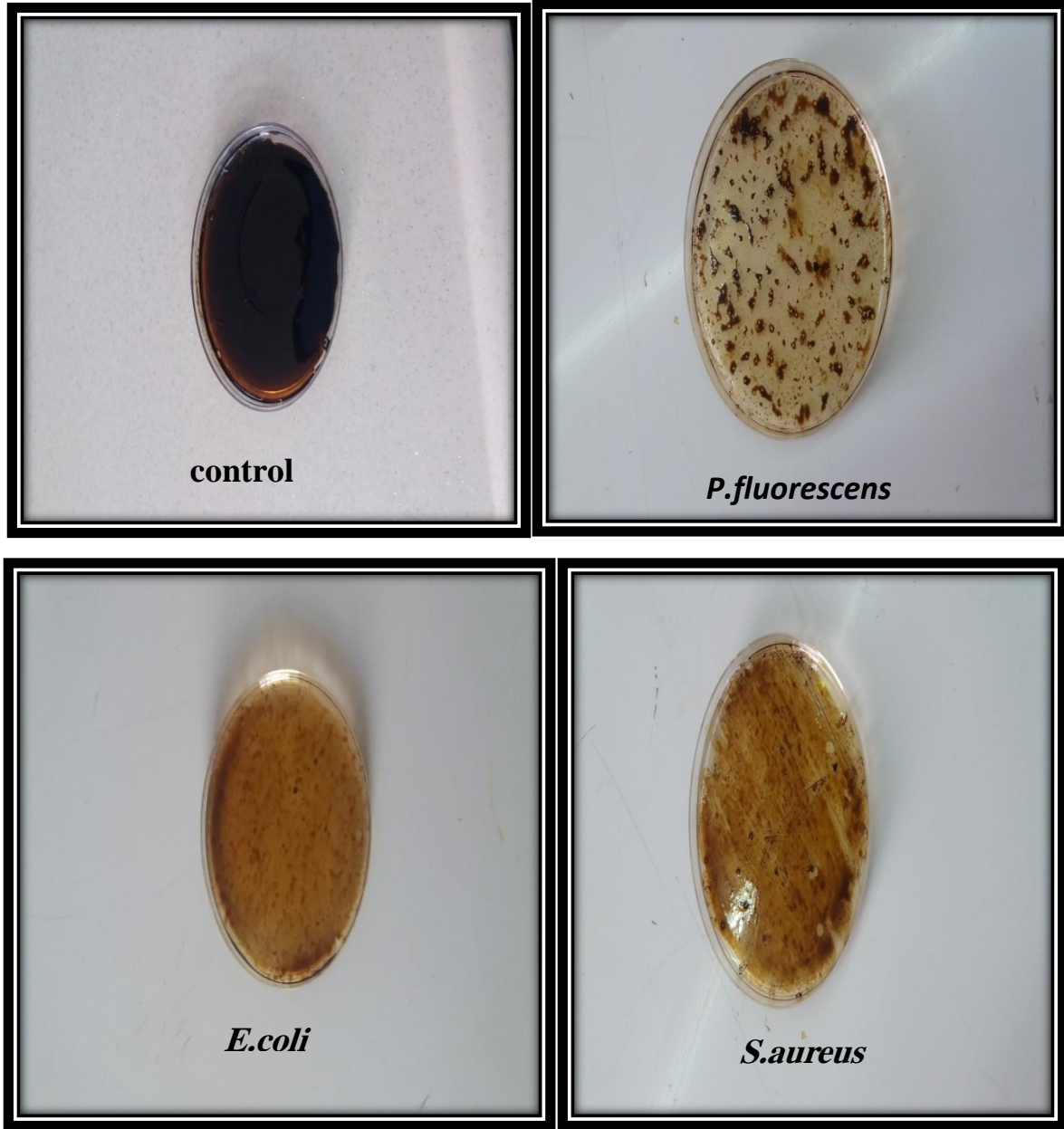
## 2.4. قدرة العزلات البكتيرية على النمو على وسط الاملاح المعدنية الصلب والمضاف اليه النفط الخام كمصدر للكربون والطاقة

أظهرت النتائج قدرة العزلات البكتيرية العائدة لكل من لبكتريا *P.fluorescens* ، *E.coli* ، *S.aureus* على تفكيك النفط الخام على وسط الاملاح المعدنية الصلب ، وكانت العزلة *P.fluorescens* رقم (12) والمعزولة من تربة المولدة من أكفا العزلات في تحليل واستهلاك النفط الخام (الشكل 4-3) تمكنت العزلات البكتيرية خلال مدة حضن اقصاها 7 ايام وبدرجة حرارة 37 م° من استهلاك النفط الخام بأعتباره مصدراً وحيداً للكربون والطاقة وجاءت هذه النتيجة مماثلة لدراسات اجريت في هذا المجال (البوغازي 2015; Sharma و Pathak، 2014).

وترجع قدرة هذه العزلات في تفكيك المركبات الهيدروكربونية الى امتلاكها مجموعة من الانزيمات التي تقوم بعملية تحليل المركبات الهيدروكربونية مثل انزيم Catechol 2,3 dioxygenase الذي يعمل على تحليل هذه المركبات ( Jyothi et al ، 1996 ; Joshi &Walia, 2012. ) اضافة الى قدرة هذه العزلات على افراز مركبات كيميائية خارج خلوية ذائبة في الماء تعمل على تقليل الشد السطحي للوسط ، تدعى المستحلبات الحياتية Biosurfactant تفرزها العزلات البكتيرية اثناء استهلاك المركبات الهيدروكربونية ( Banat ,1995 ; Eddouaouda et al ., 2012 )

كما قد ترجع قدرة هذه العزلات على تفكيك المركبات الهيدروكربونية الى احتوائها على بلازميدات تكون في أغلب الأحيان بلازميدات ايصية ذات اوزان جزيئية كبيرة تشفر لعملية التحلل الحيوي كما تكون مسؤولة عن التنظيم الجزيئي لهذه العملية وجاءت هذه النتيجة مماثلة لدراسة اجراها كل من ( Ma et al., 2006 ) و ( Hohnstock et al., 2000 )

ويمكن ان تنتقل هذه البلازميدات بين الأجناس البكتيرية السالبة لصبغة كرام وبالأخص التي تعيش في بيئات ملوثة بالهيدروكربونات النفطية (AL-Gelawi & Al-Saffar 2010)



شكل (3-4) استهلاك الهيدروكربونات النفطية من قبل العزلات البكتيرية على وسط الاملاح المعدنية الصلب .

#### 3.4 النمو على وسط الاملاح المعدنية السائل

بينت النتائج كما في الشكل (4-4) قدرة العزلات البكتيرية على النمو على وسط الاملاح المعدنية السائل المضاف اليه النفط الخام واستهلاك النفط الخام خلال مدة حضن أمدھا 6 اسابيع وبدرجة حرارة 37م° وعند متابعة التغيرات الفيزيائية والمظهرية التي تحصل لدوارق الحضن المحتوية على

وسط الاملاح المعدنية السائل المزود بالمصدر الكربوني الوحيد النفط الخام والملقح بالعزلات البكتيرية لوحظ التحول الواضح في لون الدوارق خلال مدة الحضانة إذ استهلكت العزلات جميع النفط الخام مع بقاء دوارق السيطرة من دون تغيير ، وتم ايضاً خلال مدة النمو المذكورة قياس كل من الكثافة الضوئية والتوصيلية الكهربائية ومعرفة التغيرات الحاصلة.

وقد استعمل في هذه الدراسة وسط الاملاح المعدنية السائل والذي يتميز بكونه يحتوي على العديد من العناصر المغذية والمحفزة التي تكون ضرورية في بقاء الاحياء المجهرية وبناء انزيماتها المهمة في عملية التحلل الحيوي اذ استعمل هذا الوسط في دراسات عديدة منها دراسات عديدة Prakash & ( Guru et al.,2013 ; Nilesh&Hardik ,2013; Ifran,2011) .

اذ يعمل هذا الوسط على توفير ظروف ملائمة لنمو البكتريا المحللة للهاييدروكاربونات ويعزز تكاثرها فهو يعمل على توفير عناصر مغذية تحفزها على تسريع عملية التفكك الحيوي للهاييدروكاربونات ، اذ اشار Garapati (2012) الى ان العناصر المعدنية مثل ( N,Mg,P,S ) المتواجدة في هذا الوسط تعمل على المحافظة على التمثيل الغذائي وبذلك فهي تساعد البكتريا في انتاج مركبات داخل وخارج خلوية تتمثل بالانزيمات والمستحلبات الحيوية والتي لها دور كبير في عملية امتصاص المركبات الهايدروكاربونية وفي عملية الايض لها لتنتج طاقة وماء وCO<sub>2</sub> و كتلة حيوية .

وذكر Ubani (2012) ان توفر عنصر الفسفور مهم لنمو الاحياء المجهرية فهو يدخل في تركيب كل من جزيئة ATP والاحماض النووية والغشاء الخلوي ، ويوفر K<sub>2</sub>HPO<sub>4</sub> عنصرا الفسفور والبوتاسيوم في حين يكون NH<sub>4</sub>CL مصدراً مهماً للنتروجين ، ومن ثم فإن المركبات التي تحتوي على الفسفور والاخرى التي تحتوي على النتروجين يكون لها تأثيراً مهماً في نمو البكتريا على وسط الاملاح المعدنية المحتوي على الهايدروكاربونات النفطية وهذا ما أكدت Motamedi وجماعته (2011) .

حضنت الدوارق الملقحة بالحاضنة الهزازة للحصول على الاوكسجين الذي يكون مهماً اذ تستعمله البكتريا في اكسدة وتحلل المركبات الهايدروكاربونية (عبد الرضا، 2014) وقبل زرع العزلات البكتيرية ضبط ال pH لوسط الاملاح المعدنية السائل بحدود 7.0-7.4 اذ ان البكتريا تنمو بصورة افضل عندما تكون تكون الدالة الحامضية قريبة من التعادل (Said ,2004)

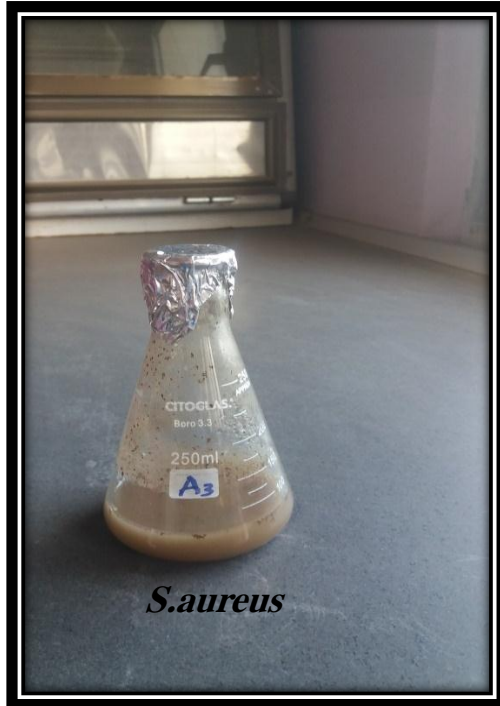
كما ضبطت درجة حرارة الحاضنة لتكون 37م° ( Hussein ,2014) كما ذكر Atlas وBartha (1972) ان درجة الحرارة المنخفضة تعمل على اعاقا عملية التبخر للمركبات ذات

الوزن الجزيئي الواطئ والتي يكون قسم منها ذا تأثير سام على الاحياء المجهرية وبذلك فهي تعيق عملية التحلل الحيوي .

وفي هذه الدراسة تم الاعتماد على العزلات المفردة فهي تحدد اكثر العزلات كفاءة في تحلل المركبات الهيدروكاربونية وتعطي تصوراً عن كفاءة كل عزلة على حدة واي من العزلات قادرة على ان تتحمل العيش والنمو في الظروف البيئية القاسية في حين انه في حالة استعمال المزارع المختلطة على الرغم من ان التحلل فيها يكون اكثر كفاءة وتعطي نسب تحلل عالية الا ان هناك حالة شك وغموض في عدم معرفة اي من العزلات كانت اكثر كفاءة في عملية التحلل ( Ghazali et al ., 2004 ; Ganesh&Lin,2009 )

وترجع قابلية العزلات الجرثومية على النمو على الوسط الملحي السائل ونشاطها في تحلل المواد الهيدروكاربونية الى افرازها عوامل استحلاب Emulsifying agents (الجبوري، 2005) ، فعندما تقوم البكتريا بأستهلاك المركبات الهيدروكاربونية فأن هذه العملية تكون مصحوبة في اغلب الاحيان بأفراز هذه البكتريا مواداً مستحلبة الى البيئة او الوسط الغذائي الذي تنمو عليه اذ تعمل هذه المواد الى تقليل الشد السطحي وتزيد من اختراق وانتشار الماء مؤدية الى تعزيز نمو البكتريا وحجز المعادن وفصلها ويعمل الاستحلاب على جعل طبقة النفط على شكل قطيرات نفطية مستحلبة صغيرة وبذلك تزداد ذائبيتها وتمتزج بسهولة مع مكونات الوسط الملحي وفي نفس الوقت توفر مساحة سطحية تكون ملائمة لتماس الاحياء المجهرية مع هذه المركبات ( Nguyen et al.,2008 ; Nievas et al.,2008 ) .

كما يعزى نمو هذه العزلات على الملوثات الهيدروكاربونية الى انها ذات قدرة وكفاءة على التكيف او التطبع مع الظروف البيئية التي تحيط بها مع مرور الوقت و يؤدي هذا التكيف الى تعزيز قدرتها على تحلل واستهلاك الهيدروكاربونات الثقيلة الى هيدروكاربونات خفيفة قليلة السمية وهذا يتفق مع ما ذكره Abed وجماعته (2002) اذ ذكر انه عند تعرض مجاميع الاحياء المجهرية الى مستويات عالية من الهيدروكاربونات النفطية فأنها تظهر تكيفاً او تأقلاً عالياً للبيئة الملوثة التي تكون موجودة فيها هذه الاحياء .



شكل (4-4) استهلاك النفط الخام من قبل العزلات البكتيرية على وسط الاملاح المعدنية السائل

### 1.3.4 تقدير النمو بدلالة التوصيلية الكهربائية

أظهرت نتائج حساب التوصيلية الكهربائية حصول زيادة في قيم التوصيلية الكهربائية لجميع العزلات البكتيرية أثناء مدة الحضانة وذلك بالمقارنة مع السيطرة التي كانت قيم التوصيلية الكهربائية لها  $7.2 \text{ mc/cm}$ . فالنسبة للعزلات السالبة لصبغة كرام فقد سجلت بكتريا *P. fluorescens* المعزولة من تربة المولدة أعلى قيمة توصيلية كهربائية بلغت  $12.7 \text{ mc/cm}$  في الاسبوع الثالث بعدها *E. coli*  $(11.7) \text{ mc/cm}$  ومن ثم *Acinetobacter baumannii*, *Klebsiella pneumoniae* و *mirabilis* وبقيم أقل كما في الجدول (5-4)

جدول (5-4) معدل النمو بدلالة قياس التوصيلية الكهربائية للعزلات البكتيرية السالبة لصبغة كرام و المختبرة في قدرتها على استهلاك الهيدروكربونات النفطية مقاسة بوحدات ( $\text{mc/cm}$ )

معدل النمو بدلالة التوصيلية الكهربائية $\pm$ قيمة الخطأ القياسي						العزلات
الاسبوع السادس	الاسبوع الخامس	الاسبوع الرابع	الاسبوع الثالث	الاسبوع الثاني	الاسبوع الأول	
$7.2 \pm 0$	$7.2 \pm 0$	$7.2 \pm 0$	$7.2 \pm 0$	$7.2 \pm 0$	$7.2 \pm 0$	السيطرة
$9.6 \pm 0.02$	$9.7 \pm 0.02$	$10.2 \pm 0.01$	$10.3 \pm 0.11$	$9.4 \pm 0.11$	$8.3 \pm 0.1$	تربة <i>Escherichia coli</i> المولدة
$8.2 \pm 0.1$	$9.5 \pm 0.1$	$10.3 \pm 0.1$	$11.7 \pm 0.01$	$11.1 \pm 0.1$	$8.2 \pm 0.1$	تربة <i>Escherichia coli</i> محلات الدهن
$8.3 \pm 0.11$	$9.3 \pm 0.11$	$10.1 \pm 0.08$	$10.4 \pm 0.11$	$9.23 \pm 0.01$	$8.6 \pm 0.11$	تربة <i>Esherichia coli</i> معمل المطاط
$9.1 \pm 0.003$	$9.3 \pm 0.11$	$9.7 \pm 0.11$	$10.9 \pm 0.01$	$10.2 \pm 0.11$	$8.5 \pm 0.11$	مياه <i>Escherichia coli</i> البزل
$8.6 \pm 0.1$	$10.5 \pm 0.1$	$12.1 \pm 0.1$	$12.7 \pm 0.06$	$12.2 \pm 0.005$	$8.8 \pm 0.025$	تربة <i>Pseudomonas fluorescens</i> المولدة
$8.7 \pm 0.06$	$9.6 \pm 0.1$	$10.2 \pm 0.1$	$10.2 \pm 0.06$	$9.9 \pm 0.11$	$9.1 \pm 0.11$	تربة <i>Pseudomonas fluorescens</i> محلات الدهن
$8.3 \pm 0.11$	$9.5 \pm 0.11$	$11.2 \pm 0.11$	$11.7 \pm 0.11$	$10.3 \pm 0.03$	$9.2 \pm 0.06$	تربة <i>Pseudomonas fluorescens</i> معمل المطاط
$9.2 \pm 0.11$	$9.2 \pm 0.006$	$9.7 \pm 0.03$	$10.4 \pm 0.1$	$9.8 \pm 0.06$	$8.7 \pm 0.1$	<i>Pseudomonas fluorescens</i> البزل
$8.2 \pm 0.03$	$8.3 \pm 0.05$	$8.6 \pm 0.05$	$9 \pm 0.005$	$8.4 \pm 0.05$	$8.2 \pm 0.05$	<i>Klebsiella pneumoniae</i> البزل
$8.1 \pm 0.03$	$8.4 \pm 0.05$	$8.7 \pm 0.03$	$8.8 \pm 0.05$	$8.2 \pm 0.05$	$8 \pm 0.03$	<i>Proteus mirabilis</i> البزل
$8.03 \pm 0.03$	$8.3 \pm 0.03$	$8.7 \pm 0.05$	$9.3 \pm 0.05$	$8.7 \pm 0.03$	$8.3 \pm 0.05$	تربة المولدة <i>Acinetobacter baumannii</i>
$8.13 \pm 0.03$	$8.3 \pm 0.05$	$8.7 \pm 0.03$	$8.93 \pm 0.03$	$8.6 \pm 0.05$	$8.3 \pm 0.05$	تربة معمل <i>Acinetobacter baumanii</i> المطاط
للتداخل = 1.468		للاوقات = 1.411		للعزلات = 1.428		LSD <sub>0.05</sub>



وتتفق هذه النتائج مع (Hussein,2014) في كون بكتريا *P.fluorescens* اكثر الاجناس البكتيرية كفاءة في تحلل الهيدروكربونات النفطية واستهلاكها وذلك لأحتوائها على العديد من انزيمات التحلل الحيوي ونتاجها مستحلبات حيوية لها دور كبير في تفكك الهيدروكربونات المعقدة . اما بكتريا *E.coli* فقد جاءت بالمرتبة الثانية بنسب التحلل الحيوي فهي اما ان تحتوي على انزيمات التحلل الحيوي او ان تنتقل اليها الجينات المسؤولة عن التحلل من بكتريا أخرى محللة للهيدروكربونات عبر البلازميدات بعملية التحول Transformation (Vasudevan et al.,2007).

اما بالنسبة للبكتريا الموجبة لصبغة كرام فقد تفوقت بكتريا *S.aureus* على بكتريا *Bacillus cereus* في معدلات النمو بدلالة التوصيلية الكهربائية كما في الجدول (4-6) وبالتالي فقد جاءت هذه النتائج متوافقة مع (Chang et al.,2011) في كون *Staphylococcus* هي من اهم البكتريا المحللة للهيدروكربونات في حين اختلفت مع نتائج (Zhang et al .,2010) الذي اظهرت تفوق بكتريا *Bacillus* في هذا المجال.

**جدول (4-6) معدل النمو بدلالة قياس التوصيلية الكهربائية للعزلات البكتيرية الموجبة لصبغة كرام و المختبرة في قدرتها على استهلاك الهيدروكربونات النفطية مقاسة بوحدات (mc/cm).**

معدل النمو بدلالة التوصيلية الكهربائية ± قيمة الخطأ القياسي						العزلات
الاسبوع السادس	الاسبوع الخامس	الاسبوع الرابع	الاسبوع الثالث	الاسبوع الثاني	الاسبوع الاول	
8.5±0.05	8.6±0.05	9±0.05	9.3±0.05	8.8±0.05	8.6±0.03	<i>Staphylococcus aureus</i> تربة المولدة
8.3±0.06	8.3±0.005	9.2±0.025	9.8±0.1	9.5±0.1	9.1±0.1	<i>Staphylococcus aureus</i> تربة محال الدهن
9.7±0.05	10.2±0.05	10.6±0.006	10.6±0.006	9.9±0.03	8.7±0.01	<i>Staphylococcus aureus</i> تربة معمل المطاط
8.1±0.06	8.3±0.05	9.3±0.1	9.6±0.1	9.2±0.1	8.1±0.1	<i>Staphylococcus aureus</i> البزل
8.3±0.05	8.6±0.05	9±0.005	9.3±0.05	8.8±0.05	8.4±0.05	<i>Bacillus cereus</i> المولدة
8.33±0.03	8.5±0.05	9±0.01	9.3±0.33	8.7±0.05	8.2±0.05	<i>Bacillus cereus</i> تربة محال الدهن
8.13±0.03	8.3±0.05	8.6±0.03	9.2±0.05	8.5±0.05	8.23±0.05	<i>Bacillus cereus</i> تربة معمل المطاط
للتداخل=1.301		للأوقات=1.231		للعزلات=1.212		LSD <sub>0.05</sub>

ولوحظ ان معدل النمو قد بدأ بالزيادة تدريجياً الى ان وصل الى اقصى حد في الاسبوع الثالث من الحضان ومن ثم بدأ بالتنازل التدريجي ليصل في الاسبوع السادس الى اقل قيمة .

ان الزيادة الحاصلة في قيم التوصيلية الكهربائية تدل على وجود علاقة طردية بين التوصيلية الكهربائية وتركيز وتكافؤ الايونات اذ تزداد قيم التوصيلية عند زيادة تركيز هذه الايونات اذ ان زيادة الايونات في الاسبوع الثالث يعنى ان الجين شفر للانزيم الكايتكول وحلل المركبات الهايدروكاربونية وتحررت الايونات في الوسط الزراعي، ايضاً فأن للنواتج الايضية المتجمعة في الوسط سبب في زيادة التوصيلية الكهربائية اذ يؤدي استهلاك العزلات البكتيرية للهايدروكاربونات النفطية الى زيادة هذه النواتج وتعتمد التوصيلية الكهربائية على النواتج الايضية المتكونة وقابليتها على التأين في الماء وبالتالي تحصل زيادة في قيم التوصيلية الكهربائية وتتفق هذه الدراسة مع ما توصل اليه Gomez وجماعته (2002)

واظهرت النتائج الاحصائية ان هناك فروقاً معنوية في معدل نمو العزلات البكتيرية بدلالة التوصيلية الكهربائية ويعزى هذا الفرق بين العزلات البكتيرية في قدرتها على تحليل المركبات الهايدروكاربونية الى الاختلاف في القابليات الفسلجية والوراثية فيما بينها كما ان هذا الاختلاف لا يكون مقتصرأ بحد ذاته على افراد الجنس الواحد فقط اذ لوحظ ان هناك اختلافات تتواجد بين سلالات النوع الواحد ايضاً ، كما قد تحمل بعض العزلات عناصر وراثية مختلفة كالعناصر الوراثية الانتقالية (Transposon) او البلازميدات والتي تكون حاملة لجينات التحلل الحيوي وبالتالي فهي تسهم في تنوع الاليات المستعملة في استهلاك المركبات الهايدروكاربونية ، وان صفة الاستهلاك للمركبات الهايدروكاربونية من قبل البكتريا ليس بالضرورة ان تكون صفة خاصة بالنوع نفسة اذ تكون صفة خاصة بالسلالة (Margesin & Schinner,2001).

#### 2.3.4 تقدير النمو بدلالة الكثافة الضوئية

أظهرت النتائج قابلية جميع العزلات البكتيرية والمعزولة من مصادر بيئية مختلفة ( تربة مولدة ، تربة محلات تبديل الدهن ، تربة معمل المطاط ، مياه البزل ) على النمو على وسط الاملاح المعدنية واستعمال النفط الخام كمصدر طاقة وكاربون ويتفق هذا مع ما توصل اليه كل من (Shekhar وجماعته 2015 ; Ramankutty و Nedunchezhiyan 2015)

استعمل الطول الموجي 600 nm لقياس النمو بدلالة الكثافة الضوئية وظهرت النتائج قدرة العزلات على النمو على وسط الاملاح المعدنية المزود بالنفط الخام المستعمل في هذه الدراسة ، فالنسبة للعزلات السالبة لصبغة كرام فقد سجلت بكتريا *P.fluorescens* اعلى قيمة كثافة ضوئية تليها بكتريا *E.coli* ومن ثم بقية العزلات كما هو الحال في قياسات النمو بدلالة التوصيلية الكهربائية مما يؤكد كفاءة هذه البكتريا في تحلل المركبات الهيدروكربونية كما في الجدول(4-7)

جدول (4-7) معدل النمو بدلالة قياس الكثافة الضوئية للعزلات البكتيرية السالبة لصبغة كرام و المختبرة في قدرتها على استهلاك الهيدروكربونات النفطية .

معدل النمو بدلالة الكثافة الضوئية ± قيمة الخطأ القياسي						العزلات
الاسبوع السادس	الاسبوع الخامس	الاسبوع الرابع	الاسبوع الثالث	الاسبوع الثاني	الاسبوع الاول	
0.204±0.006	0.206±0.003	0.206±0.003	0.203±0.003	0.203±0.0003	0.201±0.005	<i>Escherichia coli</i> تربة المولدة
0.300±0.005	0.309±0.003	0.309±0.003	0.215±0.001	0.205±0.003	0.205±0.003	<i>Escherichia coli</i> تربة محلات الدهن
0.203±0.0003	0.203±0.0003	0.207±0.006	0.204±0.006	0.203±0.0003	0.203±0.003	<i>Escherichia coli</i> تربة معمل المطاط
0.219±0.003	0.220±0.003	0.220±0.003	0.212±0.001	0.203±0.0001	0.202±0.001	<i>Escherichia coli</i> مياه البزل
0.319±0.003	0.320±0.005	0.322±0.005	0.219±0.005	0.212±0.0003	0.211±0.003	<i>Pseudomonas fluorescens</i> تربة المولدة
0.216±0.0003	0.216±0.0003	0.217±0.003	0.208±0.005	0.202±0.0003	0.202±0.003	<i>Pseudomonas fluorescens</i> تربة محلات الدهن
0.290±0.005	0.297±0.003	0.302±0.003	0.302±0.003	0.209±0.0001	0.208±0.003	<i>Pseudomonas fluorescens</i> تربة معمل المطاط
0.289±0.001	0.289±0.001	0.290±0.005	0.211±0.002	0.204±0.0002	0.202±0.002	<i>Pseudomonas fluorescens</i> مياه البزل
0.201±0.003	0.203±0.005	0.209±0.001	0.205±0.005	0.203±0.0002	0.202±0.003	<i>Klebsiella pneumoniae</i> البزل
0.200±0.003	0.202±0.003	0.206±0.002	0.204±0.002	0.203±0.0001	0.203±0.009	<i>Proteus mirabilis</i> البزل
0.202±0.001	0.204±0.003	0.208±0.005	0.205±0.005	0.203±0.0005	0.201±0.001	<i>Acinetobacter baumannii</i> تربة المولدة
0.202±0.002	0.203±0.0003	0.207±0.003	0.203±0.005	0.203±0.0000	0.202±0.001	<i>Acinetobacter baumannii</i> تربة معمل المطاط
<b>0.071= للتداخل</b>		<b>0.048= للأوقات</b>		<b>0.069= للعزلات</b>		<b>LSD<sub>0.05</sub></b>

ولوحظ انه بمرور مدة الحضان كانت هناك زيادة تدريجية في النمو واتفقت هذه النتائج مع Gu-Liang وجماعته (2005) الذين اشاروا الى انه عند استهلاك البكتريا للمركبات الهيدروكاربونية فانه ستحصل زيادة تدريجية في نموها ، اذ بدأ معدل النمو يزداد تدريجياً ليصل الى اعلى قيمة في الاسبوع الرابع من الحضان وبعد الاسبوع الرابع بدأ معدل الكثافة الضوئية بالتناقص تدريجياً ليصل اقل قيمة في الاسبوع السادس اذ انه في العادة تقوم البكتريا باستهلاك الهيدروكاربونات البسيطة التركيب اولاً ومن ثم تستهلك المركبات المعقدة الأصعب تركيباً فاذا كانت البكتريا مستهلكة للهيدروكاربونات البسيطة فقط فإن اعداد الخلايا تزداد زيادة سريعة ثم تبدأ بالتناقص اما في حالة كون البكتريا تستهلك المركبات المعقدة اضافة الى المركبات البسيطة فإن اعداد الخلايا تستمر بالزيادة او تثبت نسبياً (Yoshida et al.,2005)

اما بالنسبة للعزلات الموجبة فقد تفوقت بكتريا *Staphylococcus aureus* على *Bacillus cereus* عند قياس الكثافة الضوئية كما هو الحال في تفوقها عند قياس التوصيلية الكهربائية كما في الجدول (8-4)

جدول (8-4) معدل النمو بدلالة قياس الكثافة الضوئية للعزلات البكتيرية الموجبة لصبغة كرام و المختبرة في قدرتها على استهلاك الهيدروكاربونات النفطية .

معدل النمو بدلالة التوصيلية الكهربائية $\pm$ قيمة الخطأ القياسي						العزلات
الاسبوع السادس	الاسبوع الخامس	الاسبوع الرابع	الاسبوع الثالث	الاسبوع الثاني	الاسبوع الاول	
0.202 $\pm$ 0.001	0.202 $\pm$ 0	0.209 $\pm$ 0.0001	0.209 $\pm$ 0	0.206 $\pm$ 0002	0.205 $\pm$ 0.002	<i>Staphylococcus aureus</i> تربة المولدة
0.219 $\pm$ 0.005	0.219 $\pm$ 0	0.224 $\pm$ 0.002	0.212 $\pm$ 0.002	0.207 $\pm$ 0.001	0.207 $\pm$ 0.001	<i>Staphylococcus aureus</i> تربة محال الدهن
0.300 $\pm$ 0.003	0.300 $\pm$ 0.003	0.301 $\pm$ 0.0003	0.210 $\pm$ 0.001	0.206 $\pm$ 0.003	0.206 $\pm$ 0.003	<i>Staphylococcus aureus</i> تربة معمل المطاط
0.210 $\pm$ 0.003	0.211 $\pm$ 0.003	0.213 $\pm$ 0.005	0.210 $\pm$ 0.001	0.204 $\pm$ 0.003	0.203 $\pm$ 0.005	<i>Staphylococcus aureus</i> البزل
0.202 $\pm$ 0.002	0.206 $\pm$ 0.003	0.211 $\pm$ 0.0001	0.208 $\pm$ 0.003	0.206 $\pm$ 0.002	0.205 $\pm$ 0.002	<i>Bacillus cereus</i> المولدة
0.204 $\pm$ 0.005	0.207 $\pm$ 0.002	0.212 $\pm$ 0.0001	0.207 $\pm$ 0.003	0.204 $\pm$ 0.005	0.203 $\pm$ 0.005	<i>Bacillus cereus</i> تربة محال الدهن
0.203 $\pm$ 0.003	0.205 $\pm$ 0.005	0.210 $\pm$ 0.0005	0.206 $\pm$ 0.001	0.204 $\pm$ 0.001	0.202 $\pm$ 0.003	<i>Bacillus cereus</i> تربة معمل المطاط
للتداخل = 0.064		للأوقات = 0.043		للعزلات = 0.059		LSD <sub>0.05</sub>

واظهرت النتائج الاحصائية وجود فروق احصائية بين العزلات البكتيرية في قيم الكثافة الضوئية و قد يرجع اختلاف العزلات في قدرتها على استهلاك الهيدروكربونات النفطية الى اختلاف العزلات وراثياً وفلسجياً اضافة الى دور عملية الخلط الوراثي Genetic Recombination ، وتمتلك البكتريا انزيمات تشفر لها بلازميدات معينة والتي عن طريقها تستطيع البكتريا تحليل المركبات الهيدروكربونية ومن ثم تستطيع هذه البكتريا مقاومة الظروف الصعبة والبقاء على قيد الحياة (Obayori&Salam, 2010 ; Althani *et al* .,2009).

ويرجع نمو العزلات البكتيرية على وسط الاملاح المعدنية المزود بالنفط الخام كمصدر للطاقة والكربون الى النظام الانزيمي الفعال في استهلاك هذه المركبات المعقدة والسامة في الوقت نفسه وان العزلات تمتلك قابلية استهلاك كل من المركبات البسيطة التركيب والمعقدة كما ان المغذيات تكون متواجدة في الوسط بصورة كافية ولم تنفذ بالاضافة الى ان المواد الايضية السامة لم تتراكم الى الحد الذي تتضرر به الخلايا ويدخلها في طور الهلاك أذ ذكر Mali وRokade (2013) ان نفاذ المغذيات كالفسفور والنروجين او انخفاض الدالة الحامضية (pH) نتيجة لتجمع المواد الايضية السامة وتراكمها اضافة الى نفاذ الهيدروكربونات البسيطة التركيب وسريعة الاستهلاك وبقاء كل من الهيدروكربونات الاروماتية متعددة الحلقات والمركبات الاسفلتية صعبة التحلل أو الاستهلاك فضلاً عن نقصان الاوكسجين وقلة التهوية هي احد اهم الاسباب التي تؤدي الى انخفاض الاعداد البكتيرية .

ادى نمو العزلات على الوسط الملحي الى عملية استحلاب النفط الخام اي انها ادت الى امتزاج النفط الخام مع مكونات الوسط الملحي ، اذ تفرز البكتريا مواد مستحلبة تؤدي الى التقليل من لزوجة النفط وتعمل على سهولة مزجة مع الطور المائي (Ramos *et al* .,1994).

وتتيح المستحلبات الحياتية عملية نمو الأحياء المجهرية على المركبات الهيدروكربونية اذ تسهل عملية التصاق هذه الاحياء على المصادر الهيدروكربونية ، كذلك فهي تعمل على خفض الشد السطحي وزيادة المساحة بين سطح المادة الغذائية والاحياء المجهرية مما يزيد من قابلية المادة على الدخول الى الخلية وتزداد سرعة تأيضا هذا بالاضافة الى استحلاب المصدر الكربوني (Samanta *et al*.,2012)

#### 4.4 التحري الجزيئي عن انتاج الجين المشفر لأنزيم Catechol 2,3 dioxygenase

##### Molecular Screening of C23O gene

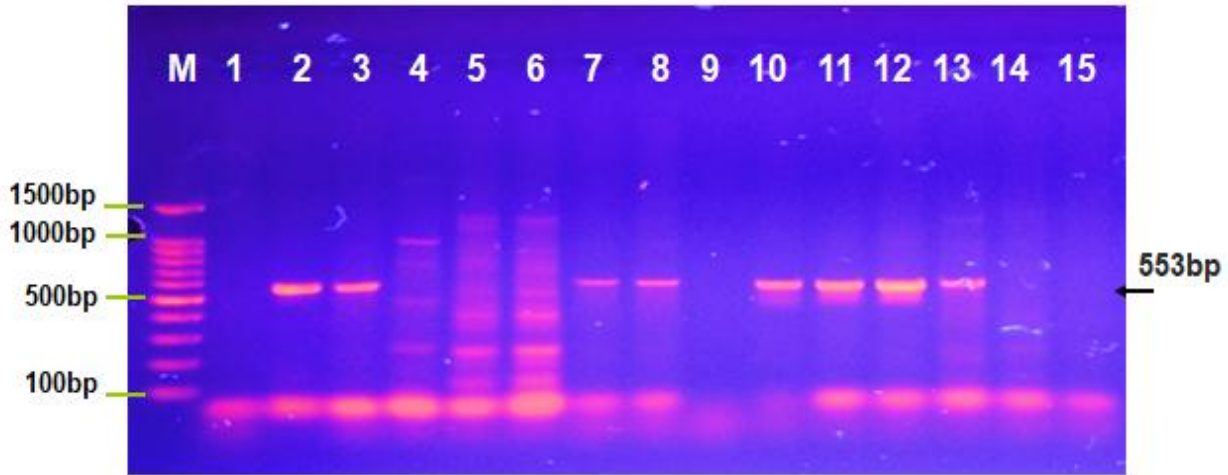
تم التحري جزيئياً عن الجين المشفر لأنزيم Catechol 2,3 dioxygenase المنتج من قبل بكتريا *E.coli*، *P.fluorescens* و *S.aureus* وذلك لكونهم اعلى العزلات في نسب التحلل الحيوي، باستعمال بادئ خاص بجين ( C23O gene ) وذلك للتحري عن العزلات التي تمتلك هذا الجين باستعمال تفاعل البلمرة المتسلسل الذي يتميز بالتشخيص السريع والدقيق ، بعد انتهاء التفاعل تم ترحيل ناتج التضاعف على هلام الاكاروز بتركيز (1%) بعدها فحص الناتج تحت الاشعة فوق البنفسجية .

أستعملت 23 عزلة من *E.coli* و 15 عزلة من *P.fluorescens* و 10 عزلات من *S.aureus* للتحري عن جين ( C23O gene ) الذي له دور مهم في تحلل المركبات الهيدروكربونية .

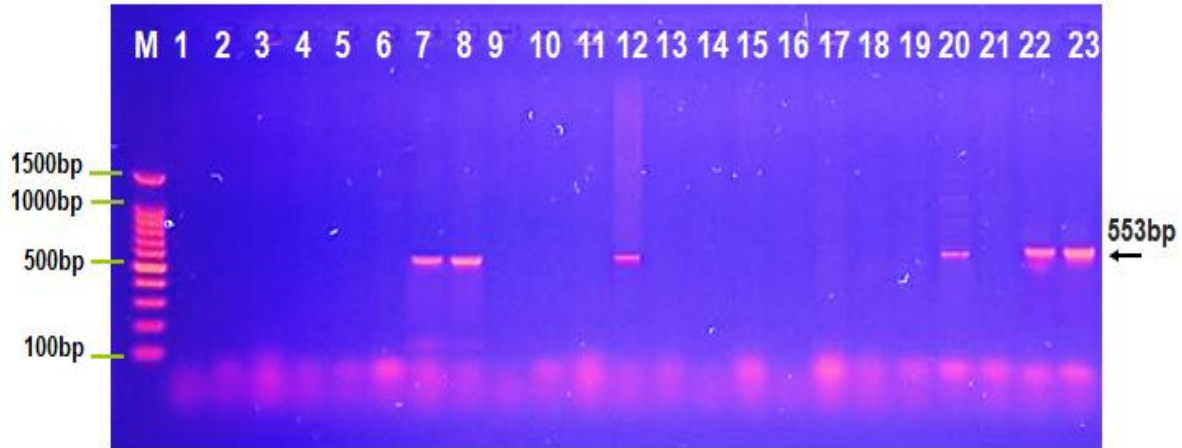
اظهرت نواتج تضخيم الجين بعد الترحيل على هلام الاكاروز والتصبيغ بصبغة الاثيديوم برومايد والتعريض للأشعة فوق البنفسجية تواجد الجين (C23O gene) المشفر لانتاج انزيم Catechol 2,3 dioxygenase في 8 عزلات من *P.flourescens* اي بنسبة 53.33% شكل (4-5) و 6 عزلات من *E.coli* بنسبة 26.08% شكل (4-6) و عزلة واحدة من *S.aureus* وبنسبة 10% شكل (4-7) ، واطهرت النتائج الاحصائية وجود اختلاف معنوي بين العزلات البكتيرية المنتجة لأنزيم Catechol 2,3 dioxygenase عند مستوى احتمالية 0.05 كما في جدول (4-9) وجاءت هذه النتائج متوافقة مع دراسة Jyothi وجماعته (2012) اذ حصل على عزلة واحدة فقط من *Staphylococcus aureus* محتوية على هذا الانزيم واتفقت ايضاً مع نتائج Joshia وWalia (1996) اذ كانت عدد عزلات *E.coli* المنتجة لأنزيم هي 6 عزلات وجاءت هذه الدراسة قريبة من دراسة Hussein (2014) بالنسبة لبكتريا *Pseudomonas* اذ شكلت نسبة (43%) في حين اختلفت معها بالنسبة لبكتريا *Staphylococcus* اذ كانت عزلاتها غير منتجة لهذا الانزيم .

جدول (9-4) اعداد ونسب الجين المشفر لأنتاج انزيم Catechol 2,3dioxygenase في العزلات البكتيرية المحللة للمركبات الهيدروكاربونية

النسبة المئوية %	عدد العزلات المحتوية على الجين	العدد الكلي للعزلات البكتيرية	البكتريا
53.33	8	15	<i>P.fluorescens</i>
26.08	6	23	<i>E.coli</i>
10	1	10	<i>S.aureus</i>
	5.792		$\chi^2$
	0.0455		P value



شكل (4-5) الترحيل الكهربائي باستخدام هلام الاكاروز والذي يظهر نتائج فحص ال per الخاص للتحري عن الجين المشفر لأنزيم Catechol 2,3 dioxygenase في العزلة *Pseudomonas fluorescens* حيث يمثل الارقام (2,3,7,8,10,11,12,13) وتمثل العزلات الموجبة للجين المشفر لأنزيم Catechol 2,3 dioxygenase بناتج طول 553pb. M:Marker 1500-100 pb



شكل (4-6) الترحيل الكهربائي باستخدام هلام الاكاروز والذي يظهر نتائج فحص ال PCR الخاص للتحري عن الجين المشفر لأنزيم Catechol 2,3 dioxygenase في الجرثومة *Escherichia coli* حيث يمثل M:Marker 1500-100 pb والارقام (7,8,12,20,22,23) تمثل العزلات الموجبة لجين Catechol 2,3 dioxygenase بناتج طول 553pb.



شكل (4-7) الترحيل الكهربائي باستخدام هلام الاكاروز والذي يظهر نتائج فحص ال PCR الخاص للتحري عن الجين المشفر لأنزيم Catechol 2,3 dioxygenase في جرثومة *Staphylococcus aureus* حيث يمثل الرقم (8) العزلة الموجبة للجين المشفر لأنزيم Catechol 2,2 dioxygenase بناتج طول 553pb.



الكاتيكول هو مركب وسطي ينتج من استقلاب المركبات الهيدروكاربونية بواسطة البكتيريا اذ تعمل هذه البكتيريا على تحليله عن طريق مسار الانقسام ميتا (meta) بواسطة انزيم Catechol 2,3 dioxygenase الذي يعمل على تحويله من خلال عدة خطوات الى مركبات أقل سمية لها القدرة على الدخول في دورة كريبس مما يجعل هذه المركبات أكثر سهولة للاستهلاك من قبل البكتيريا وبهذا فإن هذا الانزيم يلعب دوراً كبيراً في عملية التحلل الهوائي للمركبات الهيدروكاربونية النفطية (Joessaar *et al.*, 2017)

وقد تعزى قدرة العزلات الجرثومية في تحليلها للمركبات الهيدروكاربونية الى احتوائها على مركبات عديدة أخرى غير انزيم Catechol 2,3dioxygenase ، اذ ذكر Eddouaouda وجماعته (2012) ان بكتريا *S. aureus* لها القدرة على افراز مستحلبات حيوية لها دور كبير في تحلل واستهلاك المركبات الهيدروكاربونية، كما اوضح كل من Cerqueira وجماعته (2011) و Smits وجماعته (2003) ان بكتريا *Pseudomonas* تفرز انزيمات مختلفة تساعدها في عملية التحلل الحيوي اهمها انزيم Rhamnosyltransferase المسؤول عن انتاج مستحلبات حيوية biosurfactant تدعى Rhmanolipids ، وانزيم Alkanhydroxylase المسؤول عن تكسير السلاسل الهيدروكاربونية وتحللها اذ يستطيع تكسير المركبات الالكانية ذات الطول (C16-C12-C11-C6) .

قد تحتوي بكتريا *P. fluorescens* على بلازميد plasmid يحمل موروثات لها دور كبير في تحلل الهيدروكاربونات النفطية وفي نفس الوقت قد ينتقل هذا البلازميد الى بكتريا اخرى مثل *E.coli* التي تفتقد لهذا البلازميد بعملية التحول البكتيري Transformation وتنتقل معه خاصية التحلل الحيوي فتصبح السلالة المستلمة التابعة لبكتريا *E.coli* لها القدرة على التحلل الحيوي ايضاً وهذا ما اكدته الدراسة التي قام بها Vasudevan وجماعته (2007) .

ويحلل انزيم Catechol 2,3 dioxygenase الهيدروكاربونات الاروماتية عن طريق التصاق الحلقة العطرية ما بين ذرة الكربون لمجموعة الهيدروكسيل وذرة كربون اخرى مجاورة لمجموعة غير هيدروكسيلية ، ويعمل هذا الانزيم على تحلل مركبات مختلفة كالنفثالين والزيلين والتولوين ( Tikok&Shammri , 2011 ) فهو يؤكسد المركب الاروماتي ويحوله الى مركب كحولي ثنائي الهيدروكسيل بعدها يدخل في سلسلة من عمليات الاكسدة والاختزال تكون نتيجتها تكون حامض البايروفيك والذي بدوره يدخل في دورة كريبس (De jong *et al .*, 2004)

قد يكون أحد الأسباب الذي يجعل البكتريا السالبة لصبغة كرام أكثر فعالية في تحلل المركبات الهيدروكاربونية من البكتريا الموجبة هي انها تكون محاطة بجدار خلوي يكون اقل تعقيداً من جدار البكتريا الموجبة مع احتوائه على طبقة رقيقة من ال pippedoglycan والتي بدورها تكون محاطة بالدهون المفسفرة على شكل طبقة خارجية وظيفتها حماية طبقة pippedoglycan الرقيقة من الاذابة بالالكانات السامة واطئة الوزن الجزيئي وهذا اشار إليه عبد الرضا (2013) .

#### 1.4.4 تقنية تحليل التسلسل التتابعي للجين المشفر لأنزيم Catechol 2,3 dioxygenase

##### Sequencing technique of Catechol 2,3 dioxygenase (gen C23O)

حلل التسلسل التتابعي لجين (*gen C23O*) في عزلات *Pseudomonas fluorescens* ، *Escherichia coli* ، *Staphylococcus aureus* باستعمال برنامج (MEGA6) وقورن مع التسلسل التتابعي للجين الاصيلي للعزلة القياسية لكل من *Pseudomonas* التي تحمل الرقم التسلسلي (KF010862.1) و *Escherichia coli* التي تحمل الرقم التسلسلي (CP019778.1) و *Staphylococcus aureus* التي تحمل الرقم التسلسلي (CP023500.1) جدول (4-10)

اظهرت نتائج التحليل التتابعي لجين (*genC23O*) للعزلات *Pseudomonas fluorescens* ، *Escherichia coli* ، *Staphylococcus aureus* ان العزلة *Pseudomonas fluorescens* كانت متماثلة 100% مع جين العزلة القياسية التي تحمل الرقم التسلسلي (KF010862.1) شكل (8-4)

كما كانت *Escherichia coli* ايضاً متماثلة بنسبة 100% مع جين العزلة القياسية التي تحمل الرقم التسلسلي (CP019778.1) شكل (4-9)

في حين كانت نسبة التطابق 99 % في *Staphylococcus aureus* عند مقارنتها مع جين العزلة القياسية التي تحمل التسلسلي (CP023500.1) شكل (4-10) .

ان التطور الكبير في علم الأحياء الجزيئي استغل في العديد من التقنيات الحديثة والسريعة والمتطورة كالكشف عن العلاقات الوراثية بين العزلات فضلاً عن الطفرات الوراثية وتعد تقنية Sequencing technique واحدة من اهم التقنيات المستعملة في هذا المجال ، فهي إحدى طرائق الترميز الجيني Genotyping والتي لها دور كبير في الكشف عن الطفرات الوراثية اذ تعتمد هذه التقنية على التسلسلات المتكررة في الجينوم البكتيري (Ranjbar et al .,2014) .

Score	Expect	Identities	Gaps	Strand
1022 bits(553)	0.0	553/553(100%)	0/553(0%)	Plus/Plus
Query 1	CGAACGATTCATGACCGTGCTGACCTGATGGTTCGGTTCGACTTATTGCAGAGATTGCGC			60
Sbjct 1	CGAACGATTCATGACCGTGCTGACCTGATGGTTCGGTTCGACTTATTGCAGAGATTGCGC			60
Query 61	AGATGAAAGAGATCAAGCATTTTCATTAACGGTGCCTTCGTCGATTGCGCCAGCGGCCGCA			120
Sbjct 61	AGATGAAAGAGATCAAGCATTTTCATTAACGGTGCCTTCGTCGATTGCGCCAGCGGCCGCA			120
Query 121	CCTTCGAGGACATCAACCCGGTCAATGGCCAGGTGATCGGCCGCGTGCACGAGGCCGGCC			180
Sbjct 121	CCTTCGAGGACATCAACCCGGTCAATGGCCAGGTGATCGGCCGCGTGCACGAGGCCGGCC			180
Query 181	GCGCCGAGGTCGACGCCGCGGTCAGGGCGGCACGCGCTGCGCTGAAGGGACCATGGGGGA			240
Sbjct 181	GCGCCGAGGTCGACGCCGCGGTCAGGGCGGCACGCGCTGCGCTGAAGGGACCATGGGGGA			240
Query 241	AGATGACGGTGGCCGAGCGCGCTGAGATTCTGCATCGCGTGGCCGATGGCGTCACGGCGC			300
Sbjct 241	AGATGACGGTGGCCGAGCGCGCTGAGATTCTGCATCGCGTGGCCGATGGCGTCACGGCGC			300
Query 301	GCTTCGATGAGTTTCTCGAGGCCGAATGCCTGGACACCGGCAAGCCCAAATCCCTGGCCA			360
Sbjct 301	GCTTCGATGAGTTTCTCGAGGCCGAATGCCTGGACACCGGCAAGCCCAAATCCCTGGCCA			360
Query 361	GCCACATCGACATTCGCGCGGCGCGGCCAATTTCAAGGTGTTGCGCCGACCTGATCAAGA			420
Sbjct 361	GCCACATCGACATTCGCGCGGCGCGGCCAATTTCAAGGTGTTGCGCCGACCTGATCAAGA			420
Query 421	ACGTGCCGACCGAAGCCTTCGAGATGGCCACCCCGGACGGCGCCGGTGCCTCAACTACG			480
Sbjct 421	ACGTGCCGACCGAAGCCTTCGAGATGGCCACCCCGGACGGCGCCGGTGCCTCAACTACG			480
Query 481	GCGTGCGCCGGCCCAAGGGGGTGATCGGCGTGATCAGCCCGTGGAACTGCCGCTGCTGC			540
Sbjct 481	GCGTGCGCCGGCCCAAGGGGGTGATCGGCGTGATCAGCCCGTGGAACTGCCGCTGCTGC			540
Query 541	TCATGACCTGGAA 553			
Sbjct 541	TCATGACCTGGAA 553			

الشكل (8-4): نتائج تحليل التسلسل التتابعي لجين C230 في بكتريا *P.fluorescens* مقارنة مع الجين الاصلي لبكتريا (*P.fluorescens*(KF010862.1).

Score	Expect	Identities	Gaps	Strand
1014 bits(549)	0.0	549/549(100%)	0/549(0%)	Plus/Plus
Query 1	TCGATGAGGTCAATGGCGTGATTGCCAGCGCCC	CGAGCGTATTGCGGCATTCTCCCCTG	60	
Sbjct 1	TCGATGAGGTCAATGGCGTGATTGCCAGCGCCC	CGAGCGTATTGCGGCATTCTCCCCTG	60	
Query 61	AACTGGTGGTGTGCTGTTTGCGCCAGATCACTACAACGGCTTTTTCTATGACGTGATGCCAC	120		
Sbjct 61	AACTGGTGGTGTGCTGTTTGCGCCAGATCACTACAACGGCTTTTTCTATGACGTGATGCCAC	120		
Query 121	CGTTCGTGTTTAGGCGTTGGAGCGACGGCAATTGGTGATTTGCGCAGTGC	GCGCAGGAGAGC	180	
Sbjct 121	CGTTCGTGTTTAGGCGTTGGAGCGACGGCAATTGGTGATTTGCGCAGTGC	GCGCAGGAGAGC	180	
Query 181	TGCCCCGTGCCTGTGGAGCTGGCGGAGGCCTGTGCGCATGCCGT	CATGAAGAGCGGGATCG	240	
Sbjct 181	TGCCCCGTGCCTGTGGAGCTGGCGGAGGCCTGTGCGCATGCCGT	CATGAAGAGCGGGATCG	240	
Query 241	ATCTTGCCGTTTCTTACTGTATGCAGGTGGACCACGGGTTGCGCCAGCCGCTGGAGTTCC	300		
Sbjct 241	ATCTTGCCGTTTCTTACTGTATGCAGGTGGACCACGGGTTGCGCCAGCCGCTGGAGTTCC	300		
Query 301	TGCTCGGTGGGCTGGATAAAGGTGCCAGTTCTGCCTGTGTT	CATCAACGGTGTGCGCCACGC	360	
Sbjct 301	TGCTCGGTGGGCTGGATAAAGGTGCCAGTTCTGCCTGTGTT	CATCAACGGTGTGCGCCACGC	360	
Query 361	CGCTGCCCCGGTTTCCAGCGTACCCGCATGTTGGGTGAAGCCATTGGACGTTT	CACCAGCA	420	
Sbjct 361	CGCTGCCCCGGTTTCCAGCGTACCCGCATGTTGGGTGAAGCCATTGGACGTTT	CACCAGCA	420	
Query 421	CTCTCAATAAACCGCTGCTGTTCTGGGTTCCGGTGGGCTTTCCCATCAGCCGCGGTGC	480		
Sbjct 421	CTCTCAATAAACCGCTGCTGTTCTGGGTTCCGGTGGGCTTTCCCATCAGCCGCGGTGC	480		
Query 481	CCGAACTGGCGAAAGCCGATGCCCATATGCGCGACCGTCTGTTGGGGAGCGGGAAAGATT	540		
Sbjct 481	CCGAACTGGCGAAAGCCGATGCCCATATGCGCGACCGTCTGTTGGGGAGCGGGAAAGATT	540		
Query 541	TACCCGCCA	549		
Sbjct 541	TACCCGCCA	549		

الشكل (9-4) نتائج تحليل التسلسل التتابعي لجين C230 في بكتريا *E.coli* مقارنة مع الجين الاصلي لبكتريا *E.coli*(CP019778.1).

Score	Expect	Identities	Gaps	Strand
1014 bits(549)	0.0	551/552(99%)	0/552(0%)	Plus/Plus
Query 1	TGACAACATTTTACAAAAACATTTTAGGACTATCCGTTAAAAGTTCTGACGATAATACAA	60		
Sbjct 1	TGACAACATTTTACAAAAACATTTTAGGACTATCCGTTAAAAGTTCTGACGATAATACAA	60		
Query 61	CCGTATTATCTGTTGGGACTGGTGGCCATACTCTAACGTTACATTTATTAGAAGACGGCC	120		
Sbjct 61	CCGTATTATCTGTTGGGACTGGTGGCCATACTCTAACGTTACATTTATTAGAAGACGGCC	120		
Query 121	GTCAGACTTCCCCACGTGAAGCAGGGCTTTTTCATATAGCATTTTATTACCAACTACTG	180		
Sbjct 121	GTCAGACTTCCCCACGTGAAGCAGGGCTTTTTCATATAGCATTTTATTACCAACTACTG	180		
Query 181	AGGATCTAGCTAACTTCTTATATTTTCGTGGCACaaaaaaaTATGGGCATCGGCGCTGGTG	240		
Sbjct 181	AGGATCTAGCTAACTTCTTATATTTTCGTGGCACAAAAAATATGGGCATCGGCGCTGGTG	240		
Query 241	ATCATTTAGTAAGTGAAGCTTTATATTTCAACGACCCCGAAGGTAATGGTATTGAAGTCT	300		
Sbjct 241	ATCATTTAGTAAGTGAAGCTTTATATTTCAACGACCCCGAAGGTAATGGTATTGAAGTCT	300		
Query 301	ATCGCGATAGACCTTCATCTTCATGGGAATGGCAAAATGGCAAAGTTAAAATGGATACTT	360		
Sbjct 301	ATCGCGATAGACCTTCATCTTCATGGGAATGGCAAAATGGCAAAGTTAAAATGGATACTT	360		
Query 361	TAGAAGTTGATAGCCAAACCTTATTAACACATCGTACTGATGAAGGTTGGCAAGGAATGC	420		
Sbjct 361	TAGAAGTTGATAGCCAAACTTATTAACACATCGTACTGATGAAGGTTGGCAAGGAATGC	420		
Query 421	CAGCAAAAGGCATGATTGGACACTTACATTTAAAAACACATGATTTAGACGCAGCATATC	480		
Sbjct 421	CAGCAAAAGGCATGATTGGACACTTACATTTAAAAACACATGATTTAGACGCAGCATATC	480		
Query 481	AATGTTACATTGAACAATTAGGATTCCAACATGTGTCTGATTTTCCACGTGCGCTATTTA	540		
Sbjct 481	AATGTTACATTGAACAATTAGGATTCCAACATGTGTCTGATTTTCCACGTGCGCTATTTA	540		
Query 541	TGTCAACGAATC 552			
Sbjct 541	TGTCAACGAATC 552			

الشكل (10-4): نتائج تحليل التسلسل التتابعي لجين C230 في بكتريا *S.aureus* مقارنة مع الجين الاصيلي لبكتريا (*S.aureus* (CP023500.1).

لقد تم تحليل جين C230 لعزلة واحدة لكل من *P.fluorescens* و *E.coli* و *S.aureus* المحللات للمركبات الهايدروكاربونية وتمّ ارسالها الى موقع NCBI-Genbank لتسجيل هذه البكتريا في بيانات NCBI للحصول على الرقم التسلسلي الخاص بكل عزلة في الموقع العالمي كما في الجدول (10-4) والملحق (2)

جدول (4-10) ارقام التسجيل للعزلات ونسبة التطابق الوراثي في العزلات المحلية والعزلات المسجلة في موقع بنك الجينات

نسبة التطابق Homology sequence identity		رقم التسجيل في موقع بنك الجينات	العزلة الجرثومية
نسبة التطابق	العزلة القياسية		
%100	<i>Escherichia coli</i> (CP019778.1)	MH645352	<i>Escherichia coli</i>
%100	<i>Pseudomonas sp.</i> (KF010862.1)	MH645354	<i>Pseudomonas fluorescens</i>
%99	<i>Staphylococcus aureus</i> (CP023500.1)	MH645353	<i>Staphylococcus aureus</i>



الاستنتاجات والتوصيات

**Conclusions &  
Recommendations**

## الاستنتاجات Conclusions

- 1- قدرة العزلات البكتيرية المشخصة في هذه الدراسة وباختلاف مصادر العزل على تفكيك الهيدروكربونات النفطية واستهلاكها وتنوعت هذه العزلات ما بين موجبة وسالبة لصبغة كرام مما يشير الى انه بالإمكان استعمال هذه البكتيريا في المعالجة الحيوية للهيدروكربونات النفطية .
- 2 - احتواء البيئة المحلية على أنواع بكتيرية عديدة لها القدرة على تحلل الهيدروكربونات النفطية واستهلاكها .
- 3 -اظهرت بكتريا *E.coli* اعلى نسبة عزل في المناطق البيئية المختلفة وكانت أكثر تردداً في مياه البزل تليها بنسب العزل بكتريا *P.fluorescens* ثم *S.aureus* .
- 4- تفوقت بكتريا *P.fluorescens* على الانواع البكتيرية الاخرى في قدرتها على تحلل الهيدروكربونات النفطية اذ تميزت بقدرتها العالية على استحلاب النفط الخام واستعماله كمصدر كاربون وطاقة ثم جاءت بعدها *E.coli* في حين احتلت *S.aureus* المرتبة الثالثة في فعالية التحلل الحيوي.
- 5 - يؤدي حدوث التلوث البيئي في مناطق معينة الى تواجد أنواع بكتيرية لها القدرة على تحلل الهيدروكربونات النفطية اذ تتكيف هذه الأحياء على استهلاك هذه الملوثات واستعمالها كمصدر للطاقة والكاربون وبالتالي التخفيف من حدة التلوث البيئي .
- 6 - أثبت التحري الجزيئي عن الجين (C23O gene) المشفر لإنتاج انزيم Catechol 2,3 dioxygenase تفوق عزلات *P.fluorescens* على كل من عزلات *E.coli* و *S.aureus* في نسبة امتلاكها لهذا الجين اذا جاءتا بالمرتبة الثانية والثالثة على التوالي .



## التوصيات Recommendations

- 1 - التوسع في دراسة الانواع البكتيرية التي لها القدرة على التحلل الحيوي والكشف جزيئياً عن جينات التحلل الحيوي التي تمتلكها وتحليل تسلسلات الحامض النووي لهذه الجينات للكشف العلاقة الوراثية وتحديد الطفرات لهذه الجينات.
- 2 -إجراء دراسات حول طبيعة المجتمع البكتيري في المناطق الملوثة ودوره في عمليات التحلل الحيوي.
- 3 - التوسع في إجراء دراسات تخص الظروف البيئية المثلى التي تتطلبها عملية التحلل الحيوي بواسطة الاحياء المجهرية لتحسين هذه العملية قدر الإمكان ومحاولة الاستفادة منها بصورة اقتصادية.
- 4 - استعمال عزلات بكتيرية لأكثر من نوع واحد في مزارع مختلطة في المعالجة الحيوية ومعرفة الاختلاف بينها وبين استعمال العزلات المفردة في نسب التحلل الحيوي.
- 5 - التحري جزيئياً عن انزيمات Catechol 1,2 dioxygenase و Rhamnosyltransferase المتواجدة في الأنواع البكتيرية والمسؤولة عن عملية التحلل الحيوي.
- 6 - من الضروري التعاون بين الجهات التي تعنى بمشكلة التلوث وذلك للتقليل من الأخطار الناجمة منها والتخلص من هذه الملوثات بطرق سليمة .



المصادر  
**References**

المصادر العربية

البوغازي ، استبرق عبدالحسين سلمان (2015) عزل وتشخيص بعض انواع البكتريا المكسرة للهايدروكاربونات النفطية الاليفاتية في الترسبات النفطية لمحافظة البصرة .رسالة ماجستير .كلية التربية للعلوم الصرفة / جامعة البصرة.

البيضاوي ، مريم فوزي حميد (2009) قابلية بعض انواع السيانوبكتريا على مراكمة الهايدروكاربونات الاروماتية وبعض العناصر الثقيلة . رسالة ماجستير .كلية التربية .جامعة البصرة .

الجادر، بثينة محمد صادق جعفر (2006) تأثير زيت الوقود في نشاط بكتريا الرايزوبيوم ونمو حاصل الفاصوليا ومقاومتها للمضادات الحياتية .رسالة ماجستير .كلية الزراعة .جامعة بغداد.

الجبوري، ياسين حسين عويد (2005) التحلل الحيوي لانواع من النفط الخام بفعل الجراثيم المعزولة من ترب مصافي العراق الشمالية . اطروحة دكتوراه .كلية التربية .جامعة تكريت.

الصابريني ، محمد السعيد والحمد ، رشيد حمد (1994) الانسان والبيئة (التربية البيئية ) ص -105 104.

العبيدي ، امل علي حسين(2004) العوامل المؤثرة في التحلل الحيوي لمياه مخلفات وحدة المعالجة في مصفى الدورة – بغداد. رسالة ماجستير .كلية العلوم . جامعة بغداد.

الكعبي ،اسراء نجم عبدالله (2010)الاستصلاح الحيوي للترب الملوثة بالهايدروكاربونات النفطية والمتأثرة بالملوحة . رسالة ماجستير.كلية الزراعة . جامعة بغداد.

بدر، سناء قاسم (2016) خصائص خمائر البيئة النهرية لمحافظة البصرة وقابلية بعضها على المعالجة الحيوية للعناصر الثقيلة والهايدروكاربونات النفطية .اطروحة دكتوراه .كلية التربية للعلوم الصرفة .جامعة بغداد.

عبد الرضا ، فاضل نعمة .(2013) عزل انواع من البكتريا المكسرة للنفط من مصب شط العرب وتحسين قابليتها على تكسير الالكانات الاعتيادية . رسالة ماجستير , كلية التربية , جامعة البصرة , قسم علوم الحياة.

عنانة ،خالد(2002) النفايات الخطرة والبيئة .الاهلية للنشر والتوزيع . المملكة الاردنية الهاشمية الطبعة الاولى. عمان دار الطباعة الاردن.

فهد ،حارث جبار و ربيع ، عادل مشعان (2010) التلوث المائي مصادرة ومخاطرة ومعالجته .مكتبة المجتمع العربي للنشر والتوزيع الطبعة الاولى .

المصادر الانكليزية

**Abdel-Shafy, H. I. & Mansour, M. S. (2016).** A review on polycyclic aromatic hydrocarbons: source, environmental impact, effect on human health and remediation. *Egyptian Journal of Petroleum*, 25(1): 107-123.

**Abdurrahim, A. E.; Bashir, R.; Sandouk, R. & Elgammude, B. (2009).** Isolation and characterization of rhamnolipid (Biosurfactant) from petroleum contaminated soil. *Assiut University Bulletin for Environmental Researches*, 12:95-106.

**Abed, R. M.; Safi, N. M.; Köster, J.; De Beer, D.; El-Nahhal, Y.; Rullkötter, J. & Garcia-Pichel, F. (2002).** Microbial diversity of a heavily polluted microbial mat and its community changes following degradation of petroleum compounds. *Applied and environmental microbiology*, 68(4): 1674-1683.

**Abioye, O. P.; Agamuthu, P. & Abdul Aziz, A. R. (2012).** Biodegradation of used motor oil in soil using organic waste amendments. *Biotechnology research international*, 2012:1-8.

**Adeline, S. Y.; Ting, C. & Aw, C. S. (2009).** Hydrocarbon-degradation by isolate *Pseudomonas lundensis* UTAR FPE2. *Malaysian Journal of Microbiology*, 5(2): 104-108.

**Aislabie, J. M.; Balks, M. R.; Foght, J. M. & Waterhouse, E. J. (2004).** Hydrocarbon spills on Antarctic soils: effects and management. *Environmental Science & Technology*, 38(5): 1265-1274.

**Akeredolu D. & Akinnibosun F.I. (2017).** Isolation of Bacteria and Physicochemical Analyses of Petroleum-Products Contaminated Soil from NNPC/PPMC Depot, Benin City, Nigeria. *Int J Mol Biol Open Access* 2(4).

**Akpe, R.; Ekundayo, A. O.; Aigere, S. P. & Okwu, G. I. (2015).** Bacterial degradation of petroleum hydrocarbons in crude oil polluted soil amended with cassava peels. *American Journal of Research Communication*, 3(7): 99-118.

**Al-Bahry, S. N.; Al-Hashmi, A.; Joshi, S. J.; Al-Wahaibi, Y. M.; Elshafie, A. E. & Al-Bemani, A. S.(2016)** .Potential of Coastal Water Bacteria for Oil Spill Bioremediation. *Int'l Journal of Advances in Agricultural & Environmental Engg(IJAAEE)* ,3(1) :154-156.

**Albaiges , J. (1989).** Marine pollution\_Hem sere publishing cop., New york .

**AL-Gelawi, M. H. & Al-Saffar, A. Z. (2010).** Genetic improvement of some bacterial isolates in utilization of hydrocarbon compounds. *Iraqi Journal of Science*, 51(2): 271-276.

**Al-Janabi,J.D.(2008).** Appreciation survey of natural biodegradation of crude oil which cause soil contamination and trying to diagnose the bacterial species which cause this biodegradation . Education collage , Tikrit University .

**AL-Mayaly, I. K. (2010).** Using of Some Bacterial Species to Treat Polluted Soils with Hydrocarbons. *Ibn AL-Haitham Journal For Pure and Applied Science*, 23(3): 5-14.

**Al-Thani, R. F.; Abd-El-Haleem , D. A . & Al-Shammri , M. (2009) .** Isolation and characterization of polyaromatic hydrocarbons-degrading bacteria from different Qatari soils. *African Journal of Microbiology Research*, 3(11): 761-766.

**Al-Ukaelii, S. A.& Al- Shaeb, S. M. (1998).** Statically Analysis by used SPSS Program .Al-Shoroq house for Publishers and advertisement Amaan, Jordan.

**Andria, V. (2008).** Molecular analysis of hydrocarbon-degrading bacteria and Alkane Hydroxylase (alk) genes in association with highly tolerant plant species for phytoremediation of petroleum oil contamination in soil.

**Antunes, L.; Visca, P. & Towner, K. J. (2014).** Acinetobacter baumannii: evolution of a global pathogen. *Pathogens and disease*, 71(3): 292-301.

**API.American petroleum Institute(2001)**Basic petroleum .date book. Washington.

**Armstrong, B.; Hutchinson, E.; Unwin, J. & Fletcher, T. (2004).** Lung cancer risk after exposure to polycyclic aromatic hydrocarbons: a review and meta-analysis. *Environmental health perspectives*, 112(9): 970.

**Asia, O. ; Enweani, I. B. &Eguavoen I. O. ( 2006) .** Characterization and treatment of sludge from the petroleum industry. *African Journal of Biotechnology*, 5 (5): 461-466.

**Atlas, R. M. (1981).** Microbial degradation of petroleum hydrocarbons: an environmental perspective. *Microbiological reviews*, 45(1): 180.

**Atlas, R. M. (1984).** Pathways of hydrocarbon degradation. *Petroleum Microbiology*. Macmillan Publishing Company, New York, USA,: 1-15.

**Atlas, R. M. & Bartha, R. (1972).** Biodegradation of petroleum in seawater at low temperatures. *Canadian Journal of Microbiology*, 18(12): 1851-1855.

**Atlas, R. & Bragg, J. (2009).** Bioremediation of marine oil spills: when and when not—the Exxon Valdez experience. *Microbial biotechnology*, 2(2), 213-221.

**Atlas, R. M. & Cerniglia, C. E. (1995).** Bioremediation of petroleum pollutants. *Bioscience*, 45(5): 332-338.

**Azaizeh, H.; Castro, P. M. & Kidd, P. (2011).** Biodegradation of organic xenobiotic pollutants in the rhizosphere. In *Organic Xenobiotics and Plants* (pp. 191-215). Springer, Dordrecht.

**Banat, I. M. (1995).** Biosurfactants production and possible uses in microbial enhanced oil recovery and oil pollution remediation: a review. *Bioresource technology*, 51(1): 1-12.

**Banat, I.M.; Samarah, N.; Murad,M.; Horne, R. &Banerjee, S . (1991).** Biosurfactant production and use in oil tank clean-up. *World Journal of Microbiology and Biotechnology*, 7: 80-88.

**Bennett, R. W. & Lancett ; G . A . (2001).** *Staphylococcus aureus* in Bacteriological Analytical Manual Online January.Chapter 12 .U .S Food & Drug Administration Center for food Safty & Applied Nutrition.

**Benson, H.J.(2002).**Microbiological application : Laboratory manual in general microbiology, 8th ed. McGraw -Hill Co., Inc., New York.

**Bhalerao, D. S.; Roushani, S.; Kinikar, A. G. & Akhter, I. (2010).** Study of Metallo-beta lactamase producing *Pseudomonas aeruginosa* in Pravara Rural Hospital. *Pravara. Med. Rev.* 2(3): 9-16.

**Brown, A. (2007).** Benson`s Microbiological Application Laboratory Manual in General Microbiology. 10thed. McGraw-Hill comp.Inc. USA., p: 102-263.

**Budzinski, H.; Nadalig, T.; Raymond, N.; Matuzahroh, N. & Gilewicz, M. (2000).** Evidence of two metabolic pathways for degradation of 2-methylphenanthrene by *Sphingomonas* sp. strain (2MPII). Environmental toxicology and chemistry, 19(11): 2672-2677.

**Calvo, C.; Manzanera, M.; Silva-Castro, G. A.; Uad, I. & González-López, J. (2009).** Application of bioemulsifiers in soil oil bioremediation processes. Future prospects. Science of the total environment, 407(12): 3634-3640.

**Cao, B.; Nagarajan, K. & Loh, K. C. (2009).** Biodegradation of aromatic compounds: current status and opportunities for biomolecular approaches. Applied microbiology and biotechnology, 85(2): 207-228.

**Cerqueira, V. S.; Hollenbach, E. B.; Maboni, F.; Vainstein, M. H.; Camargo, F. A.; Maria do Carmo, R. P. & Bento, F. M. (2011).** Biodegradation potential of oily sludge by pure and mixed bacterial cultures. Bioresource technology, 102(23): 11003-11010.

**Chaillan, F.; Chaineau, C.; Point, V.; Saliot, A. & Oudot, J. (2006).** Factors inhibiting bioremediation of soil contaminated with weathered oils and drill cuttings. Environmental Pollution 144: 255-265.

**Chang, C. H.; Lee, J.; Ko, B. G.; Kim, S. K. & Chang, J. S. (2011).** *Staphylococcus* sp. KW-07 contains nahH gene encoding catechol 2, 3-dioxygenase for phenanthrene degradation and a test in soil microcosm. International biodeterioration & biodegradation, 65(1), 198-203.



**Chaudhry, Q.; Blom-Zandstra, M.; Gupta, S. K. & Joner, E. (2005).** Utilising the synergy between plants and rhizosphere microorganisms to enhance breakdown of organic pollutants in the environment (15 pp). Environmental Science and Pollution Research, 12(1): 34-48.

**Cheesbrough, M. (2006).** District Laboratory Practice in Tropical Countries part 22nd ed. USA.Pp: 225-235.

**Chess, T.(2012).** Microb.18thedition.McGrowHill.United States.

**Choi, D. H.; Hori, K.; Tanji, Y. & Unno, H. (1999).** Microbial degradation kinetics of solid alkane dissolved in nondegradable oil phase. Biochemical engineering journal, 3(1): 71-78.

**Cunha,B.A.(2002).**Stenotrophomonas maltophilia medicine.Instantaccess to the mind medicine.Treatment medication follow- up miscall aneous Bioliography.pp:1-7.

**Cybulski, Z.; Dziurla, E.; Kaczorek, E. & Olszanowski, A. (2003).** The influence of emulsifiers on hydrocarbon biodegradation by Pseudomonadaceae and Bacillaceae strains.Spill Science & Technology Bulletin, 8(5): 503-507.

**Das, N. & Chandran, P. (2011).** Microbial degradation of petroleum hydrocarbon contaminants: An overview. Biotechnology Research International. 2011: 1- 13.

**De Jong, R. M.; Brugman, W.; Poelarends, G. J.; Whitman, C. P. & Dijkstra, B. W. (2004).** The X-ray structure of trans-3-chloroacrylic acid dehalogenase reveals a novel hydration mechanism in the tautomerase superfamily. Journal of Biological Chemistry, 279(12): 11546-11552.

**De Morais, E.B. & Tornisielo, S.M.T. (2009).** Biodegradation of oil refinery residues using mixed-culture of microorganisms isolated from a land farming. *Brazilian archives of biology and technology an international Journal*, 52(6) :1571-1578.

**De Soyza, A.; Hall, A. J.; Mahenthiralingam, E.; Drevinek, P.; Kaca, W.; Drulis-Kawa, Z., ... & Burns, J. L. (2013).** Developing an international *Pseudomonas aeruginosa* reference panel. *Microbiologyopen*, 2(6): 1010-1023.

**Declercq, I.; Cappuyns, V. & Duclos, Y. (2012).** Monitored natural attenuation (MNA) of contaminated soils: state of the art in Europe—a critical evaluation. *Science of the Total Environment*, 426: 393-405.

**Dokic L.; Narancic T.; Nikodinovic-Runic J.; Bajkic S., & Vasiljevic B. (2012)** Four *Bacillus sp.* soil isolates capable of degrading phenol, toluene, biphenyl, naphthalene and other aromatic compounds exhibit different aromatic catabolic potentials. *Archives of Biological Sciences* , 63 (4): 1057-1067.

**Doran, J. W. & Zeiss, M. R. (2000).** Soil health and sustainability: managing the biotic component of soil quality. *Applied soil ecology*, 15(1): 3-11.

**Eddouaouda, K.; Mnif, S.; Badis, A.; Younes, S. B.; Cherif, S.; Ferhat, S., ... & Sayadi, S. (2012).** Characterization of a novel biosurfactant produced by *Staphylococcus sp.* strain 1E with potential application on hydrocarbon bioremediation. *Journal of basic microbiology*, 52(4): 408-418.

**Emtiazi, G.; Shakarami, H.; Nahvi, I. & Mirdamadian, S. H. (2005).** Utilization of petroleum hydrocarbons by *Pseudomonas sp.* and transformed *E. coli*. *African Journal of Biotechnology*, 4(2): 172.

**Feitkenhauer, H. & Märkl, H. (2003).** Biodegradation of aliphatic and aromatic hydrocarbons at high temperatures. *Water science and technology*, 47(10): 123-130.

**Fengerman, M. & Nagabhushanam, R.(2005).** Bioremediation of aquatic and terrestrial, Science Publishers, Inc., NH, USA, pp:400.

**Forbes, B. A.; Daniel, F. S. & Alice, S. W. (2007).** Bailey and scott's diagnostic microbiology.12th ed. Mosby Elsevier company. USA.

**Ganesh, A. & Lin, J. (2009).** Diesel degradation and biosurfactant production by Gram-positive isolates. *African journal of Biotechnology*, 8(21) : 5847-5854.

**Garapati , V.K. (2012) .** Biodegradation of Petroleum Hydrocarbons. Master's Thesis in Technology (Research) in Chemical Engineering , Department of Chemical Engineering , National Institute of Technology.

**George, K. W. & Hay, A. (2012).** Less is more: reduced catechol production permits *Pseudomonas putida* F1 to grow on styrene. *Microbiology*, 158(11): 2781-2788.

**Ghaly, S. & MacDonald , N., (2002).** "Bioremediation : An Innovativesolution for oil contamination . A final report . Arnetis Biotech challenge competition .A final report, Aventis Biotech challenge competition Halifax." Nova scotia: 1-15.

**Ghazali, F. M.; Rahman, R. N. Z. A.; Salleh, A. B. & Basri, M. (2004).** Biodegradation of hydrocarbons in soil by microbial consortium. *International Biodeterioration & Biodegradation*, 54(1): 61-67.

**Goldman, E. & Lorrence, H. G.(2009).** Practicl Handbook of microbiology. 2nd.Ed. Printed in the United States of America.

**Gómez, R.; Bashir, R. & Bhunia, A. K. (2002).** Microscale electronic detection of bacterial metabolism. Sensors and Actuators B: Chemical, 86(2-3): 198-208.

**Greenwood, D.; Slack, R. C.; Barer, M. R. & Irving, W. L. (2012).** Medical Microbiology E-Book: A Guide to Microbial Infections: Pathogenesis, Immunity, Laboratory Diagnosis and Control. With STUDENT CONSULT Online Access. Elsevier Health Sciences.

**Gullotto, A.; Branciamore, S.; Duchi, I.; Caño, M. F. P.; Randazzo, D.; Tilli, S., ... & Briganti, F. (2008).** Combined action of a bacterial monooxygenase and a fungal laccase for the biodegradation of mono-and poly-aromatic hydrocarbons.Bioresource technology, 99(17): 8353-8359.

**Guo-liang, Z.; Yue-ting, W. U.; Xin-ping, Q. & Qin, M. (2005).** Biodegradation of crude oil by *Pseudomonas aeruginosa* in the presence of rhamnolipids. Journal of Zhejiang University Science B, 6(8): 725-730.

**Gupte, A. & Sonawdekar, S. (2015).** Study of Oil Degrading Bacteria Isolated From Oil Contaminated Sites. Int. J For Research In Applied Science & Engineering Technology, 3(2) :345-349.

**Guru, G. S.; Panchal, M. R.; Ghosh, S. K. & Braganza, V. B. (2013).** Isolation and enrichment of microbes for degradation of crude oil. International Journal of Engineering Science and Innovative Technology, 2(4): 144-147.

**Hamzah, A.; Phan, C. W.; Abu Bakar, N. F. & Wong, K. K. (2013).** Biodegradation of crude oil by constructed bacterial consortia and the

constituent single bacteria isolated from Malaysia. *Bioremediation journal*, 17(1): 1-10.

**Haritash, A. K. & Kaushik, C. P. (2009).** Biodegradation aspects of polycyclic aromatic hydrocarbons (PAHs): a review. *Journal of hazardous materials*, 169(1-3): 1-15.

**Harley, J.P. & Prescott, L.M. (1996).** *Laboratory Exercises in Microbiology*. 3rd ed., WCB/ McGraw-Hill Company, Inc.

**Harms, H.; Schlosser, D. & Wick, L. Y. (2011).** Untapped potential: exploiting fungi in bioremediation of hazardous chemicals. *Nature Reviews Microbiology*, 9(3): 177.

**Heath ,G. ; Heath, R.A. & Dundr ,Z. (2004) .** Paraffinic sludge reduction in crude oil storage tanks through the use of shearing and re suspension, *Acta Montanistica Slovaca* , číslo, 3: 184-188.

**Hohnstock, A. M.; Stuart-Keil, K. G.; Kull, E. E. & Madsen, E. L. (2000).** Naphthalene and donor cell density influence field conjugation of naphthalene catabolism plasmids. *Applied and environmental microbiology*, 66(7): 3088-3092.

**Hupert-Kocurek, K.; Wojcieszynska, D. & Guzik, U. (2014).** Activity of a carboxyl-terminal truncated form of catechol 2, 3-dioxygenase from *Planococcus sp.* S5. *The Scientific World Journal*, 2014 : 1-9.

**Hussein, A. N. (٢٠١٤)** Molecular detection of biodegradation and biosurfactant-producing bacteria isolated from hydrocarbon contaminated soils in the Diwaniya city/Al-Qadisiya governorate .*Jornal of Al-Muthanna for Agricultural Sciences*, 2(1) .

**Ibrahim, M. K. (2003).** Cloning and nucleotide sequence of catechol 2, 3-dioxygenase gene from the naphthalene-degrading *Pseudomonas putida* NA3. International Journal of Agriculture & Biology, 5(4): 423-7.

**Ilori, M. O.; Amobi, C. J. & Odocha, A. C. (2005).** Factors affecting biosurfactant production by oil degrading *Aeromonas spp.* isolated from a tropical environment. Chemosphere, 61(7): 985-992.

**Isinguzo, N. S. & Bello, O. S. (2005).** Polluted soil rehabilitation using genetically engineered mix microbial inoculum. Journal of Food Agriculture and Environment, 3(2): 299-301.

**ITOPF. (2011).**The International Tanker Owners Pollution Federation. Fate Of Marine Oil Spills, 2: 1-12.

**Jacobucci,D.F.C.;Vasconcelos,C.K.;Matsuura,A.B;Falconi,F.A.&Durrant, L.R. (2001)**Degradation of Diesel oil by Biosurfactant –producing Bacterial strain .The Association for environmental health and sciences. Food engineering faculty.Compaines state University . Unicamp Compaines-Brazil Advanced Tecnology.pp:1-8.

**Jaysree, R. C.; Basu, S.; Singh, P. P.; Ghosal, T.; Patra, P. A.; Keerthi, Y., ... & Rajendran, N. (2011).** Isolation of biosurfactant producing bacteria from environmental samples.Pharmacologyonline, 3: 1427-1433.

**Jõesaar, M.; Viggor, S.; Heinaru, E.; Naanuri, E.; Mehike, M.; Leito, I. & Heinaru, A. (2017).** Strategy of *Pseudomonas pseudoalcaligenes* C70 for effective degradation of phenol and salicylate. PloS one, 12(3): 173-180.

**Johnsen, A. R.; Wick, L. Y. & Harms, H. (2005).** Principles of microbial PAH-degradation in soil. Environmental pollution,133(1): 71-84.

**Joshi, B. & Walia, S. (1996).** PCR amplification of catechol 2, 3-dioxygenase gene sequences from naturally occurring hydrocarbon degrading bacteria isolated from petroleum hydrocarbon contaminated groundwater. *FEMS Microbiology Ecology*, 19(1): 5-15 .

**Jussila , M. M. (2006).** Academic dissertation molecular bio-monitoring during rizoremediation of oil contaminated soil Finland, University of Helsinki. Doctor thesis: 68.

**Jyothi, K. ; Babu, S. K.; Nancy Clara, K. &Kashyap, A. (2012).** Identification and Isolation of Hydrocarbon Degrading Bacteria by Molecular Characterization. *Bio Axis DNA Research Centre (P) Ltd, Hyderabad, Helix.,* 2: 105-111.

**Karthikeyan, R.; Davis, L. C.; Mankin, K. R.; Erickson, L. E. & Kulakow, P. A. (1999).** Biodegradation of jet fuel (JP-8) in the presence of vegetation.

**Koch, E. (2011).** Biodegradation of Polycyclic Aromatic Hydrocarbons by *Arthrobacter sp.* UG50 Isolated from Petroleum Refinery Wastes (Doctoral dissertation).

**Lee, P. Y.; Costumbrado, J.; Hsu, C. Y. & Kim, Y. H. (2012).** Agarose gel electrophoresis for the separation of DNA fragments. *Journal of visualized experiments: JoVE*, (62): 1- 6.

**Leahy, J. G., & Colwell, R. R. (1990).** Microbial degradation of hydrocarbons in the environment. *Microbiological reviews*, 54(3), 305-315.

**Lima, T.M. ; Fonseca, A.F. ; Leão, B.A. ; Munteer, A.H. ; Tótola, M.R. &Borges, A.C. (2011)** Oil recovery from fuel oil storage tank sludge using biosurfactants, *J.Bioremed Biodegrad* , 2 (4) : 1-5.

**Liu, T. ; Hou, J. ; Zuo, Y. ; Bi, S. and Jing , J. (2011).** Isolation and characterization of a biosurfactant producing bacterium from Daqing oil-contaminated sites. *Afr. J. Microbiol. Res.* 5(21):3509-3514.

**Ma, Y.; Wang, L. & Shao, Z. (2006).** *Pseudomonas*, the dominant polycyclic aromatic hydrocarbon- degrading bacteria isolated from Antarctic soils and the role of large plasmids in horizontal gene transfer. *Environmental Microbiology*, 8(3): 455-465.

**MacFaddin, J. F. (2000).** *Biochemical Test for Identification of Medical Bacteria.* 3<sup>rd</sup> ed. Williams and Wilkins. Baltimore. USA

**Magesh, H.; Kamatchi, C.; Vaidyanathan, R. & Sumathi, G. (2011).** Identification of plasmid-mediated quinolone resistance genes *qnrA1*, *qnrB1* and *aac (6')-1b-cr* in a multiple drug-resistant isolate of *Klebsiella pneumoniae* from Chennai. *Indian journal of medical microbiology*, 29(3): 262.

**Malkawi, H. I.; Fatmi, L. M. & Al-deeb, T. M. (2009).** Mutational analysis of oil degrading genes in bacterial isolates from oil contaminated soil at the Jordanian oil refinery. *World Applied Sciences Journal*, 6(2): 208-220.

**Mao, X.; Jiang, R.; Xiao, W. & Yu, J. (2015).** Use of surfactants for the remediation of contaminated soils: a review. *Journal of hazardous materials*, 285: 419-435.

**Margesin, R. & Schinner, F. (2001).** Biodegradation and bioremediation of hydrocarbons in extreme environments. *Applied microbiology and biotechnology*, 56(5): 650-663.



**Márquez-Rocha, F. J.; Hernández-Rodríguez, V. & Lamela, M. T. (2001).** Biodegradation of diesel oil in soil by a microbial consortium. *Water, Air, and Soil Pollution*, 128(3-4): 313-320.

**Mathiyazhagan, N. (2011).** Amplification of biosurfactant producing gene (rhlB) from *Pseudomonas aeruginosa* isolated from oil contaminated soil. *Int. J. Pharma Bio. Sci.*, 2(1):497-504.

**Mazaheri Assadi, M. & Tabatabaee, M. S. (2010).** Biosurfactants and their use in upgrading petroleum vacuum distillation residue: a review. *International Journal of Environmental Research*, 4(4): 549-572.

**Minai-Tehrani, D.; Minoui, S. & Herfatmanesh, A. (2009).** Effect of salinity on biodegradation of polycyclic aromatic hydrocarbons (PAHs) of heavy crude oil in soil. *Bulletin of environmental contamination and toxicology*, 82(2): 179-184.

**Mohan ,S.R.V. ; Devi, M.P. ; Reddy, M.V. ; Chandrasekhar ,K. ; Juwarkar ,A. &Sarma,P.N.(2011).**Bioremediation of petroleum sludge un-der anaerobic microenvironment: influence of biostimulation and bioaugmentation. *Environmental Engineering and Management Journal* , 10( 11): 1609-1616.

**Motamedi, H.; Afifi, A. ; Leilavi , H. ; Alizadeh ,B. &Bahnamiry, M.A.(2011).**Optimization of growth condition for hydrocarbon degrading bacteria isolated from oily sludge in order to achieve the most efficient conditions in environmental bioremediation. *International Conference on Environmental, Biomedical and Biotechnology* ,16: 94- 97.

**Nguyen, T. T.; Youssef, N. H.; McInerney, M. J. & Sabatini, D. A. (2008).** Rhannolipid biosurfactant mixtures for environmental remediation. *Water research*, 42(6-7): 1735-1743.

**Nievas, M. L.; Commendatore, M. G.; Esteves, J. L. & Bucalá, V. (2008).** Biodegradation pattern of hydrocarbons from a fuel oil-type complex residue by an emulsifier-producing microbial consortium. *Journal of hazardous materials*, 154(1-3): 96-104.

**Nikhil, T.; Deepa, V.; Rohan, G. & Satish, B. (2013).** Isolation, characterization and identification of diesel engine oil degrading bacteria from garage soil and comparison of their bioremediation potential. *International Research Journal of Environment Sciences*, 2(2): 48-52.

**Nilesh , K. P. & Hardik , P. (2013).** Isolation and screening of hydrocarb on degrading bacteria from soil near Kadi (Gujarat) region. *International Journal of Research in BioSciences*, 2(4) : 10-16.

**Nitschke, M., & Pastore, G. M. (2006).** Production and properties of a surfactant obtained from *Bacillus subtilis* grown on cassava wastewater. *Bioresource technology*, 97(2): 336-341.

**Nweke,C.O & Okpokwasili,G.C.(2003).**Dirlling fluid base oil biodegradation potential of a soil *Staphylococcus* species. *African J. Biotechnology* 2(9):293-295.

**Obayori, O. S. & Salam, L. B. (2010).** Degradation of polycyclic aromatic hydrocarbons: role of plasmids. *Scientific Research and Essays*, 5(25): 4093-4106.

**Ogidi, O. I. & Njoku, O. C. (2017).** A Review on the Possibilities of the Application of Bioremediation Methods in the Oil Spill Clean-Up of Ogoni Land. *International Journal of Biological Sciences and Technology*, 9(6): 48.

**Okolo, J. C. (2005).** Odu, "Effects of soil treatments containing poultry manure on crude oil degradation in a sandy loam soil. In *Applied ecology and environmental research*.

**Olukunle, O. F.; Babajide, O. & Boboye, B. (2015).** Effects of Temperature and pH on the Activities of Catechol 2, 3-dioxygenase Obtained from Crude Oil Contaminated Soil in Ilaje, Ondo State, Nigeria. *The open microbiology journal*, 9: 84.

**Onur, G. Ö. Z. D. E. (2015).** Screening of biosurfactant producing and diesel oil degrading bacteria from petroleum hydrocarbon contaminated surface waters (Doctoral dissertation, Dissertation, Middle East Technical University).

**Prakash, B. & Irfan, M. (2011).** *Pseudomonas aeruginosa* is present in crude oil contaminated sites of Barmer region (India). *J. Bioremed. Biodegrad*, 2(5).

**Ramankutty ,G. & Nedunchezhiyan ,J. (2015)** Bioremediation of Soil Contaminated with Petroleum Products Using Associated Microbes. *Journal of Applied Environmental and Biological Sciences.*, 5(1):56-62.

**Ramos, J. L.; Díaz, E.; Dowling, D.; de Lorenzo, V.; Molin, S.; O'Gara, F., ... & Timmis, K. N. (1994).** The behavior of bacteria designed for biodegradation. *Nature Biotechnology*, 12(12): 1349-1356.

**Ranjbar, R.; Karami, A.; Farshad, S.; Giammanco, G. & Mammina, C. (2014).** Typing methods used in the molecular epidemiology of microbial pathogens: a how-to guide. *New Microbiologica*, 37(1): 1-15.

**Rashedi, H.; Jamshidi, E.; Assadi, M. M. & Bonakdarpour, B. (2005).** Isolation and production of biosurfactant from *Pseudomonas aeruginosa* isolated from Iranian southern wells oil. International Journal of Environmental Science and Technology:(IJEST), 2(2): 121.

**Reddy, K.R. (2010).** Microbiology &Parasitology .4th ed. Paras Medical Puplicher. New Delhi.

**Rojo, F. (2009).** Degradation of alkanes by bacteria . Environmental microbiology, 11(10): 2477-2490.

**Rokade, K. B. & Mali, G. V. (2013).** Biodegradation of chlorpyrifos by *Pseudomonas desmolyticum* NCIM 2112. International Journal of Pharma and Bio Sciences,4(2): 609-616.

**Ron, E. Z. & Rosenberg, E. (2002).** Biosurfactants and oil bioremediation. Current opinion in biotechnology 13: 249-252.

**Roy, A. S.; Baruah, R.; Borah, M.; Singh, A. K.; Boruah, H. P. D.; Saikia, N., ... & Bora, T. C. (2014).** Bioremediation potential of native hydrocarbon degrading bacterial strains in crude oil contaminated soil under microcosm study. International Biodeterioration & Biodegradation, 94:79-89.

**Saadoun,I.(2003).**Recovery of *Pseudomonas* spp. from chronically fule oil-polluted soil in Jordan and study their capability to degrade stort chain alkanes.Academic publishers word ,Journalof microbiology and Boitecnology ,19:1-4.

**Said M. (2004).** Novel technology for sustainable petroleum oily sludge management : Bio- Neutralization by Indigenous Fungal bacterial cultures . M.Sc. thesis, college of Civil Engineering , University of Concordia,pp: 103.

**Samanta, A.; Pal, P.; Mandal, A.; Sinha, C.; Lalee, A.; Das, M., ... & Mitra, D. (2012).** Estimation of biosurfactant activity of an alkaline protease producing bacteria isolated from municipal solid waste. *Central European Journal of Experimental Biology* , 1: 26-35.

**Sambrook, J. & Russel, D.(2001).** Detection of DNA on agarose gel.In:Sambrook J, Russel DW (eds) *Molecular cloning, a laboratory manual*. Cold Spring Harbor Laboratory, New York,pp: 514-518.

**Sarah , L. & Laroe,M. (2010).** "Isolated and characterized of a novel polycyclic aromatic hydrocarbons -degrading bacteria ,*sphingopyxis sp.* strain M2R2 capable of passive spreading motility through soil." *Environmental engineering\_science* 27(6): 505-512.

**Schwab,P.& Banks,K.(2000).** Cleaning up petroleum spills with plants. Provided by purdue University News service.pp:1-3.

**Semple, K. T.; Morriss, A. W. J. & Paton, G. I. (2003).** Bioavailability of hydrophobic organic contaminants in soils: fundamental concepts and techniques for analysis. *European journal of soil science*, 54(4):809-818.

**Sepahi. A. A; Golpasha. I. D. ; Emami, M. & Nakhoda. A. M. (2008).** Isolation and characterization of crude oil degrading *Bacillus spp.* *Iran. J. Environ. Health. Sci. Eng.*, 5(3):149-154.

**Setia, A.; Bhandari, S. K.; House, J. D.; Nyachoti, M. C. & Krause, D.O. (2009).** Development and in vitro evaluation of an E.coli probioticabl to inhibit the growth of pathogenic K88 *Escherichia.coli* . *J. Anim. Sci.* 5 (4) : 1-24.

**Shahaby, A. F.; Alharthi, A. A. & El-Tarras, A. E. (2015).** Bioremediation of Petroleum Oil by Potential Biosurfactant-Producing Bacteria using Gravimetric Assay. *Int. J. Curr. Microbiol. App. Sci*, 4(5): 390-403.

**Sharma, S. & Pathak, H. (2014).** *Pseudomonas* in biodegradation. *Int. J. Pure Appl. Biosci*, 2(2): 213-222.

**Shekhar, S. K.; Godheja, J. & Modi, D. R. (2015).** Hydrocarbon bioremediation efficiency by five indigenous bacterial strains isolated from contaminated soils. *International Journal of Current Microbiology and Applied Sciences*, 4(3): 892-905.

**Singh, A. & Ward, O. P. (2004).** Biodegradation and Bioremediation. Springer-Verlag, New York, 4: 209.

**Smits, T. H.; Witholt, B. & Van Beilen, J. B. (2003).** Functional characterization of genes involved in alkane oxidation by *Pseudomonas aeruginosa*. *Antonie Van Leeuwenhoek*, 84(3): 193-200.

**Stringfellow, W. T. (2001).** "Biological upgrading of heavy oil for viscosity reduction." *Applied and Environmental Microbiology* 64(7): 2687-2699.

**Stukus, P.E. (1997).** Investigative Microbiology A laboratory Manual for General Microbiology. P-439-442. Harcourt Brace & Company.

**Sutton, N. B.; Maphosa, F.; Morillo, J. A.; Al-Soud, W. A.; Langenhoff, A. A.; Grotenhuis, T.; Rijnaarts, H. H. & Smidt, H. (2013).** Impact of long-term diesel contamination on soil microbial community structure. *Applied and Environmental Microbiology* 79: 619-630.

**Tavakoli, A. & Hamzah, A. (2017).** Characterization and evaluation of catechol oxygenases by twelve bacteria, isolated from oil contaminated soils in Malaysia. *Biological Journal of Microorganism*, 5(20): 71-80.

**Thapa, B.; Kc, A. K. & Ghimire, A. (2012).** A review on bioremediation of petroleum hydrocarbon contaminants in soil. *Kathmandu university journal of science, engineering and technology*, 8(1): 164-170.

**Thomas, L. (2007).** Genetic methods for rapid detection of medically important nosocomial bacteria. Faculty of Medicine, Department of Medicine, The University of Sydney, Australia.

**Titok, M. A. & Al-Shammri, F. J. H. (2011).** Efficiency of Naphalene degradation by *Pseudomonas* bearing Nah-Plasmids in model soil system . *AL-Qadisiya. J. of Vet. Med. Sci.*, 10(1) :121-130.

**Turton, J. F.; Baklan, H.; Siu, L. K.; Kaufmann, M. E. & Pitt, T. L. (2008).** Evaluation of a multiplex PCR for detection of serotypes K1, K2 and K5 in *Klebsiella sp.* and comparison of isolates within these serotypes. *FEMS microbiology letters*, 284(2): 247-252.

**Ubani ,O.; Atagana , H.I. &Thantsha ,M.S. (2013) .** Biological degradation of oil sludge : A review of the current state of development. *African Journal of Biotechnology* , 12(47): 6544-6567.

**Ubani, O. (2012) .** Compost bioremediation of oil sludge by using different manures under laboratory conditions . M.Sc. thesis , College of Environmental Sciences, University of South Africa , pp:132.

**Ulrich, A. & Becker, R. (2006).** Soil parent material is a key determinant of the bacterial community structure in arable soils. *FEMS Microbiology Ecology*, 56(3): 430-443.

**Ulukanli,Z. & Digrak ,M.(2002)**Alkaliphilic microorganisms and habitats .Tubitak-Turk.J.Biol.26:181-191.Turkey.

**Van Hamme, J. D.; Singh, A. & Ward, O. P. (2003).** Recent advances in petroleum microbiology. *Microbiology and molecular biology reviews*, 67(4): 503-549.

**Vandepitte, J.; Verhaegen, J.; Engbaek, K.; Rohner, P.; Piot, P.; Heuck, C. C., & Heuck, C. C. (2003).** Basic laboratory procedures in clinical bacteriology. World Health Organization.

**Varjani, S. J. & Upasani, V. N. (2017).** Critical review on biosurfactant analysis, purification and characterization using rhamnolipid as a model biosurfactant. *Bioresource technology*, 232: 389-397.

**Vasudevan, N.; Bharathi, S. & Arulazhagan, P. (2007).** Role of plasmid in the degradation of petroleum hydrocarbon by *Pseudomonas fluorescens* NS1. *Journal of Environmental Science and Health Part A*, 42(8): 1141-1146.

**Venosa, A. D. & Zhu, X. (2003).** Biodegradation of crude oil contaminating marine shorelines and freshwater wetlands. *Spill Science & Technology Bulletin*, 8(2): 163-178.

**Vidali, M. (2001).** Bioremediation. An Overview. *Pure. Appl. Chem.*, , Academic Press, London. 73(1):1163-1172.



**Wang, Z.; Fingas, M.; Owens, E. H.; Sigouin, L. & Brown, C. E. (2001).** Long-term fate and persistence of the spilled Metula oil in a marine salt marsh environment: Degradation of petroleum biomarkers. *Journal of Chromatography A*, 926(2): 275-290.

**Williams, P. A. & Sayers, J. R. (1994).** The evolution of pathways for aromatic hydrocarbon oxidation in *Pseudomonas*. *Biodegradation*, 5(3-4): 195-217.

**Wilson, S. C. & Jones, K. C. (1993).** Bioremediation of soil contaminated with polynuclear aromatic hydrocarbons (PAHs): a review. *Environmental pollution*, 81(3): 229-249.

**Wolicka, D.; Suszek, A.; Borkowski, A. & Bielecka, A. (2009).** Application of aerobic microorganisms in bioremediation in situ of soil contaminated by petroleum products. *Bioresource Technology*, 100(13), 3221-3227.

**Xiuhua, Z. (2002).** The Classification of Hydrocarbons with Discriminant Analysis and the Family Component Analysis of Gasoline. *Chinese Journal of Analytical Chemistry*, 30(1): 18-25.

**Yakimov, M. M.; Gentile, G.; Bruni, V.; Cappello, S.; D'auria, G.; Golyshin, P. N. & Giuliano, L. (2004).** Crude oil-induced structural shift of coastal bacterial communities of rod bay (Terra Nova Bay, Ross Sea, Antarctica) and characterization of cultured cold-adapted hydrocarbonoclastic bacteria. *FEMS Microbiology Ecology*, 49(3): 419-432.

**Yelebe, Z. R.; Samuel, R. J. & Yelebe, B. Z. (2015).** Kinetic Model Development for Bioremediation of Petroleum Contaminated Soil Using Palm Bunch and Wood Ash. *International Journal of Engineering Science Invention*, 4(5): 40-47.

**Yerushalmi, L.; Rocheleau, S.; Cimpola, R.; Sarrazin, M.; Sunahara, G.; Peisajovich, A., ... & Guiot, S. R. (2003).** Enhanced biodegradation of petroleum hydrocarbons in contaminated soil. *Bioremediation Journal*, 7(1): 37-51.

**Yoshida, N.; Yagi, K.; Sato, D.; Watanabe, N.; Kuroishi, T.; Nishimoto, K., ... & Tani, Y. (2005).** Bacterial communities in petroleum oil in stockpiles. *Journal of bioscience and bioengineering*, 99(2): 143-149.

**Zang, G.; Yue-ting, W. U.; Xin-ping, Q. & Qin, M. (2005).** Biodegradation of crude oil by *Pseudomonas aeruginosa* in the presence of rhamnolipids. *Journal of Zhejiang University-Science B*, 6(8): 725-730.

**Zeyaulah, M.; Abdelkafe, A. S.; Zabya, W. B. & Ali, A. (2009).** Biodegradation of catechols by micro-organisms-A short review. *African Journal of Biotechnology*, 8(13):2916-2922.

**Zhang, Y. & Miller, R. M. (1995).** Effect of rhamnolipid (biosurfactant) structure on solubilization and biodegradation of n-alkanes. *Applied and environmental microbiology*, 61(6): 2247-2251.


**Zhang, Z.; Gai, L.; Hou, Z.; Yang, C.; Ma, C.; Wang, Z., ... & Xu, P. (2010).** Characterization and biotechnological potential of petroleum-degrading bacteria isolated from oil-contaminated soils. *Bioresource technology*, 101(21), 8452-8456.

**Zhu, M.; Wang, H.; Su, H.; You, X. & Jin, W. (2009).** Study on oxidation effect of ozone on petroleum-based pollutants in water. *Modern Applied Science*, 4(1): 6.

## References المصادر

---

**Zhuang, X.; Chen, J.; Shim, H. & Bai, Z. (2007).** New advances in plant growth-promoting *rhizobacteria* for bioremediation. *Environment international*, 33(3): 406-413.



**الملاحق**  
**Appendices**

ملحق (1) جدول نتائج الاختبارات التشخيصية للعزلات البكتيرية *P.fluorescens* (A) ، *E.coli* (B) ، *S.aureus* (C) بأستعمال نظام API 20.

النتيجة	الانزيمات	المادة الاساس	الاختبار
-	B-galactoside orthonitrophenyl – B-D-galactopyranosidase	2-Nitrophenyl–B-D galactopyranoside	ONPG
+	Arginine dehydrolase	Arginine	ADH
+	Lysine decarboxylase	Lysine	LDC
+	Ornithine decarboxylase	Ornithine	ODC
+	Citrate utilization	Trisodium thiosulfate	CIT
-	H2S production	Sodium thiosulfate	H2S
-	Urease	Urea	URE
-	Tryptophane deaminase	Tryptophane	TDH
-	Indol production	Tryptophane	IND
-	Aceton production	Sodium pyruvate	VP
+	Gelatinase	Gelatin	GEL
+	Fermentation / Oxidation	Glucose	GLU
+	Fermentation / Oxidation	Manitol	MAN
+	Fermentation / Oxidation	Insitol	INO
-	Fermentation / Oxidation	Sorbitol	SOR
-	Fermentation / Oxidation	Rhamnose	RHA
+	Fermentation / Oxidation	Sucrose	SAC
-	Fermentation / Oxidation	Melibios	MEL
-	Fermentation / Oxidation	Amygdali	AMY
+	Fermentation / Oxidation	Arabinose	ARA

(A)

النتيجة	الانزيمات	المادة الاساس	الاختبار
+	Beta –galactosidase	Ortho-nitrophenyl - Galactoside	ONPG
+	Arginine dehydrolase	Arginine	ADH
+	Lysine decarboxylase	Lysine	LDC
-	Ornithine decarboxylase	Ornithine	ODC
-	Citrate Utilization	Sodium Citrate	CIT
-	H <sub>2</sub> S production	Sodium thiosulphate	H <sub>2</sub> S
-	Urease	Urea	URE
-	Tryptophane deaminase	Tryptophane	TDA
+	Indol production	Tryptophane	IND
-	Aceton production	Sodium pyruvate	VP
-	Gelatinase	Gelatin	GEL
+	Fermentation	Glucose	GIU
+	Fermentation	Mannitol	MAN
-	Fermentation	Inositol	INO
+	Fermentation	Sorbitol	SOR
+	Fermentation	Rhamnose	RHA
-	Fermentation	Sucrose	SAC
+	Fermentation	Melibiose	MEL
-	Fermentation	Amygdalin	AMY
+	Fermentation	Arabinose	ARA

(B)

النتيجة	المادة الاساس	الاختبار
+	Glucose	GLU
+	Fructose	FRU
+	Mannose	MNE
+	Maltose	MAL
+	Lactose	LAC
+	Trehalose	TRE
+	Mannitol	MAN
-	Xylitol	XLT
-	Melibiose	MEL
+	Potassium nitrate	NIT
+	$\beta$ -naphthyl phosphate	PAL
+	Sodium pyruvate	VP
-	Raffinose	RAF
-	Xylose	XYL
+	Saccharose (sucrose)	SAC
-	Methyl- $\alpha$ D-glucopyranoside	MDG
+	Acetyl – glucosamine	NAG
+	Arginine	ADH
-	Urea	URE

(C)

*S.aureus* , *E.coli* , ملحق (2) أستمارة تسجيل العزلات البكتيرية  
*P.fluorescens* في بنك الجينات .

LOCUS Seq1 550 bp DNA linear BCT 02-JUN-2018

DEFINITION Escherichia coli IQ-Earth isolate, catechol 2,3 dioxygenase gene,  
partial sequence.

ACCESSION Seq1

VERSION

KEYWORDS .

SOURCE Escherichia coli

ORGANISM Escherichia coli

Bacteria; Proteobacteria; Gammaproteobacteria; Enterobacterales;  
Enterobacteriaceae; Escherichia.

REFERENCE 1 (bases 1 to 550)

AUTHORS Jassiem,B.H. and AlNashe,A.A.

TITLE Reduction of chemical contamination in different environments by  
biological treatment with hydrolysis bacteria for hydrocarbons  
compounds

JOURNAL Unpublished

REFERENCE 2 (bases 1 to 550)

AUTHORS Jassiem,B.H. and AlNashe,A.A.

TITLE Direct Submission

JOURNAL Submitted (02-JUN-2018) Department of Microbiology, College of  
Education, University of Al-Qadisiyah, Al-Jameaa, Diwanyia,  
Al-Qadisiyah 00964, Iraq

COMMENT Bankit Comment: ALT EMAIL:hassan\_iq84@yahoo.com.



Bankit Comment: TOTAL # OF SEQS:3.

##Assembly-Data-START##

Sequencing Technology :: Sanger dideoxy sequencing

##Assembly-Data-END##

FEATURES            Location/Qualifiers

source            1..550

                  /organism="Escherichia coli"

                  /mol\_type="genomic DNA"

                  /strain="Escherichia coli IQ-Earth"

                  /isolate="Escherichia coli IQ-Earth"

                  /isolation\_source="Soil"

                  /host="Environmental"

                  /db\_xref="taxon:562"

                  /country="Iraq"

                  /note="[cultured bacterial source]"

BASE COUNT        88 a   154 c   176 g   132 t

ORIGIN

1 tcgatgaggt caatggcgtg attgccagcg cccgcgagcg tattgcggca ttccccctg  
61 aactggtggt gctgtttgcg ccagatcact acaacggctt ttctatgac gtgatgccac  
121 cgttctgttt aggcgttgga gcgacggcaa ttggtgatt cggcagtgcg gcaggagagc  
181 tgcccgtgcc tgtggagctg gcggaggcct gtgcgcatgc cgatcatgaag agcgggatcg  
241 atcttgccgt ttcttactgt atgcaggtgg accacggggt cgccagccg ctggagtcc  
301 tgctcgggtg gctggataag gtgccagttc tgctgtgtt catcaacggt gtcgccacgc  
361 cgctgcccgg ttccagcgt acccgcatgt tgggtgaagc cattggacgt ttcaccagca

421 ctctcaataa acgcgtgctg ttcctggggtt ccggtgggct tcccatcag ccgccggtgc  
481 ccgaactggc gaaagccgat gcccatatgc gcgaccgtct gttggggagc gggaaagatt  
541 taccgccac

//

LOCUS Seq2 552 bp DNA linear BCT 02-JUN-2018

DEFINITION Staphylococcus aureus IQ-Earth isolate, catechol 2,3 dioxygenase  
gene, partial sequence.

ACCESSION Seq2

VERSION

KEYWORDS .

SOURCE Staphylococcus aureus

ORGANISM Staphylococcus aureus

Bacteria; Firmicutes; Bacilli; Bacillales; Staphylococcaceae;  
Staphylococcus.

REFERENCE 1 (bases 1 to 552)

AUTHORS Jassiem,B.H. and AlNashe,A.A.

TITLE Reduction of chemical contamination in different environments by  
biological treatment with hydrolysis bacteria for hydrocarbons  
compounds

JOURNAL Unpublished

REFERENCE 2 (bases 1 to 552)

AUTHORS Jassiem,B.H. and AlNashe,A.A.

TITLE Direct Submission

JOURNAL Submitted (02-JUN-2018) Department of Microbiology, College of  
Education, University of Al-Qadisiyah, Al-Jameaa, Diwanyia,

Al-Qadisiyah 00964, Iraq

COMMENT Bankit Comment: ALT EMAIL:hassan\_iq84@yahoo.com.

Bankit Comment: TOTAL # OF SEQS:3.

##Assembly-Data-START##

Sequencing Technology :: Sanger dideoxy sequencing

##Assembly-Data-END##

FEATURES Location/Qualifiers

source 1..552  
/organism="Staphylococcus aureus"  
/mol\_type="genomic DNA"  
/strain="Staphylococcus aureus IQ-Earth"  
/isolate="Staphylococcus aureus IQ-Earth"  
/isolation\_source="Soil"  
/host="Environmental"  
/db\_xref="taxon:1280"  
/country="Iraq"  
/note="[cultured bacterial source]"

BASE COUNT 177 a 104 c 107 g 164 t

ORIGIN

1 tgacaacatt ttacaaaaac attttaggac tatccgtaa aagttctgac gataatacaa  
61 ccgtattatc tgttgggact ggtggccata cttaacggt acatttatta gaagacggcc  
121 gtcagacttc cccacgtgaa gcagggcttt tcatatagc attttatta ccaactactg  
181 aggatctagc taacttctta tatttcgtgg cacaaaaaaa tatgggcatc ggcgctggtg  
241 atcatttagt aagtgaaget ttatattca acgaccccga aggtaatggt attgaagtct

301 atcgcgatag accttcatct tcatgggaat ggcaaaatgg caaagttaaa atggatactt  
361 tagaagttga tagccaaacc ttattaacac atcgtactga tgaagggttg caaggaatgc  
421 cagcaaaagg catgattgga cacttacatt taaaaacaca tgatttagac gcagcatatc  
481 aatgttacat tgaacaatta ggattccaac atgtgtctga tttccacgt gcgctattta  
541 tgtcaacgaa tc

//

LOCUS Seq3 553 bp DNA linear BCT 02-JUN-2018

DEFINITION Pseudomonas Sp. IQ-Earth isolate, catechol 2,3 dioxygenase gene,  
partial sequence.

ACCESSION Seq3

VERSION

KEYWORDS .

SOURCE Pseudomonas sp.

ORGANISM Pseudomonas sp.

Bacteria; Proteobacteria; Gammaproteobacteria; Pseudomonadales;  
Pseudomonadaceae; Pseudomonas.

REFERENCE 1 (bases 1 to 553)

AUTHORS Jassiem,B.H. and AlNashe,A.A.

TITLE Reduction of chemical contamination in different environments by  
biological treatment with hydrolysis bacteria for hydrocarbons  
compounds

JOURNAL Unpublished

REFERENCE 2 (bases 1 to 553)

AUTHORS Jassiem,B.H. and AlNashe,A.A.

TITLE Direct Submission

JOURNAL Submitted (02-JUN-2018) Department of Microbiology, College of  
Education, University of Al-Qadisiyah, Al-Jameaa, Diwanyia,  
Al-Qadisiyah 00964, Iraq

COMMENT Bankit Comment: ALT EMAIL:hassan\_iq84@yahoo.com.

Bankit Comment: TOTAL # OF SEQS:3.

##Assembly-Data-START##

Sequencing Technology :: Sanger dideoxy sequencing

##Assembly-Data-END##

FEATURES            Location/Qualifiers

source            1..553

                  /organism="Pseudomonas sp."

                  /mol\_type="genomic DNA"

                  /strain="Pseudomonas Sp. IQ-Earth"

                  /isolate="Pseudomonas Sp. IQ-Earth"

                  /isolation\_source="Soil"

                  /host="Environmental"

                  /db\_xref="taxon:306"

                  /country="Iraq"

                  /note="[cultured bacterial source]"

BASE COUNT    106 a   171 c   182 g   94 t

ORIGIN

1 cgaacgattc atgacctgac tgacctgatg gttcggttcg acttattgca gagattgcgc  
61 agatgaaaga gatcaagcat ttattaacg gtgccttcgt cgattcggcc agcggccgca  
121 ccttcgagga catcaaccg gtcaatggcc aggtgatcgg ccgctgcac gaggccgccc

181 gcgccgaggt cgacgccgcg gtcagggcgg cacgcgctgc gctgaaggga ccatggggga  
241 agatgacggt ggccgagcgc gctgagattc tgcacgcgt ggccgatggc gtcacggcgc  
301 gcttcgatga gtttctcag gccgaatgcc tggacaccgg caagcccaa tccctggcca  
361 gccacatga cattccgcgc ggcgcggcca attcaaggt gttcgccgac ctgatcaaga  
421 acgtgccgac cgaagccttc gagatggcca ccccgacgg cgccggtgca ctcaactag  
481 gcgtgcgccg gcccaagggg gtgatcggcg tgatcagccc gtggaacctg ccgctgctgc  
541 tcatgacctg gaa

//

## Summary

The study included the collection of 200 samples from various environmental sources, including the generators' soil, the oil change shop, the Al Diwaniyah rubber plant and the water of the drainage in the Al Diwaniyah governorate for the period from 2017-11-1 to 2018-4.1. The study aimed at identifying the dominance of bacterial species in contaminated soils and water for hydrocarbon compounds, studying their ability to decompose these compounds and conducting molecular studies of these species. Sixty bacterial isolates were identified in soils and water rich in hydrocarbon compounds.. *Escherichia coli* was the most common species with an isolation rate of 38.33% and the highest isolation rate was found in the drainage water followed by *Pseudomonas fluorescens* with a 25% isolation rate. The highest rate isolates were recorded in the generators' soil , As for *Staphylococcus aureus* came third place in the rate 16.6%, followed by some bacterial species characterized by low levels of hydrocarbons, namely *Bacillus cereus*, *Klebsiella pneumoniae*, *Acinetobacter baumannii*, and *Proteus mirabilis*, these percentages were 8.33%, 5%, 5% and 1.6%, respectively.

The ability of bacterial isolates to analyze and consume hydrocarbons was studied,the result showed the isolates of *P.fluorescens* exceeded other bacteria in their ability to decompose Hydrocarbons were highly efficient in emulsifying crude oil and its use as a source of carbon and energy, followed by *E.coli* and *S.aureus*, respectively.

As an indicator of the effectiveness of the growth of isolates on hydrocarbon sources, both electrical conductivity and optical density were measured, a

gradual increase in the values of electrical conductivity and all bacterial isolates was observed during the incubation period and the highest electrical conductivity values for all isolates during the third week of incubation period were recorded with *P.fluorescens* isolated from the soil of the generators was the highest electrical connection value at 12.7 mc / cm in the third week of the incubation, but this value decreased in the sixth week to reach 8.6 mc / cm followed by the second rank *E.coli* 11.7mc / cm and then *S.aureus* 10.6mc / cm .thereafter the rest isolates were rolled *Acinetobacte baumannii* 9.3mc/cm , *Bacillus cereus* 9.3mc/cm, *Klebsiella pneumoniae* 9mc / cm, and *Proteus mirabilis* 8.8mc/cm. All isolates showed different optical densities. The highest optical density values and all isolates in the fourth week of the incubation period were *P.fluorescens* isolated from the soil of generators highest light density of 0.322 in the fourth week of incubation and took this value down to 0.319 in the sixth week and came *E.coli* at the second place 0.309 third place followed by bacteria *S.aureus* 0.301 followed by the rest of the isolates *Bacillus cereus* 0.212, *Klebsiella pneumoniae* 0.209, *Acinetobacte baumannii* 0.208, *Proteus mirabilis* 0.206.

The C<sub>23</sub>O gene has been molecularly investigated that was coded for the production of Catechol 2,3 dioxygenase Analyst for hydrocarbon compounds by using polymerase chain reaction. The gene was found to be 8 isolates of *P.fluorescens* in the rate 53.33% . *E. coli* was found in 6 isolates with 26.08% while the gene was present in only one isolated of *S.aureus* and rate of 10%.

The sequencing results of C<sub>23</sub>O in the isolates of *P.fluorescens*, *E.coli* and *S.aureus* showed sequencing technique using 553bp of the C<sub>23</sub>O result of PCR interaction, both *P.fluorescens* and *E.coli* were identical with a standard



isolation gene with serial number (KF010862.1) for *P.fluorescens* and (CP019778.1) for *E.coli* in the rate 100% each, whereas *S.aureus* was 99% in comparison with the serial isolation gene (CP023500.1). Thus, this study proved that there are bacterial species with the ability to decompose hydrochloric compounds such as *P.fluorescens*, *E.coli*, *S.aureus*

**Republic of Iraq**

**Ministry of Higher Education and Scientific Research**

**AL-Qadisiyah University / College of Education**

**Department of Biology**



# **Bacteriological and Molecular Characterization of Hydrocarbon Lysis Bacterial Species in Soils of Al-Qadisiya Governorate**

**A thesis**

**Submitted to the Council of College of Education / University of  
AL-Qadisiyah in Partial Fulfillment of the Requirements for  
Degree of Master in Biology / Microbiology**

*By*

**Baidaa Hussain Jassim**

**(B. Sc. Biol./College of Education/AL-Qadisiya University/2016)**

*Supervised by*

**Assist.Prof. Ali Abed Al-Rheem AL-Nashi**

**1440 A.H**

**2018 A.C**